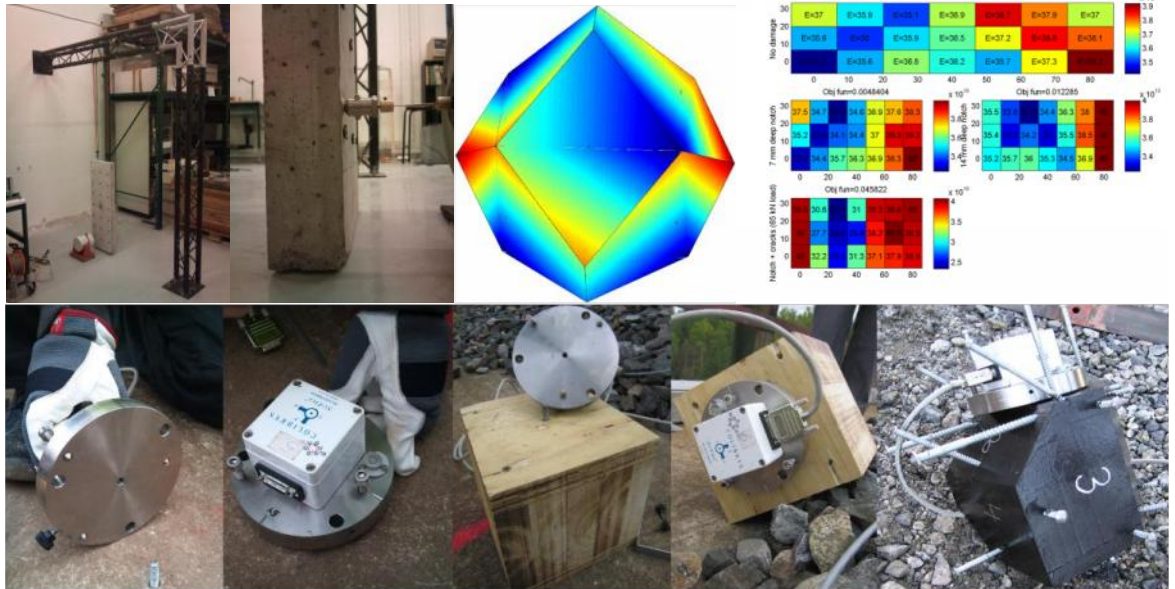


INTE BARA BROAR

Vibrationsanalys för tillståndsbedömning



Niklas Grip

2013-12-17

FÖRORD

Den här rapporten beskriver en generell analysteknik för tillståndsbedömning av konstruktioner genom vibrationsmätning. Analystekniken har utvecklats så att den är fullt implementerbar i Matlab. Denna rapport innehåller även fullständiga arbetsprocesser och Matlab-skript för att kunna återskapa resultaten inom detta projekt. Analystekniken är i denna rapport verifierad på en generisk betongplatta, ett höghus samt ett antal järnvägsbroar.

Rapportens huvudförfattare är Niklas Grip, men de beskrivna projekten hade ej varit möjliga utan ovärderlig hjälp från Natalia Sabourova, Yongming Tu, professor Lennart Elfgren, Ulf Ohlsson, Thomas Blanksvärd, Fredrik Ljungren och Tarek Edrees vid LTU, samt Andreas Andersson med kollegor från KTH. All mätteknik och experimentella försök hade inte varit möjliga att genomföra utan kollegorna på Complab vid LTU. Vidare vill även huvudförfattaren tacka alla medförfattare till de publikationer som redovisas och refereras till i denna rapport.

Stort tack även till hjälpsamma tips och förslag från Mehdi Bahrekazemi (NCC), Anders Carolin (Trafikverket), Hans Hedlund (Skanska), Raid Karoumi (KTH), Tobias Larsson (NCC), Nils Rydén (PEAB) och Per-Ola Svahn (Skanska) i projektets referensgrupp.

Ett extra tack också till Hans Hedlund och professor Lennart Elfgren som bidrog med tips och råd inför den ansökan som gjorde detta projekt möjligt, samt till SBUF för den ekonomiska stöttningen.

Luleå 17 december 2013
Niklas Grip

Inte bara broar

Vibrationsanalys för tillståndsbedömning

Slutrapport till SBUF-projekt nr 12513

Niklas Grip

Sammanfattning

Behovet av tillståndsbedömning av byggnader och andra konstruktioner har ökat under senare år. Metoder för tillståndsbedömning kan användas för att avgöra om en konstruktion kan fortsätta att bära den last den dimensionerats för eller om den rentav kan bära en ökad last. Alternativt kan den klargöra vilka förstärkningar som behövs för att förlänga byggnadens livslängd till nytta för både miljö och samhällsekonomi.

En resurssnål metod för tillståndsbedömning av en konstruktion bygger på numerisk analys av så kallade fria vibrationer orsakade av naturligt förekommande excitering, som till exempel vågor, vind, människor och trafik. Ett mer resurskrävande alternativ bygger på analys av konstruktionens vibrations svar på en väl känd konstgjord excitering. Den exciterande kraften måste då mätas, och konstruktionen måste vara isolerad från andra större exciteringskrafter.

I båda fallen finns mät- och analystekniker för att dela upp konstruktionens uppmätta vibrationer i en summa av så kallade vibrationsmoder. Sedan kan numeriska optimeringsmetoder användas för att justera utvalda nyckelparametrar i en finit elementmodell av konstruktionen så att skillnaden minimeras mellan uppmätta svängningsmoder och de som förutspås av finita elementmodellen. Nyckelparametrarna kan till exempel vara randvillkor och/eller elasticitetsmodul i olika delar av konstruktionen. Lokala variationer av dessa kan då indikera en lokal svaghet i konstruktionen.

Med huvudfinansiering från SBUF har nya vibrationsmätningar utförts på en betongplatta i laboratoriemiljö och på två broar i fält. I båda fallen har vi nyttjat både fria vibrationer och konstgjord excitering. Vibrationsmoder har räknats ut med några olika tekniker och detaljerade finita elementmodeller har gjorts för de olika konstruktionerna. Vi analyserar även vibrationsmoder och jämför mot en finita elementmodell för ett flervåningshus, samt beskriver några faktorer som är speciella för mätning och analys på sådana byggnader.

För betongplattan och en av broarna har mätningarna upprepats efter att ha tillfört olika grader av skada. Analystekniker för tillståndsbedömning har implementerats i MATLAB. I en första utvärdering på betongplattan så är grunda sprickor svåra att detektera medan ökande djup på sprickorna gör att de kan detekteras på rätt halva av plattan eller mer noggrant. MATLAB-koden struktureras för närvarande om för att publicera i en form lämplig för andra att anpassa till egna liknande tillämpningar. MATLAB-koden skall i nästa skede anpassas för att utvärdera tillståndsbedömningen på de omfattande mätningar som genomförts i samband med fullskaleförsök på en 33 m lång stålfackverksbro. Tillståndsbedömningen innefattar mätningar från både intakt bro, bro med delar skadade samt efter att bron belastats till brott.

Dessutom har enkel utrustning och enkla analysmetoder utvecklats för att säkerställa snabb och säker kalibrering av accelerometrar i fält. Detta behövs för att få jämförbara mätsignaler från de olika accelerometrarna oavsett ändringar i temperatur och väderförhållanden.

Innehåll

1	Bakgrund	4
1.1	Svängningsmoder med tillhörande egenfrekvenser och dämping	4
1.2	Uppdatering av finit elementmodell (FEM-uppdatering)	5
1.3	Fria vibrationer eller konstgjord excitering	6
1.4	Huvudsteg för tillståndsbedömning via FEM-uppdatering	6
1.5	Syfte	7
1.6	Mål	7
1.7	Metod	8
2	Projektbeskrivning	8
2.1	Modalanalys och FEM-uppdatering	8
2.2	Laborariemätningar på betongplatta	9
2.3	Mätningar och analys på större konstruktioner	13
2.3.1	Modalanalys på flervåningsbyggnad	13
2.3.2	Mätningar och analys på järnvägsbro före och efter skada	15
2.4	Accelerometerkalibrering	16
2.4.1	Sexparameters kalibrering klarar ej läckage mellan axlar	17
2.4.2	Nioparameters kalibrering bättre för verkliga accelerometrar	18
3	Diskussion och slutsatser	20
4	Fortsatt forskning	20
4.1	Anpassningar för tillståndsanalys på större konstruktioner	20
4.1.1	Använda derivator av målfunktionen eller ej?	21
4.2	Mer generell vingelmån för nioparameters kalibrering	21
4.3	Kontinuerliga mätningar	21
4.4	Frekvensupplösning	22
4.5	Korrigerig av drivande mätvärden	22
	APPENDIX	23
A	Accelerometerkalibrering	24
A.1	Monte Carlo-simuleringar för sexparameters kalibrering	25
A.2	Monte Carlo-simuleringar för nioparameters kalibrering	26
B	Bromätningar	29
B.1	Bron över Långforsen	29
B.2	Bron över Åby älv	30
C	Preliminära resultat för bron över Långforsen	38
D	Tillståndsbedömning via FEM-uppdatering i Matlab	43
D.1	Implementering i MATLAB	44
D.2	Parametrar och derivataberäkning	45
D.3	MATLAB-kod	48
D.3.1	BuildGlobalElemNr2GrNrLokup_NEW2.m	48
D.3.2	ComputeNewModes.m	52
D.3.3	divisors.m	54

D.3.4	FEMupdating.m	55
D.3.5	GreedyPickLarge.m	56
D.3.6	FoxKapoor.m	56
D.3.7	InitAbaqusModelGroupsOLD.m	57
D.3.8	InputParameters.m	61
D.3.9	InterpolFunctions.m	62
D.3.10	Jacobian.m	65
D.3.11	ModeShapeResid	66
D.3.12	ObjFun.m	68
D.3.13	PairModes.m	70
D.3.14	PlotModeShapes.m	71
D.3.15	PlotUpdatingParams.m	72
D.3.16	rcMax.m	72
D.3.17	ReadElementStiffMtxFile.m	73
D.3.18	ReadFreqDatFile.m	75
D.3.19	ReadStructMaterial.m	76
D.3.20	RemoveElem.m	77
D.3.21	RemoveRowCol.m	77
D.3.22	SameSign.m	78
D.3.23	SortRectMeshPts.m	78
D.3.24	SensFEMupdating	80
D.3.25	UpdateAbaqusInpFile.m	83
D.3.26	Weights.m	83
D.3.27	zCoordsForPlane.m	84

1 Bakgrund

Behovet av tillståndsbedömning av byggnader har ökat stadigt i Europa, USA och Asien de senaste årtiondena. Såväl bristfällig konstruktion som tärande omgivning kan snabba på vittering, sprickor och andra försvagningar av till exempel pelare, väggar, plattor, bjälkar och grund i åldrande byggnader. Bra metoder för tillståndsbedömning kan då användas för att godkänna en konstruktion för fortsatt eller ökad belastning, alternativt avslöja vilka förstärkningar som behövs för att förlänga byggnadens livslängd. Detta främjar både miljö och samhällsekonomi.

Mätningar och analys för tillståndsbedömning är traditionellt både dyra och tidskrävande. Några anledningar till detta är dyr mätutrustning, mätningar som kräver mycket planering och personal, samt analystekniker som finns beskrivna i forskningsartiklar, men är mycket tidskrävande att implementera och ej heller tillgängliga som fri programvara.

Allt eftersom prisnivån på robusta sensorer och annan teknologi går ned så ökar dock möjligheterna att bygga in sensorer för kontinuerlig mätning och analys. På sikt vore det därför önskvärt med metoder och lättillgänglig programvara som automatiskt identifierar viktiga nyckelvärden och helst redan på ett tidigt stadium varnar när en konstruktions självsvängningar ändras på ett sätt som kan indikera behov av någon form av underhåll.

1.1 Svängningsmoder med tillhörande egenfrekvenser och dämpning

Alla byggnadskonstruktioner har olika egenfrekvenser, var och en förknippad med en typ av egensvängning, eller svängningsmod. Om konstruktionen utsätts för krafter vars variationer sammanfaller med en egenfrekvens så uppstår resonans och konstruktionen sätts i egensvängning. Det kanske mest välkända klassiska exemplet är Tacoma Narrows Bridge i Washington, som hade en dåligt dämpad vridningsmod med periodlängd fem sekunder, eller egenfrekvens 0,2 Hz. Bara fyra månader efter bronns invigning aktiverades den egensvängningen av vinden och växte sig efterhand så stark att bron kollapsade november 1940, se Figur 1.

Modernare konstruktioner är självklart konstruerade så att alla egensvängningar är rejält dämpande, men varje konstruktion kännetecknas av olika egensvängningar med tillhörande egenfrekvens och dämpning som kan räknas ut, till exempel från en finita elementmodell av konstruktionen. Om man utsätter konstruktionen för krafter med variationer som inkluderar olika egenfrekvenser så aktiveras motsvarande vibrationsmoder. Med accelerometrar utplacerade på konstruktionen kan lokala vibrationer mätas och det finns olika analystekniker för att dela upp de uppmätta självsvängningarna i svängningsmoder och räkna ut dessas vibrationsfrekvens och dämpning.

Detta illustreras i Figur 2 (a), där en förenklad endimensionell ögonblicksbild visar hur en brobanas uppmätta eller predikterade egensvängningar i en given riktning (överst) kan delas



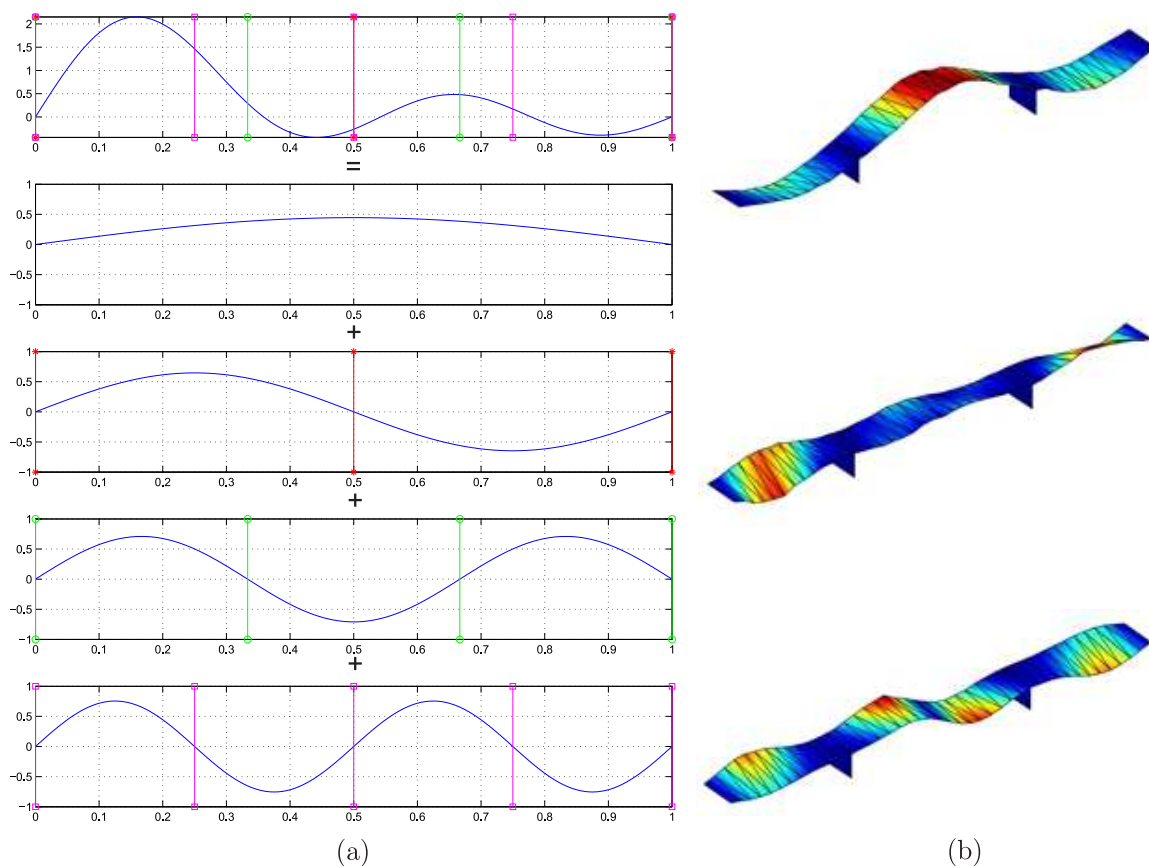
Figur 1: Tacoma Narrows Bridge. Se även <http://www.youtube.com/watch?v=3mclp9QmCGs>.

upp i en summa av enklare svängningsmoder (plot 2–5) med olika modform, amplitud och svängningsfrekvens. Vill man kunna detektera dessa fyra svängningsmoder så är en bra tumregel att accelerometrarna inte placeras i någon punkt där en svängningsmod alltid har amplitud 0, här markerat med lodräta streck. Ett enkelt sätt att finna bra mätpunkter är att multiplicera alla modformer av intresse och välja mätpunkter där den produkten har stora värden.

1.2 Uppdatering av finit elementmodell (FEM-uppdatering)

Uppmätta svängningsmoder kan utnyttjas för att justera utvalda nyckelparametrar i en finita elementmodell på så vis att de självsvängningar som förutsågs av modellen stämmer bättre överens med uppmätta svängningsmoder samt deras egenfrekvenser och dämpning. Manuell sådan justering görs ofta för att justera värden på dåligt kända materialparametrar eller randvillkor så att modellen stämmer bättre med verkligheten.

Detta går att ta några steg längre genom att konstruera datorprogram som använder någon metod för numerisk optimering för att automatiskt justera utvalda nyckelparametrar för så bra överensstämmelse som möjligt mellan förutspådda och uppmätta egensvängningar. Om de utvalda parametrarna till exempel är materialets elasticitetsmodul i olika delar av konstruktionen så kan en lokal svaghet, till exempel en spricka, detekteras genom att modellen, som ej har någon spricka där, justerar ned elasticitetsmodulen till ett lägre värde än det verkliga för att förutspådda självsvängningar ändå skall stämma så bra som möjligt överens med de uppmätta. Lokala defekter kan alltså på detta sätt upptäckas genom lokal sänkning av elasticitetsmodul,



Figur 2: (a) Uppdelning av en brobanas svängningar i en summa av svängningsmoder. Produkten av dessa kan tydliggöra lämpliga mätpunkter för modalanalys. (b) Modformer för verklig bro.

alternativt sänkning jämfört med tidigare mätningar på samma konstruktion.

1.3 Fria vibrationer eller konstgjord excitering

Om man vill göra tillståndsbedömning baserad på uppmätta egensvängningar så är ett viktigt första val om man skall utgå från naturligt förekommande vibrationer som orsakas av omgivningen eller om man skall sätta konstruktionen i svängning med en känd insignal och bestämma egensvängningar utifrån uppmätt insignal-utsignalförhållande.

I det senare fallet så tillkommer extra tidsåtgång och kostnader, dels för att på ett bra sätt excitera självsvängningar i konstruktionen, till exempel med en så kallad "shaker" (Figur 4 sid 10, Figur 23 sid 32) eller impulshammare. Detta kan vara opraktiskt för byggnader där folk bor eller vistas. Dessutom kan "fel" typ av excitering ge svårtolkade mätdata. Till exempel kan ett tungt lastat tåg belasta en bro så att en löst inspänd ände av brobanan delvis lättar från fundamentet^a, vilket markant kan ändra konstruktionens randvillkor och dynamiska respons. Det blir då väldigt svårt eller omöjligt att dra några slutsatser från jämförelse av uppmätta svängningsmoder mot till exempel tidigare uppmätta eller svängningsmoder förutspådda av en finita elementmodell av bron. Dessutom måste den exciterade kraften mätas och finns det andra icke försumbara vibrationskällor som kan störa mätningarna så måste konstruktionen isoleras från dessa, så att man har en enda väl känd insignal och mäter vibrationssvaret på denna med utplacerade accelerometrar.

Det finns gott om stora konstruktioner som naturligt utsätts för många olika slumpartade vibrationer och krafter från omgivningen, till exempel från vågor, vind, trafik och/eller människor. Sådana vibrationer orsakade av den omgivande miljön kallas för *fria vibrationer* (på Engelska *ambient vibrations*). Då kan det vara betydligt enklare att använda så kallad *operationell modalanalys* (på Engelska *operational modal analysis*) [BVA03], som mäter vibrationssvaret på en *okänd* insignal och räknar ut modformer, frekvenser och dämpning från dessa. Man slipper då lägga tid och resurser på exciteringen, men samtidigt krävs att den naturliga exciteringen från omgivningen är sådan att den exciterar svängningsmoder av intresse utan att tillföra andra oönskade effekter. Att enbart excitera en frekvens eller punkt i konstruktionen är till exempel ej tillräckligt för operationell modalanalys. Istället vill man ha excitering i många punkter och många frekvenser. Detta förklaras närmare till exempel i [Bri13]. Några exempel på bra exciteringskällor som anges där är vindbelastning på stora konstruktioner, vibrationer från trafik eller människor, slumpartade belastningar som rör sig över konstruktionen samt stora maskiner med många rörliga delar. Samtidigt gäller att inte ha så stora exciteringskällor att man mäter exciteringskällan snarare än fria vibrationer [Ric97], eller så stora laster att de ger avvikelser från det linjära system som en finita elementmodell räknar på, till exempel icke linjära effekter när delar av konstruktionen slamrar och slår mot varandra.

1.4 Huvudsteg för tillståndsbedömning via FEM-uppdatering

Hela kedjan från mättillfälle till utsaga om eventuella defekter kan delas in i följande huvudsteg.

1. Gör en finita elementmodell av konstruktionen, och välj ut nyckelparameter som kan varieras, som till exempel elasticitetsmodul och/eller randvillkor i olika delar av konstruktionen.
2. Placera ut accelerometrar i lämpliga mätpunkter.

^aFör ett belysande exempel, se hur mycket passerande tåg kan få Manhattan Bridge kan svaja, se http://www.youtube.com/watch?v=DgXveBf_l6k.

(Dessa kan till exempel väljas genoma att använda tumregeln i Figur 2 (a) för de modformer som förutsägs av finita elementmodellen.)

3. Mät konstruktionens självsvängningar. (Fria vibrationer eller konstgjord excitering.)
4. Modalanalys för att skriva om uppmätta svängningar som en summa av olika svängningsmoder med tillhörande svängningsfrekvens (eventuellt även dämpning).
5. Utveckla och använd programvara för kalibrering av de utvalda nyckelparametrarna så att förutspådda och uppmätta svängningsmodformer, egenfrekvenser och eventuellt även dämpningar stämmer så bra som möjligt överens med uppmätta dito.

Den här rapporten beskriver forskning med huvudfinansiering från SBUF och Formas för att undersöka, utveckla och utvärdera den mätteknik och analysmetoder som ingår i de olika stegen ovan. Varje steg i kedjan är viktig, men vi kommer framför allt att beskriva delar av steg 3, 4 och 5. För hela kedjan till tillståndsbedömningen redovisar vi några preliminära resultat för en betongplatta i laboratoriemiljö. Så långt är ingen del av framställningen knuten till någon speciell typ av konstruktion eller byggnad. Vi beskriver även pågående arbete för att använda samma metoder i större skala på en järnvägsbro, men även där är tillvägagångssättet samma för andra byggnadskonstruktioner.

Ett slutmål med projektet, som nu fortsätter med finansiering från Formas, är att göra mät- och analysmetoder enklare och mer lättillgängliga, bland annat genom att göra utvecklad programkod fritt tillgänglig.

1.5 Syfte

Då tidigare fältmätningar för modalanalys gjorts på olika broar i samarbete med LKAB och Trafikverket så var ett syfte med den kompletterande finansieringen att möjliggöra fortsättning av dessa forskningsprojekten, men med mer fokus på delprojekt som inte är specifikt knutna till just broar.

Bland annat innefattar detta att som ett första steg utföra mätningar, modalanalys och tillståndsbedömning i labmiljö på en betongplatta med olika grader av tillförd skada. Det ingår även att vidareutveckla metoder för snabb och säker accelerometerkalibrering, samt att komplettera analys på broar med modalanalys på någon större byggnad av annan typ och undersöka vilka faktorer som är speciellt viktiga för mätning och analys på sådana byggnader.

1.6 Mål

Ett inledande mål var att implementera och testköra MATLAB-kod för tillståndsbedömning på betongplatta med olika grader av skada. Detta som första steg för att sedan generalisera koden för större konstruktioner. Ett viktigt slutmål för projektet som helhet är att efter hand göra utvecklad programkod för de olika metoderna tillgänglig för nedladdning. Som ett första steg i den riktningen skulle delar av koden dokumenteras och publiceras i samband med slutrapporten.

För att ytterligare minska kopplingen just till broar ville vi även utföra modalanalys på någon annan större byggnad och dra slutsatser om viktiga skillnader vid modalanalys på olika typer av stora byggnader.

Hela kedjan från mättillfälle till tillståndsanalys är viktig, så fokus har också varit på att förbättra mätningarna, speciellt att vidareutveckla mät- och analysmetoder för enkel och pålitlig kalibrering av accelerometrar så att mätningar från olika accelerometrar och mättillfällen blir direkt jämförbara.

1.7 Metod

Nya vibrationsmätningar har utförts på betongplatta i labmiljö samt på två olika broar. För betongplattan och en av broarna har mätningarna upprepats efter tillförel av först olika små skador och sedan belastning till brott. För dessa mätningar samt mätningar på en byggnad vid Stockholms central har sex olika metoder för modalanalys använts och jämförts.

För Betongplattan har tillståndsanalys med en metod för FEM-uppdatering implementerats i MATLAB. Koden håller för närvarande på att struktureras om för att bli enklare och mer lätt-tillgänglig, och skall även generaliseras och utvärderas för de mätningar som gjorts på samma bro med olika nivåer av skada.

För mätningarna i fält har en enkel mätmetod, mätthjälpmedel och analysmetod utvecklats som möjliggör pålitlig accelerometerkalibrering enbart från snabbt genomförda mätningar av jordens gravitationskraft.

De olika delprojekten beskrivs översiktligt i avsnitt 2. Diskussion och slutsatser följer i Avsnitt 3, följt av pågående och fortsatt forskning i Avsnitt 4. Avslutningsvis följer några publicerade artiklar och konferensbidrag i separata appendix.

2 Projektbeskrivning

Vi beskriver ingående delprojekt under separata rubriker nedan. De analysmetoder som valts för modalanalys och tillståndsbedömning beskrivs i Avsnitt 2.1. Utvärdering av dessa på en betongplatta i laboratoriemiljö beskrivs i Avsnitt 2.2. Avsnitt 2.3 beskriver mätning och modalanalys dels på ett flervåningshus, och dels på en järnvägsbro före och efter tillförel av först mindre skador och sedan belastning till brott. Förbättrade och förenklade metoder för accelerometerkalibrering vid mätningar i fält förklaras i Avsnitt 2.4.

2.1 Modalanalys och FEM-uppdatering

För modalanalys av fria vibrationer har vi än så länge använt det kommersiella programmet ARTeMIS^b Vi har framför allt varit speciellt intresserade av följande analysmetoder:

1. Stochastic Subspace Identification (SSI) [OM96, PDR99, PDR01, RDR08, RPDR08], som analyserar i "tidsdomänen".
2. Frequency domain decomposition (FDD, se t ex [BZA01]), som analyserar frekvensinnehållet i mätsignalen med hjälp av singularvärdesuppdelning för att kunna hålla isär även svängningsmoder som ligger nära varandra i frekvens.
3. Wavelet-baserade metoder för att analysera hur frekvensinnehållet varierar med tiden (som illustrerat med ljud och bild i [EGOS09]). Dessa sägs också ha som fördel att kunna hålla isär även svängningsmoder som ligger nära varandra i frekvens (se t ex [CLL09]).

SSI och några varianter av FDD är de som ingår i ARTeMIS och har använts för de projekt som beskrivs i den här rapporten samt även i en inledande studie på en bro över järnvägen i Kiruna [Sab11]. Dessutom planeras för närmare jämförelse mellan tid- och frekvensupplösningen för de två senare, se Avsnitt 4.4.

För tillståndsbedömning har vi implementerat en metod för FEM-uppdatering som beskrivs i [TMDR02, TDR03, RTDR10]. Den använder sig av en speciell så kallad *målfunktion* (*objective*

^b<http://www.svibs.com/>

function), som ger ett mått hur stor skillnaden är mellan uppmätta och förutspådda modformer och frekvenser. Värdet på denna minskas genom att stegvis ändra utvalda nyckelparametrar med en numerisk optimeringsmetod (*Newton trust region* [NW06] implementerad med hjälp av kommandot `fmincond` i MATLABs Optimization Toolbox). För att ändra parametervärden i rätt riktning används uppskattningar från [FK68]. När parametervärdena ändrats anropas FEM-rogrammet Abaqus för att räkna ut nya förutspådda svängningsmoder. Detta ger det flödesschema som visas i Figur 3. För den koden fås analysresultaten i nästa avsnitt relativt snabbt med en vanlig bordsdator. För större strukturer håller vi på att generalisera koden och förbereda en datorkluster på 96 kärnor för den parallellkörning av MATLAB och Abaqus som krävs (se Avsnitt 4.1).

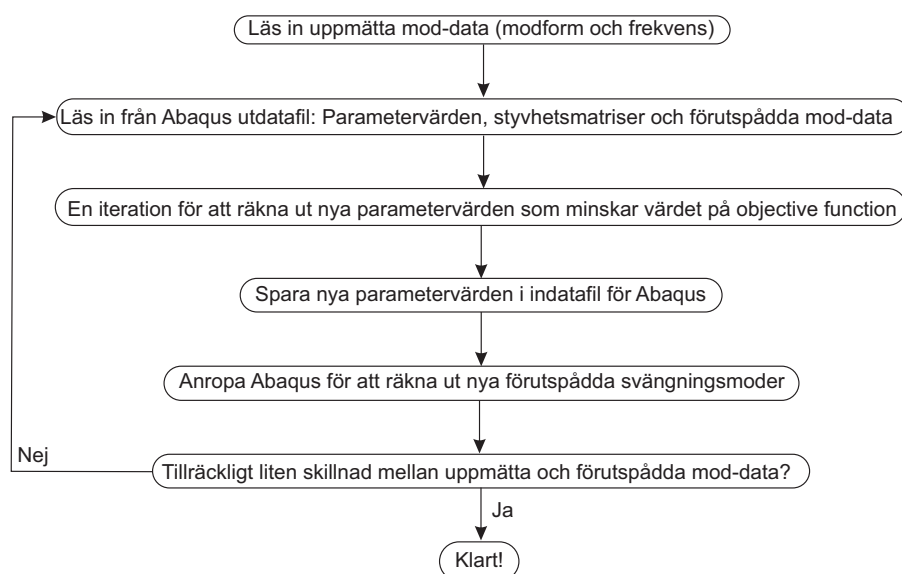
2.2 Laboriemätningar på betongplatta

Som ett första steg för att utvärdera metoder för FEM-uppdatering gjorde vi i laboriemiljö mätningar på en fritt upphängd armerad betongplatta som visas i Figur 4. Plattan är av storlek $1050 \times 340 \times 70$ mm med tre längsgående armeringsjärn placerade enligt Figur 5.

Som en första jämförelse så utfördes modalanalys både på fria vibrationer och på frekvenssvaret som ficks från mätningar med excitering från skakern i Figur 4. För fria vibrationer exciterades plattan med slumpartat försiktigt knackande fingertoppar på plattans baksida. Detta gav inga egentliga skillnader i resulterande modformer och frekvenser. För det fortsatta arbete som beskrivs nedan exciterades plattan enbart med shakern. Plattan var fritt upphängd (se Figur 4) för att isolera den från andra vibrationer och säkerställa att de exciterade krafterna från shakern var de enda av betydelse. Från mätningar av den exciterande kraften och enaxliga accelerometrar placerade i $5 \cdot 13 = 65$ punkter kunde plattans frekvenssvar i varje sådan punkt räknas ut. Sedan kunde modformer och frekvenser räknas ut med standardmetoder som speciellt studerar frekvenssvarets imaginärdel, se till exempel [Ric97] och [CJK06, Avsnitt 18.6.1].

För att kunna utvärdera metoder för tillståndsbedömning så upprepades sedan samma mätningar med shaker efter att ha tillfört olika grader av skada vid den armerade sidan av plattan med totalt fem olika skadenivåer:

1. Oskadad platta.



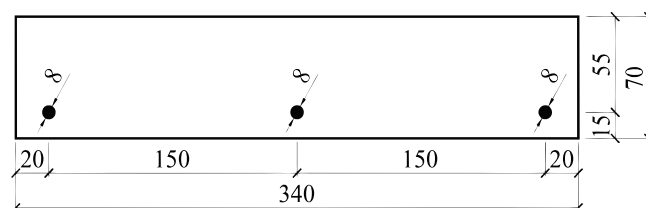
Figur 3: Flödesschema för implementerad metod för FEM-uppdatering.

2. Sågad 7 mm djup skåra.
3. Samma skåra sågad till djup 13.5 mm.
4. Djupare spricka kring skåran skapad med linjeformad last på 6,6 kN (se Figur 6 (a)).
5. Ännu djupare sprickor (Figur 6 (b)) skapade genom att manuellt med tvingar lägga på ytterligare linjär last.

Mätningarna gjordes i samarbete med Fredrik Ljungren på Avdelningen för akustik vid Luleå tekniska Universitet, som hade lämpliga erfarenheter, shaker och mätutrustning för just dessa mätningar. Figur 7 visar uppmätta modformer för plattan med 7 mm djup skåra.



Figur 4: Mätningar på fritt hängande armerad betongplatta.

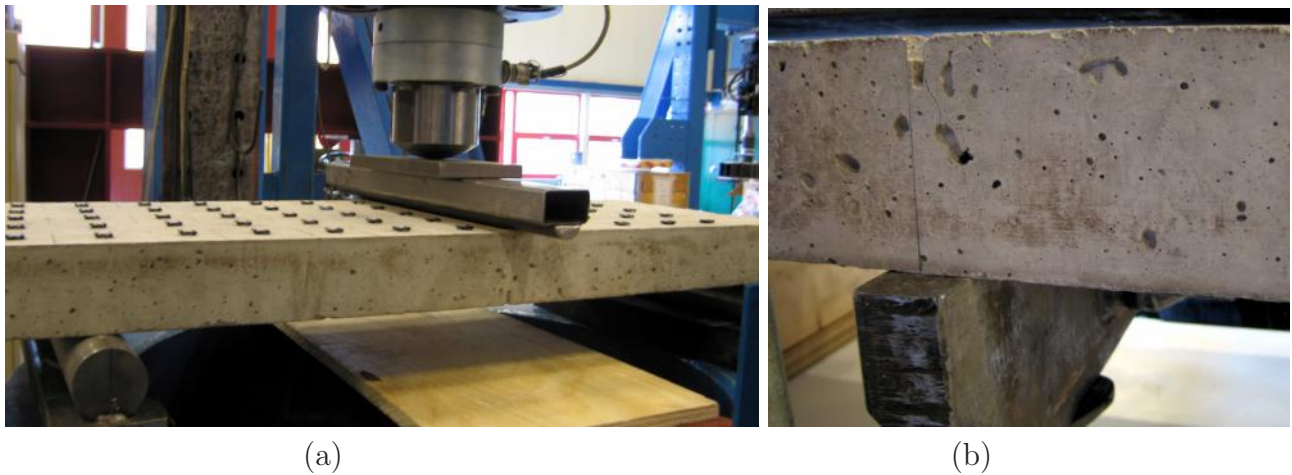


Figur 5: Tvärsnitt av plattan (enhet: mm).

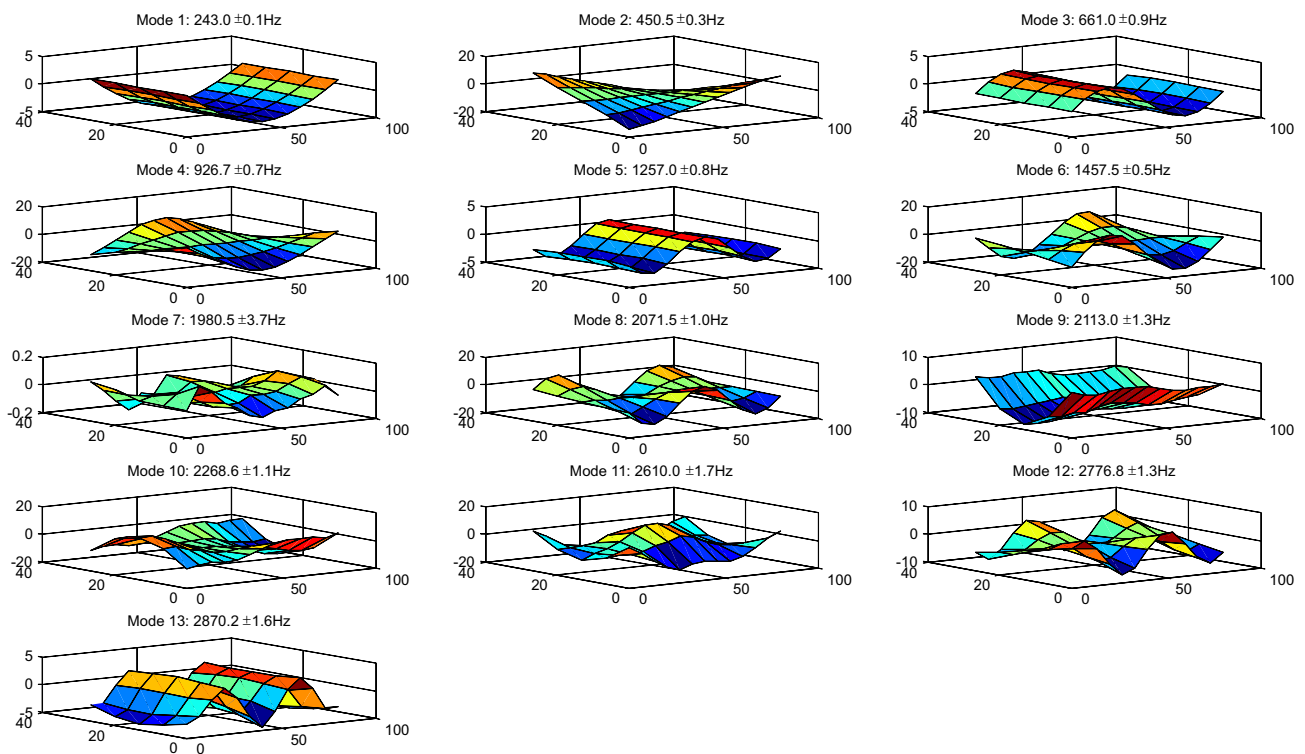
Gästprofessor Yongming Tu från Kina har gjort finita elementmodeller av plattan, där vi som mest har delat in plattan i $13 \times 5 = 65$ grupper av finita element med en separat elasticitetsmodul för varje grupp, se Figur 8.

Nästa steg var att testa tillståndsbedömning för betongplattan med vår MATLAB-kod för FEM-uppdatering. Denna justerar elasticitetsmodulen [GPa] i en modellerad oskadad platta så att dess modformer och -frekvenser i så hög grad som möjligt sammanfaller med de uppmätta. Oavsett vilka slumpvis valda startvärden vi hade på de 65 elasticitetsmodulerna så konvergerade koden till de resultat som visas i Figur 9.

Bredden på skåran bör inte påverka resultaten märkbart, utan vi förväntade oss att skårans eller sprickans djup är den faktor som främst påverkar plattans modformer och frekvenser. Man

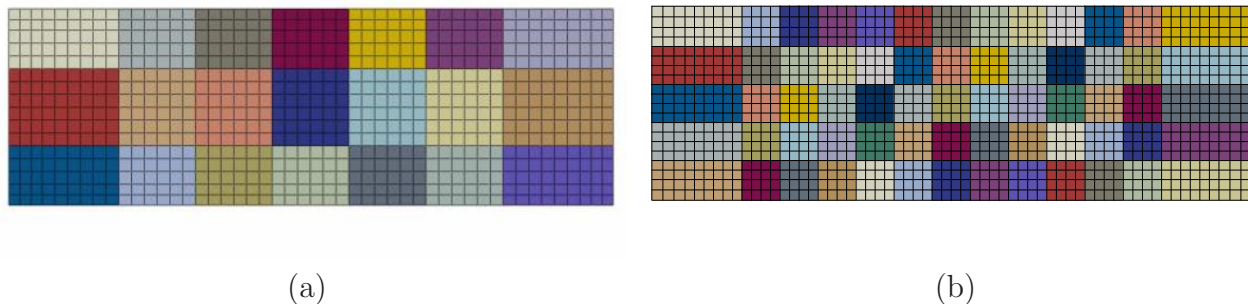


Figur 6: (a) Kontrollerad böjbelastning vid uppsågad skåra. (b) Synlig djupare spricka efter ytterligare böjbelastning.

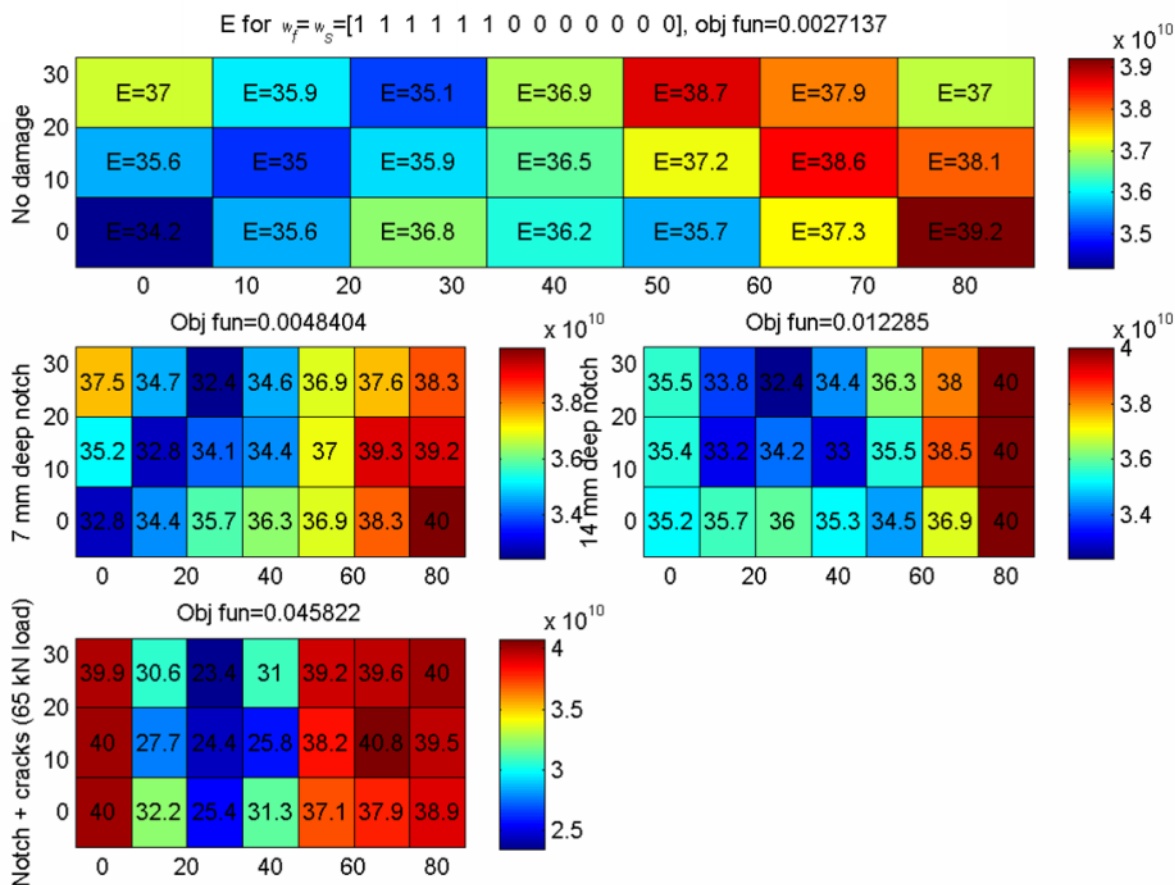


Figur 7: Modformer för plattan i fallet med 7 mm djup sågad skåra.

kan alltså förvänta sig att djupare skåra/spricka skall markeras tydligare i Figur 9. Man kan där se en aning lägre elasticitetsmoduler i vänstra halva redan för den oskadade plattan (överst). Detta skulle till exempel kunna bero på att den halvan är 1–2 mm tunnare för den verkliga



Figur 8: Grupper av element för FE-modell för betongplattan. (a) 16×48 element indelade i 3×7 grupper. (b) 20×62 element indelade i 5×13 grupper.



Figur 9: FEM-uppdatering för betongplattan justerar elasticitetsmodulen [GPa] i en modellerad oskadad platta så att dess modformer och -frekvenser i så hög grad som möjligt sammanfaller med de uppmätta.

Jämfört med oskadad platta (överst) så ger sprickor med tilltagande djup en gradvis övergång till lägre värden kring sprickan.

plattan.

I mittenraden i Figur 9 är det svårt att med ögat se någon skillnad i slutresultatet för 7 mm djup skåra (vänster), men för 13,5 mm djup skåra kan man se en lite mer tydlig övergång till lägre elastitetsmodul på vänstra halvan.

Nederst i Figur 9 visas analysresultatet efter knäckning till djupare spricka med 65 kN. Nu syns en tydlig koncentration av låga värden på den delen av plattan där sprickan är belägen.

Analysresultaten tyder alltså på att en 3,5 mm djup spricka inte märkbart ändrar den armerade plattans egensvängningar. För 13,5 mm djup skåra kan man se indikation av försvagning i vänster halva, och för den djupare sprickan indikeras mer tydligt och exakt var på plattan skadan är belägen.

2.3 Mätningar och analys på större konstruktioner

Vi redogör här för fältnätningar och analys som utförts på en större byggnad i Stockholm samt en järnvägsbro över Åby älv.

2.3.1 Modalanalys på flervåningsbyggnad

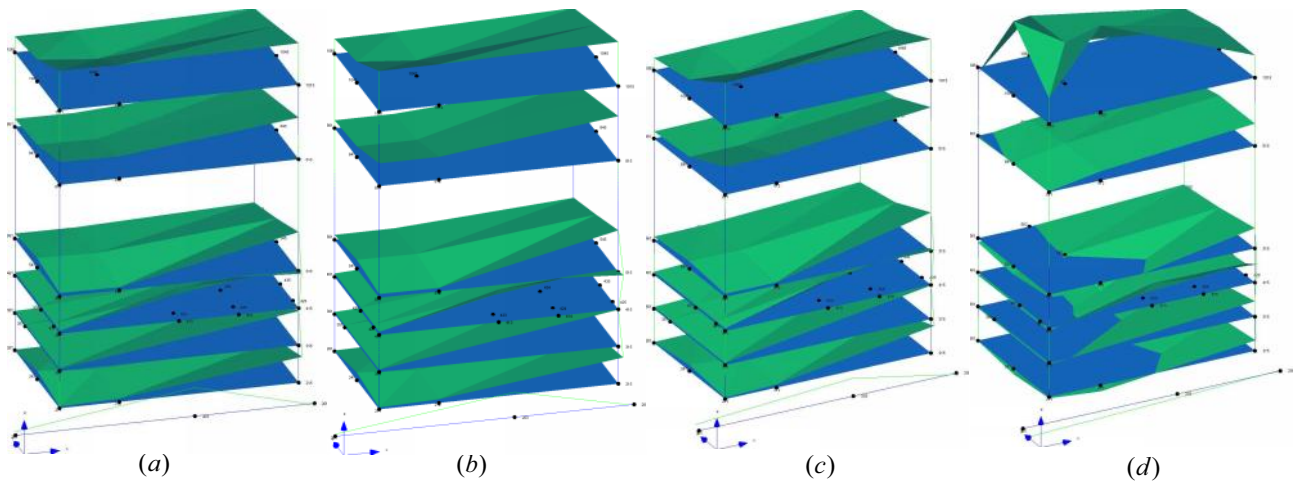
Kvarteret Klassföreståndaren färdigställdes 2008 mellan Stockholms centrals norra bangårdsområde och södra delen av Vasastan i centrala Stockholm. Hyresgäster på plan 10 klagade dock på vibrationer som förmodades vara orsakade av förbipasserande tåg. Olika typer av accelerometermätningar utfördes under ledning av P-O Svahn, Skanska Sverige AB [Sva10] för att undersöka hur stora dessa vibrationer var. En *första serie mätningar* gjordes med excitering från passerande tåg. En *andra mätserie* utfördes med en mätvagn på rälsen som kan excitera en sinusformad last med valfri frekvens medan vagnen är stilla eller i rörelse. För stilstående vagn kan byggnadens svängningsmoder beräknas från analys av byggnadens frekvenssvar (för mätvagnen) eller med metoder för operationell modalanalys för vibrationer orsakade av förbipasserande tåg. Vi har valt att analysera de vibrationer som orsakas av förbipasserande tåg. Detta ger bara mätdata från 15 mätpunkter, men efter ompositionering av 14 accelerometrar till nya positioner i byggnaden så utfördes en *tredje mätning*. Därmed kan accelerometern som var på samma ställe vid båda mätningarna användas som referensaccelerometer. och vi har ett större antal mätpunkter utspridda på sex plan i byggnaden. Det är fortfarande få accelerometrar per plan, så det duger inte för en noggrann bestämning av modformer, men det räcker för att bestämma modsvängningarnas frekvens.

Ett problem med den tredje mätomgången var dels att mätningarna var relativt korta, och dels gjordes de med konstgjord excitering inne i byggnaden. Då finns stor risk att man mäter de exciterande vibrationerna lika mycket som byggnadens fria vibrationer. Att enbart analysera avklingande vibrationer efter att exciteraren slagits av var heller inget alternativ då detta var en kort signal, med liten amplitud och sparad med enbart 16 bitars upplösning vilket gav stora avrundningsfel. Varken detta eller att använda hela signalen gav därför några användbara resultat. Istället utnyttjade vi att exciteraren gav en svepande sinussignal med frekvens ökande från 4 till 16 Hz, genom att analysera den senare halvan av signalen och lägga på ett digitalt lågpasfilter (raised cosine av grad 4) som behåller alla frekvenser upp till 9 Hz^c och filtrerar

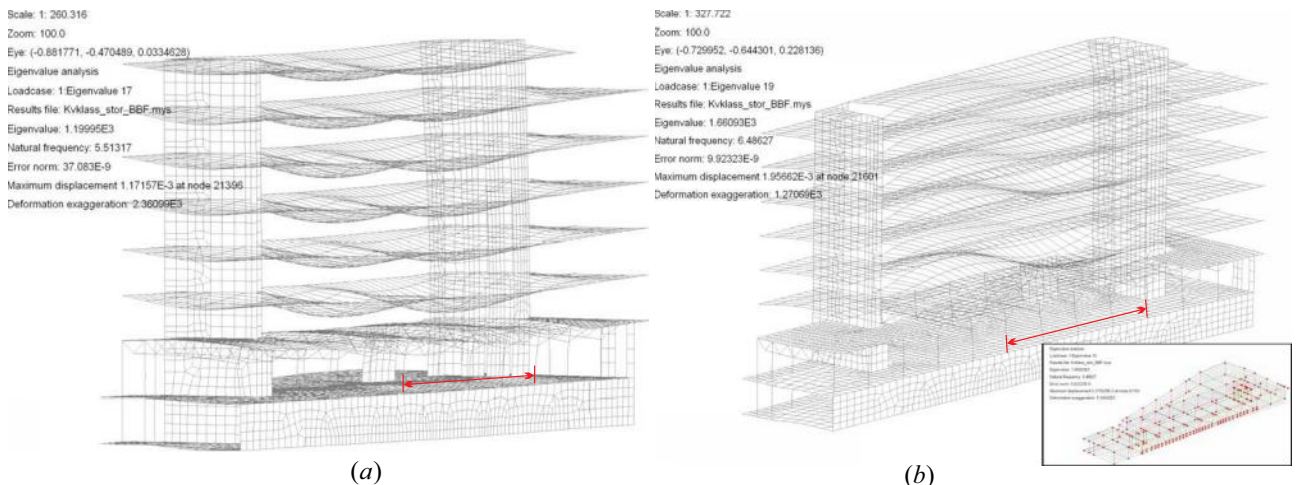
^cEtt alternativ för eventuella senare jämförelser kan vara att använda hela signalen och räkna ut modform från denna och från exciterande krafter genom analys av byggnadens frekvenssvar [CJK06, Avsnitt 18.6.1]. För första accelerometersetupen kan i så fall modform räknas ut som vi gjort eller även där via analys av frekvenssvar för excitering med mätvagnen. För metoden som beskrivs i [CJK06, Avsnitt 18.6.1] är det då inte helt enkelt att identifiera vilka toppar i frekvensspektrumet som hör till vibrationsmoder. Vi valde därför att analysera fria vibrationer med ARTeMIS.

bort allt med frekvens över 12 Hz. På så vis fick vi en mätsignal utan störande exciterare, lång nog för modalanalys i ARTeMIS och med nyligt exciterade vibrationer i frekvensbandet 0-9 Hz, där vi har förutspådda vibrationsmoder från en finita elementmodell att jämföra mot.

I ARTeMIS finns sex metoder för modalanalys. De tre första är tre olika varianter av metoden "Frequency Domain Decomposition" (FDD) de fungerar bra vid andra mätningar vi gjort (se till exempel Figur 28, sidan 36), då normalt med 20-60 minuters mättid och därmed högre signal-brusförhållande i spektrumet. Mätningarna på den här byggnaden var bara någon minut långa och då hittade FDD inga vibrationsmoder i det frekvensintervall där vi har förutspådda moder att jämföra mot. De återstående tre metoderna är olika varianter av "Stochastic Subspace Identification" (SSI). De hittade vibrationsmoderna med lägst frekvens för två av SSI-varianterna visas i Figur 10. Frekvenserna stämmer i det första fallet någorlunda



Figur 10: Resultat av modalanalys för mätningar från accelerometrar på plan 2, 3, 4, 5, 8 och 10: För analysmetoden "SSI Unweighted Principal Components" var de lägsta modfrekvenserna (a) 5.83 Hz och (b) 6.82 Hz. För "SSI Weighted Principal Components" var de lägsta modfrekvenserna (c) 6.00 Hz (d) 7.40 Hz

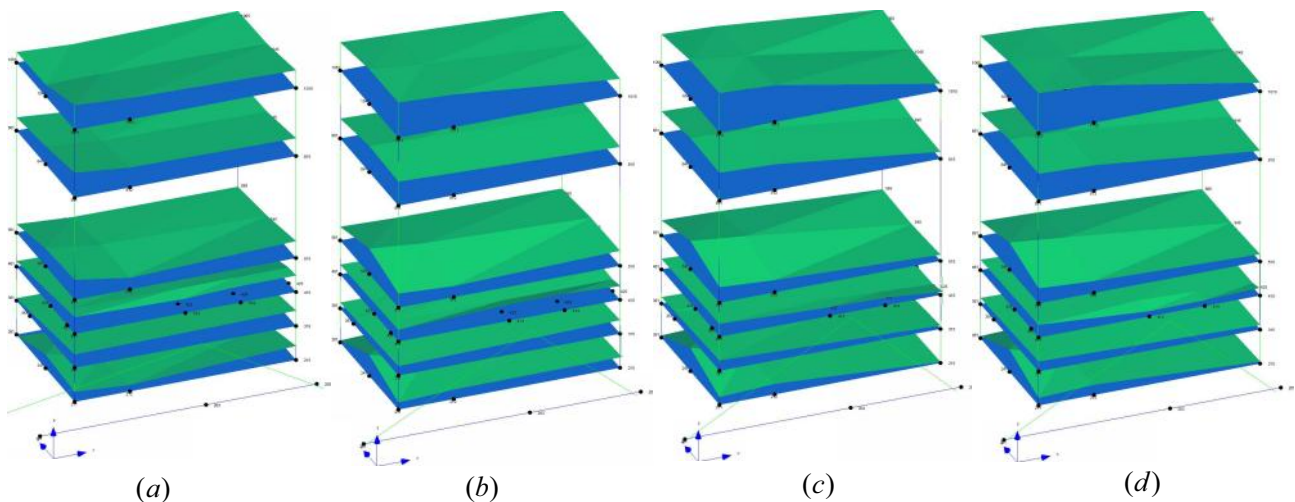


Figur 11: Vibrationsmoder för byggnaden beräknade ur finita elementmodell i [Sva10]. Den röda pilen indikerar vilken del av byggnaden som analyserats i Figur 10 och 12. (a) Första svängningsmod med koppling mellan grund-stomme, $f_0 = 5,5$ Hz. (b) Andra svängningsmod med koppling mellan grund - stomme, $f_0 = 6,5$ Hz.

mot de förutspådda frekvenserna 5,5 och 6,5 Hz i Figur 11, men modformerna avviker från de förutspådda, då modformernas maximum ligger i fel ända av varje våningsplan. För den tredje metoden “SSI Canonical Variate Analysis” visas de fyra första funna modformerna i Figur 12. De två med lägst frekvens stämmer relativt väl mot de förutspådda frekvenserna 5,5 och 6,5 Hz. Buktingen av motsvarande modformer i Figur 11 syns ej lika klart i Figur 12, men det är för få accelerometrar för att tydligt mäta modformen och för punkter som saknar accelerometer har modformens värde där räknats ut med linjär interpolation.

Några viktiga slutsatser för fullskalig modalanalys och tillståndsbedömning för sådana byggnader är att

- Jämfört enklare konstruktioner som broar så behövs vibrationsmätningar i betydligt fler mätpunkter, speciellt för stora byggnader med flera våningsplan.
- Till skillnad från broar så kan accelerometrarna placeras så att de står inlåsta i olika rum. Detta underlättar att mäta fria vibratörer i ett stort antal mätpunkter med lång tid för varje mätpunkt utan att behöva ett stort antal accelerometrar. Det räcker nämligen att ha någon referensaccelerometer placerad på samma ställe vid varje mätning och flytta runt övriga tillgängliga accelerometrar till man har mätningar i alla mätpunkter av intresse.
- Analys med Stochastic Subspace Identification klarade korta mätsignaler med lågt signalbrusförhållande bättre än motsvarande modalanalys med Frequency Domain Decomposition.



Figur 12: Samma analys som i Figur 10 men med metoden “SSI Canonical Variate Analysis”. De lägsta funna modfrekvenserna var (a) 5.7 Hz, (b) 6.5 Hz, (c) 7.0 Hz och (d) 7.42 Hz.

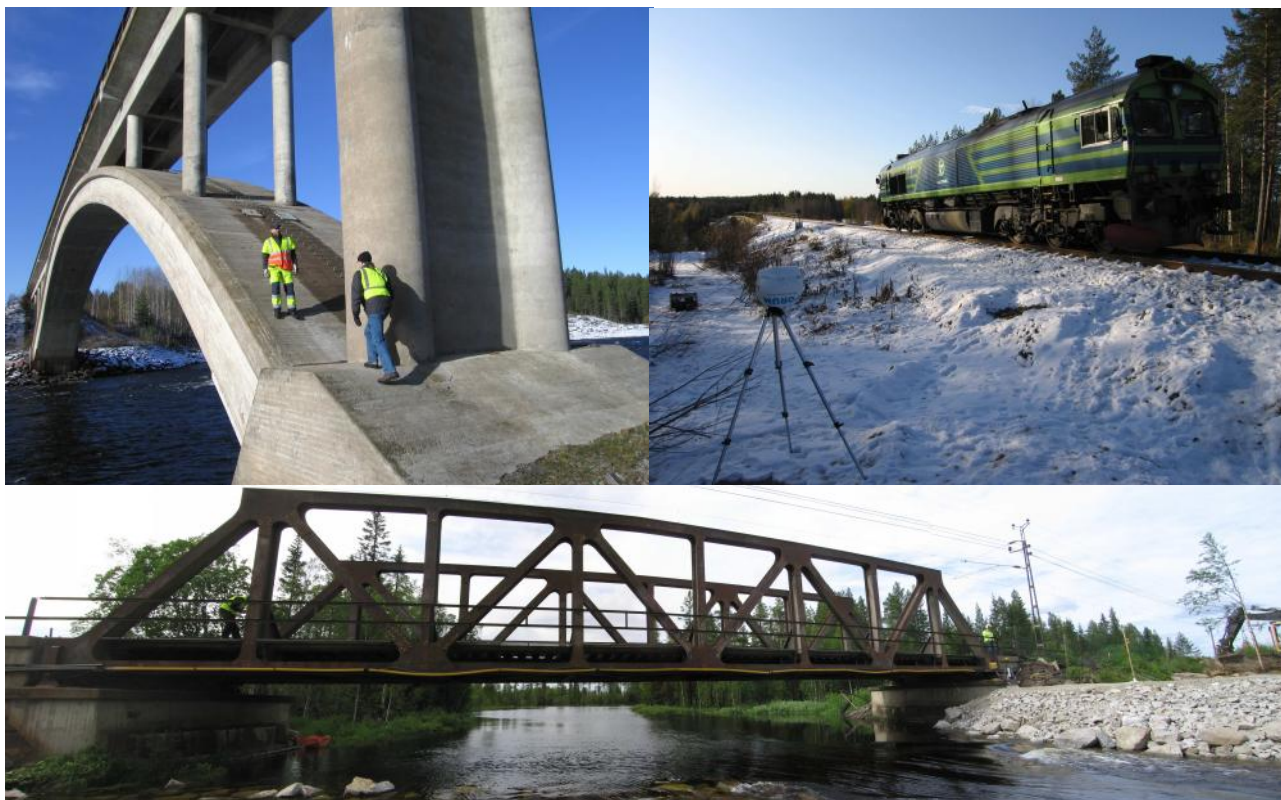
2.3.2 Mätningar och analys på järnvägsbro före och efter skada

En inledande jämförelse av samma tekniker för modalanalys som i Avsnitt 2.3.1 gjordes i samarbete med LKAB i samband med mätningar på en bro över järnvägen i Kiruna [Sab11]. Sedan har mätningar gjorts på två olika järnvägsbroar i ett samarbete med Trafikverket. En över Långforsen, och en över Åby älv, se Figur 13. Vi beskriver dessa närmare i Appendix B. För bron över Åby älv upprepades mätningarna fem gånger. En mätomgång medan bron var i bruk, en sedan den lyfts upp på temporära stöd land, två mätserie efter att ha tillfört två

grader av liten lokal konstruerad skada och slutligen en femte mätomgång efter att ha belastat bron till brott.

Exempel på modalanalysresultat och jämförelse mot vibrationsmoder förutspådda av finita elementmodell finns i Appendix B. MATLABkoden vi använde för FEM-uppdatering på betongplattan i Avsnitt 2.2 håller vi på att modifiera för att kunna utvärdera samma analysmetoder på bron med olika grader av skada.

De flesta problemen som behöver hanteras är dock inte speciellt knutna till broar, utan handlar främst om generalisering till större konstruktioner med mer komplicerad geometri (se dock punktlistan sist i Avsnitt 2.3.1).



Figur 13: Mätningar av självsvängningar har gjorts på två järnvägsbroar. En över Långforsen (övre bilderna) och en över Åby älv (undre bilden).

2.4 Accelerometerkalibrering

Äldre mätningar på bron över Långforsen från 2009 hade för dåligt signal-brusförhållande för tillförlitlig modalanalys. Den exakta anledningen till detta var okänd, så flera tänkbara delorsaker åtgärdades. Vi var till exempel noggranna med jordning för att reducera elektriska störningar, eliminera andra tänkbara störkällor vid konstgjord excitering, val av samplingshastighet, filterfrekvenser, ordentlig förankring av accelerometrarna i mätobjekten, genomtänkt utplacering av accelerometrarna (se Figur 2) och ordentlig kalibrering av accelerometrarna. Accelerometerkalibreringen och varför den behövs beskriver vi närmare i detta avsnitt och i Appendix A. I [Bri13] finns en genomgång av en del andra viktiga frågor rörande mätteknik för modalanalys.

Ett enkelt sätt att hitta lämpliga mätpunkter vid vibrationsmätningar för modalanalys är att multiplicera förväntade modformer med varandra och placera accelerometrarna där den

produkten ger stora värden. (Se Figur 2.) Detta ger oftast ett stort antal mätpunkter och även om det går att mäta i omgångar med förlyttning av några accelerometrar mellan varje mätning (se till exempel [Bri13]) så behövs ett flertal accelerometrar. Dessa kan vara av olika fabrikat, det kan vara blandning av enaxlika accelerometrar och accelerometrar som mäter i tre riktningar samtidigt, och mätvärden från olika accelerometrar måste kalibreras så att de går att jämföra med varandra. Enaxliga accelerometrar kan till exempel kalibreras mot varandra med så kallad *relativ kalibrering*, som i korthet går till så att man placerar alla accelerometrar i “samma” punkt, utför mätning och jämför medelvärden av utsignal från respektive accelerometer för att jämföra hur mycket de förstärker den uppmätta gravitationen. Detta beskrivs närmare exempelvis i [Bri13].

Treaxliga accelerometrar mäter dock i tre olika riktningar samtidigt, och i varje riktning finns ett linjärt samband mellan accelerationen a_n i mätriktningen och accelerometers utsignal $v_n = a_n g_n + b_n$, där $n = 1, 2, 3$. Parametrarna g_n, b_n är okända och kan variera med temperatur och luftfuktighet, så det är önskvärt att kunna mäta dem ute i fält i den miljö där accelerometern skall användas. Ytterligare ett systematiskt mätfel är elektriskt läckage mellan de tre mätriktningarna, samt liknande “läckage” som tillkommer när de tre mätriktningarna inte är exakt vinkelräta mot varandra. Den kombinerade effekten av de två mätfelen kan beskrivas fullständigt med ytterligare tre parametrar som i frånvaro av elektriskt läckage anger vinklarna mellan de tre mätriktningarna [FGS12].

Det finns olika metoder för att bestämma värdet på dessa parametrar från mätningar av jordgravitationen med accelerometern placerade i vila i sex olika mätpositioner för att bestämma de första sex parametrarna, eller nio olika mätpositioner för att bestämma värdet på alla nio parametrarna. För tidigare föreslagna iterativa algoritmer var det dock oklart under vilka förutsättningar de konvergerar mot korrekta värden på parametrarna. Vi kunde även visa att det finns olika val av sex respektive nio tillsynes lämpliga accelerometerpositioner för vilka det är omöjligt att räkna ut alla sex eller nio parametrar [GS11, FGS12].

För praktiskt användbar accelerometerkalibrering i fält ville vi därför dels ha ett enklare sätt att räkna ut parametrarna, vi ville helst hitta sex respektive nio “säkra” positioner för vilka det garanterat går att räkna ut alla parametrar *även* i fält, där man kanske får räkna med att inte kunna få exakt de positionerna relativt horisontalplanet utan en avvikelse på upp till kanske 10-15 grader. Slutligen ville vi även ha enkla hjälpmedel för att snabbt ställa accelerometern i dessa 6–9 säkra positioner.

För först sex och sedan nio parametrar härledde vi därför explicita formler för att räkna ut parametrarna. Dessa återges som formlerna (2) och (3) i Appendix A, sidan 25.

2.4.1 Sexparameters kalibrering klarar ej läckage mellan axlar

För sex parametrar brukar sex positioner med två axlar i horisontalplanet föreslås. För detta gjorde vi en tråkub med nummerade sidor som accelerometrarna snabbt kan skruvas fast på och placeras i sex sådana positioner, se Figur 14 (c).

För mätningar i fält (på ojämnt ickehorisontellt underlag) behövs lite “vingelmån”, en maximal tillåten avvikelse D sådan att för alla möjliga val av sex (eller nio) mätpositioner med upp till D graders avvikelse från de önskade så fås mätningar från vilka det garanterat går att räkna ut korrekta parametervärden. I brusfri miljö, för sex parametrar och med ett generellt antagande som säger ungefär att parametrarna b_1, b_2, b_3 är små jämfört med g_1, g_2, g_3 så kunde vi i [GS11, Avsnitt 2.4] räkna ut en sådan säkerhetsmarginal D . För parametervärden typiska för accelerometrarna i vårt lab så blev D lite drygt 5 grader. En fördel med ett sådant matematiskt bevis är att det garanterar korrekt kalibrering för *alla* tänkbara avvikelser på

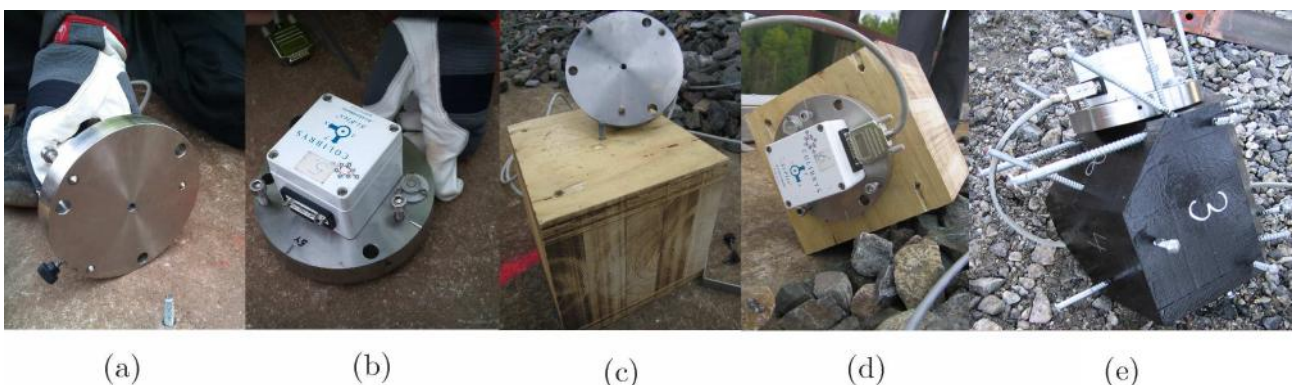
upp till D grader för *alla* accelerometrar med parametervärden inom vissa givna intervall, till exempel alla alla accelerometrar av samma modell som vi använder.

En nackdel med ett så generellt bevis är att det dels krävde antagande om brusfri miljö och dels inte ger största möjliga värde på maximala avvikelserna D . För indikation om hur mycket större D som kan utnyttjas i praktiken så gjorde vi även omfattande Monte Carlo-simuleringar för en accelerometer med parametervärden samma som för en av våra accelerometrar och med brusnivåer typiska för de fältmätningar vi gjort [GS11]. Dessa sammanfattas i Appendix A.1, sid 25. De visar att upp till 10 graders avvikelse från de önskade sex positionerna knappt påverkar skattningsfelet i ett idealt fall då accelerometern har perfekt vinkelräta axlar och inget elektriskt läckage mellan mätningarna från dessa. Med sådant läckage av samma storlek som anges i databladerna för våra accelerometrar så påverkas dock skattningsfelet betydligt, och nioparameters kalibrering behövs därför för små skattningsfel i verkliga mätningar.

2.4.2 Nioparameters kalibrering bättre för verkliga accelerometrar

För nioparameters kalibrering brukar rekommenderas att utgå från samma sex mätpositioner som för sexparameters kalibrering, samt tre till som fås genom 45 graders vridning från dessa. Det är dock lite vanskligt att välja dessa vid mättillfället, som i Figur 14 (d), då de enklaste valen av 45-gradersvridningar ger mätresultat som ej kan användas för kalibrering (se [FGS12, Avsnitt 3.2]). För att snabbt och enkelt göra korrekta kalibreringsmätningar i fält sågade vi därför av tre vinkelräta sidor av tråkuben i Figur 14 (d). Vi satte även i tre skruvar i varje sida för att den skall stå stabilt på ojämna underlag, se Figur 14 (e). Detta var den konstruktionsmässigt enklaste lösningen, men vi förväntade oss bättre resultat om formen ändras till en niosidig polyeder där sidorna väljs för maximal minsta vinkel mellan två mätpositioner, liksom det inte går att minska till mindre än 90 graders vridning mellan två mätpositioner vid sexparameters kalibrering. (Intuitivt kan man se detta som ett sätt att få "så olika" kalibreringsmätningar som möjligt.) Detta ger den polyeder som visas i Figur 15. Med de 3D-skrivare som finns idag så är det relativt enkelt att till exempel konstruera ett nytt accelerometerhölje med denna form.

Liksom för sexparameters kalibrering behövs en "vingelmån" för hur många grader man kan avvika från önskade positioner och ändå garanterat kunna bestämma korrekta parametervärden från mätningarna. Även för nioparameters kalibrering gjorde vi ett generellt bevis för brusfri miljö och accelerometrar med parametervärden av samma storleksordning som för de accelero-

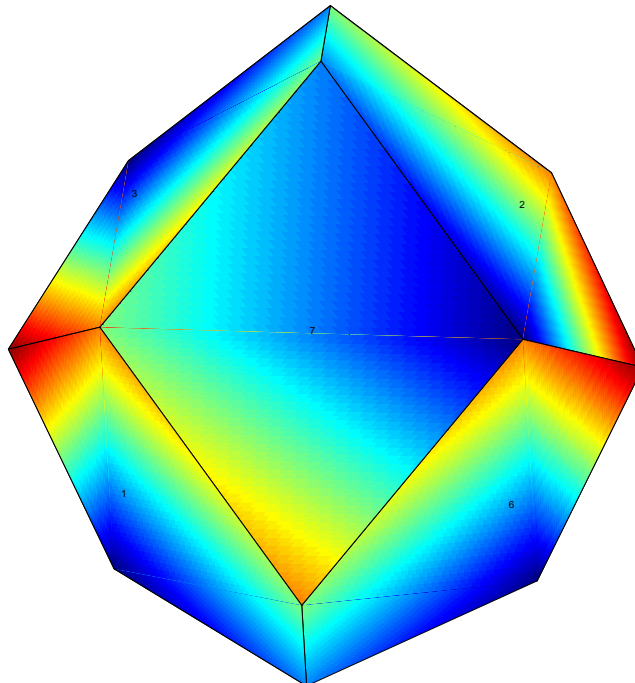


Figur 14: Våra treaxliga accelerometrar sitter monterade på en platta (a) med tre skruvar och vattenpass (b) för justering efter horisontalplanet. Tråkuben i (c) möjliggör snabb positionering för sexparameters kalibrering. Motsvarande konstruktioner för nioparameters kalibrering visas i (e) och i Figur 15.

metrar vi själva använder. Detta gav dock bara en vingelmån på cirka en halv grad, så de resultaten behöver någon ytterligare förbättring för att vara intressant för publicering. Sådana resultat vore dock intressanta, då de Monte Carlo-simuleringar vi publicerade i [FGS12, Avsnitt 3.2] är begränsade till ett fixt val av parametervärden och mycket tidskrävande (varje simulering som den i Figur 20, sidan 28 tog 9 månader på en bärbar dator med då snabbaste nyaste Intel-processorn). Kompletterande resultat som gäller mer generellt för alla parametervärden av en viss storleksordning vore därför fortfarande intressanta.

De Monte Carlo-simuleringar vi gjort redovisas närmare i [FGS12], där vi använder beteckningen A_0^{90-45} för en mätsetup enligt Figur 14 (e) och $A_0^{\max \text{ sep}}$ för motsvarande kalibreringsmätningar enligt Figur 15. Simuleringarna är för samma brusnivå som vi uppmätt i våra fältmätningar och samma läckage mellan de tre mätaxlarna som anges i datablad för våra accelerometrar. Simuleringsresultaten som sammanfattas i Appendix A.2 visar att storleken på mätfel efter kalibrering knappt påverkas av slumpartade positioneringsfel på upp till cirka 12 grader för A_0^{90-45} respektive drygt 20 grader för $A_0^{\max \text{ sep}}$. Denna “vingelmån” är mer än tillräcklig för att få snabba och pålitliga kalibreringsmätningar i fält även på ojämnt underlag med utrustning som i Figur 14 (e) och Figur 15.

Simuleringsresultaten i Appendix A.2 visar också, som väntat, att sexparameters kalibrering ger betydligt större fel i mätresultaten efter kalibrering än man får med nioparameters kalibrering. För nio mätningar med A_0^{90-45} -setup och väldigt höga brusnivåer visar dock simuleringens resultat i [FGS12] att sexparameters kalibrering ger mindre mätfel efter kalibrering, speciellt för stora D .



Figur 15: Niosidig polyeder som skiljer sig från konstruktionen i Figur 14 (e) på så vis att minsta vinkeln mellan två sidor maximerats. Detta ger mer vingelmån för kalibreringsmätningar på ojämnt underlag med större avvikelser från de önskade nio positionerna utan att ge märkbart större mätfel efter kalibrering.

3 Diskussion och slutsatser

Mätteknik och metoder för modalanalys och tillståndsanalys av olika konstruktioner har utvecklats, undersökts och utvärderats på en betongplatta i laboratoriemiljö. För betongplattan gav mindre sprickor små ändringar av plattans självsvängningar. För lite större sprickor indikerade preliminära resultat vilken halva av plattan som blivit försvagad. För djupare sprickor gav tillståndsbedömningen mer noggrann lokalisering av skadan.

En förenklad version av MATLAB-koden som användes för tillståndsbedömningen av plattan redovisas i Appendix D.3.27. Vi beskriver där närmare hur FEM-uppdatering med metoden Newton trust region är implementerad. Detta är själva huvudalgoritmen, och den är oberoende av konstruktionens geometri, undantaget om man använder "interpolation functions"-delen av koden, som kan användas för att släta ut lokala variationer i uträknade elastitetsmoduler, men är begränsad till rektangulärt utplacerade nodpunkter.

Vi har även utfört modalanalys på vibrationsmätningar på en flervåningsbyggnad och jämfört med moder och frekvenser förutspådda av en finita elementmodell av byggnaden. För att kunna jämföra förutspådda och uppmätta modformer så måste man ha tillräckligt med mätpunkter på varje våningsplan för att beskriva det planets svängningar. För en flervåningsbyggnad kräver detta betydligt fler mätpunkter än för till exempel en bro. Saknas mätpunkter så kan man välja värden där med linjär interpolation mellan punkter på samma eller intilliggande våningsplan, men då riskerar man samtidigt att missa någon väsentlig detalj i en modform.

För mätningar i fält krävs kalibrering av använda accelerometrar så att mätningar i olika mätpunkter och vid olika mättillfällen blir direkt jämförbara. Vi har utvecklat förenklad analys teknik och enkla hjälpmedel för att vid mätningar i fält snabbt och enkel kalibrera treaxliga accelerometrar mot jordens gravitationskraft och samtidigt reducera mätfel på grund av elektriskt läckage och icke vinkelräta axlar. De resultaten har publicerats som artiklar i internationell tidskrift [GS11, FGS12].

Enklaste formen av det framtagna mät hjälpmedlet är att forma själva höljet till accelerometern som en niosidig polyeder med nummerade sidor enligt Figur 15. Detta möjliggör till exempel batteridrivna accelerometrar för långtidsmätningar som t ex snabbt kan kalibreras om till exempel i samband med batteri byte.

Några frågor av betydelse för större konstruktioner i allmänhet (broar eller ej) redovisas under separata rubriker i avsnitt 4, samt i punktlistan sist i Avsnitt 2.3.1.

4 Fortsatt forskning

4.1 Anpassningar för tillståndsanalys på större konstruktioner

MATLAB-koden som användes för tillståndsanalys på plattan beskrivs närmare i Appendix D. Den körs relativt snabbt på en vanlig bordsdator. För större och mer komplicerade konstruktioner som bron över Åby älv så är FE-modellen avsevärt mycket större, vilket dels kan ge långa exekveringstider och dels skulle kunna ge styvhetsmatriser större än största tillåtna storleken i MATLAB.

Som en motåtgärd planerar vi att utnyttja en datorkluster på 96 kärnor som finns på Institutionen för samhällsbyggnad och naturresurser på Luleå tekniska universitet. Detta visade kräva att både köhanteringsystemet på klustern och MATLABs rutiner för parallell körning på flera kärnor uppdateras för problemfri parallell körning av MATLAB och Abaqus. En lösning är nu på gång, tack vare ett samarbete mellan IT-personal från universitetet, en inhyrd konsult (Patrik Norman, Exait AB) och kanadensiska tekniker från MATLAB.

För att vid behov få ned problemstorleken har vi även gjort en mindre detaljerad finit elementmodell av bron över Åby älv. För att kunna testa tillståndsanalys på andra konstruktioner än betongplattan så behöver MATLAB-koden i Appendix D anpassas. Själva huvudalgoritmen är oberoende av konstruktionens geometri, men framför allt de inledande delar av koden som sätter olika parametervärden och konstanter, samt en del rutiner som plottar slutresultat behöver anpassas för andra konstruktioner. För bron över Åby älv har vi upprepat vibrationsmätningar på intakt bro, efter att ha tillfört mindre skador och efter att ha belastat bron till brott. Detta gör den bron till en lämplig första större konstruktion att generalisera koden i Appendix D för, eftersom vi då har en möjlighet att undersöka hur små skador som kan detekteras på samma sätt som gjordes för betongplattan i Figur 9.

4.1.1 Använda derivator av målfunktionen eller ej?

Koden i Appendix D mäter “avståndet” mellan förutspådda och uppmätta moddata (modformer och -frekvenser) med en så kallad *målfunktion* (*objective function*). Ett lokalt minimum till målfunktionen söks med en optimeringsmetod (Newton Trust Region [NW06, Chapter 4]) som utnyttjar målfunktionens värde, derivator och andraderivator för att stegvis justera alla nyckelparametrar i lämplig riktning. Skulle det vara svårt att få konvergens för större konstruktioner så kan man även prova att använda liknande metoder som ej försöker utnyttja både värde, derivata och andraderivata. Detta gjordes till exempel vid en studie på Svinesundsbron [SPG09], där konvergensproblem för en gradientbaserad metod åtgärdades genom att istället använda en motsvarande algoritm som ej utnyttjar gradienten. Vi har som komplement även implementerat en metod [MLF11] (se appendix D.1 och D.3.24), som enbart utnyttjar förstaderivatorna och kan vid behov även implementera samma metod som i [SPG09] eller liknande ifall koden i Appendix D skulle ge konvergensproblem för någon större konstruktion.

4.2 Mer generell vingelmån för nioparameters kalibrering

Som beskrivits i Avsnitt 2.4.2, så är de Monte Carlo-simuleringar som gjort extremt tidskrävande och begränsade till parameteruppsättning för en bestämd accelerometer, så det vore värdefullt att även för nioparameters kalibrering komplettera med teoretiska resultat som garanterar en lägre vingelmån, men generellt för alla accelerometrar med parametervärden inom något visst spann.

4.3 Kontinuerliga mätningar

För de mätningar i forskningssyfte som beskrivits hittills så har varje enskild mätning krävt rätt stora personella, tidsmässiga och ekonomiska resurser. Detta ger möjlighet att vid varje nytt tillfälle göra olika optimeringar av mätproceduren för exakt den typ av analys man vill utföra.

På lång sikt är det önskvärt att vid underhåll eller redan vid byggandet av konstruktionen applicera in accelerometrar eller andra sensorer för kontinuerlig insamling av mätdata för kontinuerlig trendanalys av hur olika nyckelparametrar förändras med tiden för att på ett tidigt stadium kunna varna för behov av underhåll. Används batteridrivna accelerometrar som skickar mätdata trådlöst så underlättas även kontinuerliga mätningar på konstruktioner långt från annan bebyggelse. Då går kanske inte att flytta omkring och kalibrera om accelerometrar mellan mättillfällen, men i gengäld kan det finnas ett stort överflöd av mätdata. Detta kan användas till att reducera signal-brusförhållande, men samtidigt ställer det större krav på att kunna lagra och effektivt analysera väldigt stora datamängder. Med hölje format som i Figur 15 kan nya

kalibreringsmätningar snabbt genomföras till exempel i samband med batteribyte. Eftersom kalibreringen eliminerar mätfel på grund av ickeortogonala axlar respektive elektriskt läckage mellan mätriktingarna så ger detta även lägre krav på hårdvaran.

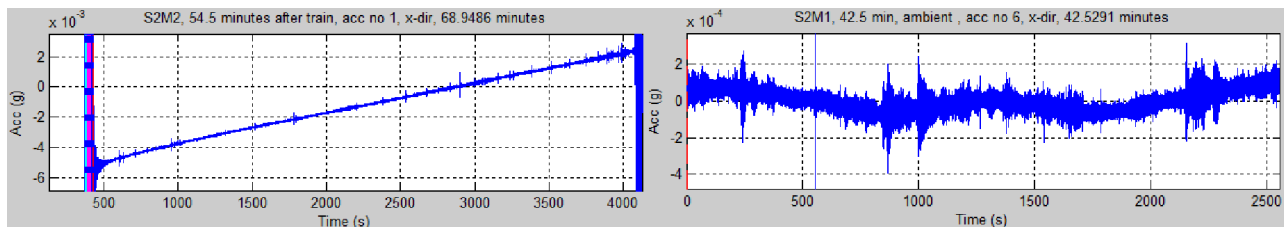
Niklas Grip undersöker just nu sådana möjligheter ihop med Fredrik Sandin på EISLAB vid Luleå Tekniska universitet. EISLAB är bra just på batteridrivna sensorer som skickar data via mobiltelefonnätet, och Fredrik har intresse för vissa tekniker för representation som kan vara intressanta att jämföra med till exempel waveletbaserade tekniker som Niklas är expert på.

4.4 Frekvensupplösning

Svängningsmoder som ligger nära i frekvens, är vanligt förekommande speciellt i “tornformade” byggnationer, men förekommer även i våra mätningar på bron över Långforsen. Då vi aldrig sett någon jämföra de påstått höga frekvensupplösningarna hos FDD och den beskrivna waveletmetoden i Avsnitt 2.1 så är detta en intressant fråga att undersöka närmare.

4.5 Korrigering av drivande mätvärden

Med den utrustning vi har så skall egentligen den uppmätta utsignalen har en nollnivå (lokalt medelvärde) som håller sig konstant, men under långa mätningar så kan det förekomma tydliga långsamma tidsvariationer hos nollnivån, som i Figur 16. Bäst vore förstås om man kan hitta och eliminera orsaken till drivande nollnivå, men för mätningar där det redan inträffat vore det bra att kunna korrigera i efterhand. Oftast ser det ut som i vänstra figuren, och då är en enkel lösning att minstakvadrat-anpassa till en rät linje och subtrahera bort den linjen. Mer sällan kan det vara som i den högra figuren, där nollnivån varierar med en tidsskala (våglängd) på ungefär 500 sekunder. Vi har än så länge klarat oss utan att använda sådana signaler, men ett möjligt sätt att korrigera är att subtrahera bort önskade långsamma variationer med samma waveletbaserade teknik som används i [GGN13].



Figur 16: Två exempel på tidssignal där “nollnivån” driver. (Från mätningar på bron över Åby älv 2012.)

APPENDIX

A Accelerometerkalibrering

Accelerometerkalibrering behövs för att kunna räkna om accelerometers utsignal (till exempel spänning i enheten volt) till motsvarande värden på den uppmätta accelerationen, till exempel i enhet antal g. Vi beskriver här detta samband samt hur kalibreringen går till. Mer detaljerad härledning, analys och diskussioner finns i [GS11, FGS12]. Vi använder enkel matrisnotation som gör det lätt att snabbt utföra motsvarande beräkningar i till exempel MATLAB.

Utsignalen från en treaxlig accelerometer ordnas i en matris

$$\mathcal{V} = \begin{pmatrix} V_{x,1} & V_{x,2} & V_{x,3} & \cdots & V_{x,N} \\ V_{y,1} & V_{y,2} & V_{y,3} & \cdots & V_{y,N} \\ V_{z,1} & V_{z,2} & V_{z,3} & \cdots & V_{z,N} \end{pmatrix}.$$

Med hjälp av nio parametrar α_m, b_m, g_m kan motsvarande värden för den verkliga acceleration skrivas som matrisen

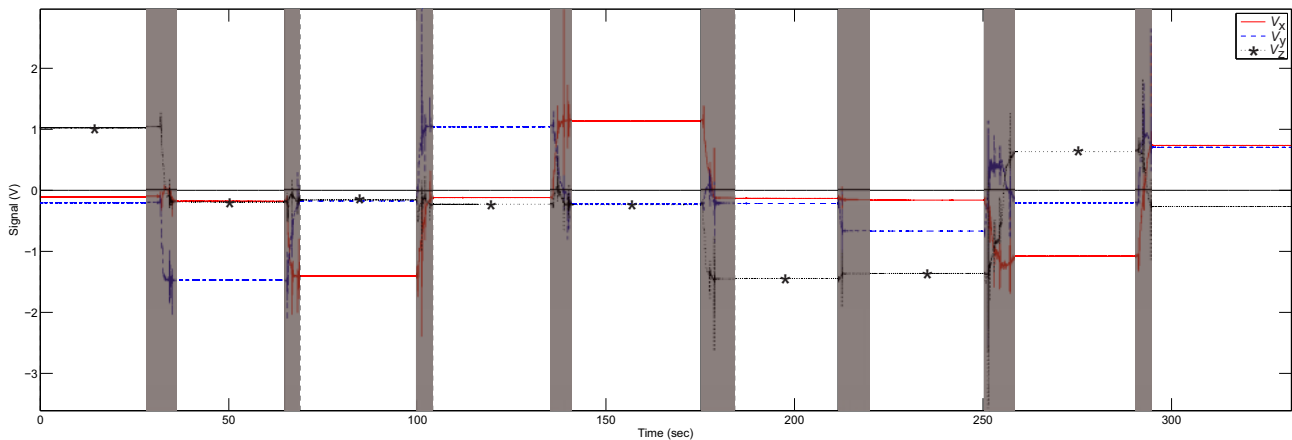
$$\mathcal{A} = F(\mathcal{V} - B), \quad \text{med} \quad F = \begin{pmatrix} \frac{1}{g_1} & 0 & 0 \\ \frac{\alpha_3}{g_1} & \frac{1}{g_2} & 0 \\ -\frac{\alpha_2}{g_1} & \frac{\alpha_1}{g_2} & \frac{1}{g_3} \end{pmatrix} \quad \text{och} \quad B \stackrel{\text{def}}{=} \underbrace{\begin{pmatrix} b_1 & b_1 & \cdots & b_1 \\ b_2 & b_2 & \cdots & b_2 \\ b_3 & b_3 & \cdots & b_3 \end{pmatrix}}_{N \text{ kolumner}}. \quad (1)$$

Sambandet (1) beror enbart av sex parametrer i specialfallet $\alpha_1 = \alpha_2 = \alpha_3 = 0$, som motsvarar en accelerometer med perfekt vinkelräta axlar och ingen elektriskt läckage mellan de tre mätriktningarna. Parametrarna kan mätas och räknas ut på följande sätt:

1. Gör mätningar med accelerometern i vila i sex respektive nio olika positioner (samma som antalet skattade parametrar).
2. För brusreducering räknas tidsmedelvärde ut för vart och ett av de sex eller nio tidsintervallen. Se Figur 17.
3. Placera dessa medelvärden i en 3×6 - eller 3×9 -matris V och gör sedan en av följande:

Sexparameters kalibrering: Bilda matrisen

$$V^+ \stackrel{\text{def}}{=} [P_2(V^T) \quad V^T] \quad \text{med elementvis kvadrering} \quad (P_2(M))_{m,n} \stackrel{\text{def}}{=} M_{m,n}^2.$$



Figur 17: Mätdata för de tre mätriktningarna med accelerometern placerad i vila i nio olika positioner. De gråmarkerade områdena tas bort från mätningarna och för varje kvarvarande tidsintervall räknas tre tidsmedelvärden ut.

Räkna ut $\mathbf{u} \stackrel{\text{def}}{=} [u_1 \ u_2 \ u_3 \ w_1 \ w_2 \ w_3]^T$ sådant att $V^+ \mathbf{u} = \mathbf{1}$. De sökta parametrarna är

$$b_m = -\frac{w_m}{2u_m} \quad \text{och} \quad g_m = \sqrt{\frac{1 + \sum_{k=1}^3 \frac{w_k^2}{4u_k}}{u_m}}. \quad (2)$$

Nioparameters kalibrering: Låt V^+ vara 9×9 -matrisen med nte raden

$[V_{1,n}^2 \ V_{2,n}^2 \ V_{3,n}^2 \ V_{1,n}V_{2,n} \ V_{1,n}V_{3,n} \ V_{2,n}V_{3,n} \ V_{1,n} \ V_{2,n} \ V_{3,n}]$. Lös ekvationen $V^+ \mathbf{u} = \mathbf{1}$. För matrisen

$$U \stackrel{\text{def}}{=} \begin{pmatrix} 2u_1 & u_4 & u_5 \\ u_4 & 2u_2 & u_6 \\ u_5 & u_6 & 2u_3 \end{pmatrix} \quad \text{sätt} \quad \Omega' \stackrel{\text{def}}{=} 1 + \frac{1}{2} (u_7 \ u_8 \ u_9) U^{-1} \begin{pmatrix} u_7 \\ u_8 \\ u_9 \end{pmatrix}.$$

De sökta parametrarna α_m, b_m, g_m är

$$\begin{bmatrix} b_1 \\ b_2 \\ b_3 \end{bmatrix} = -U^{-1} \begin{bmatrix} u_7 \\ u_8 \\ u_9 \end{bmatrix} \quad (3a)$$

$$g_1 = \sqrt{\frac{2(4u_2u_3 - u_6^2)\Omega'}{\det(U)}}, \quad g_2 = 2\sqrt{\frac{u_3\Omega'}{4u_2u_3 - u_6^2}}, \quad g_3 = \sqrt{\frac{\Omega'}{u_3}}, \quad (3b)$$

$$\alpha_1 = \frac{u_6 \operatorname{sgn}(\Omega')}{\sqrt{4u_2u_3 - u_6^2}}, \quad \alpha_2 = -\frac{u_5 \sqrt{4u_2u_3 - u_6^2} \operatorname{sgn}(\Omega')}{\sqrt{2u_3 \det(U)}}, \quad \text{och} \quad \alpha_3 = \frac{2u_3u_4 - u_5u_6}{\sqrt{2u_3 \det(U)}}. \quad (3c)$$

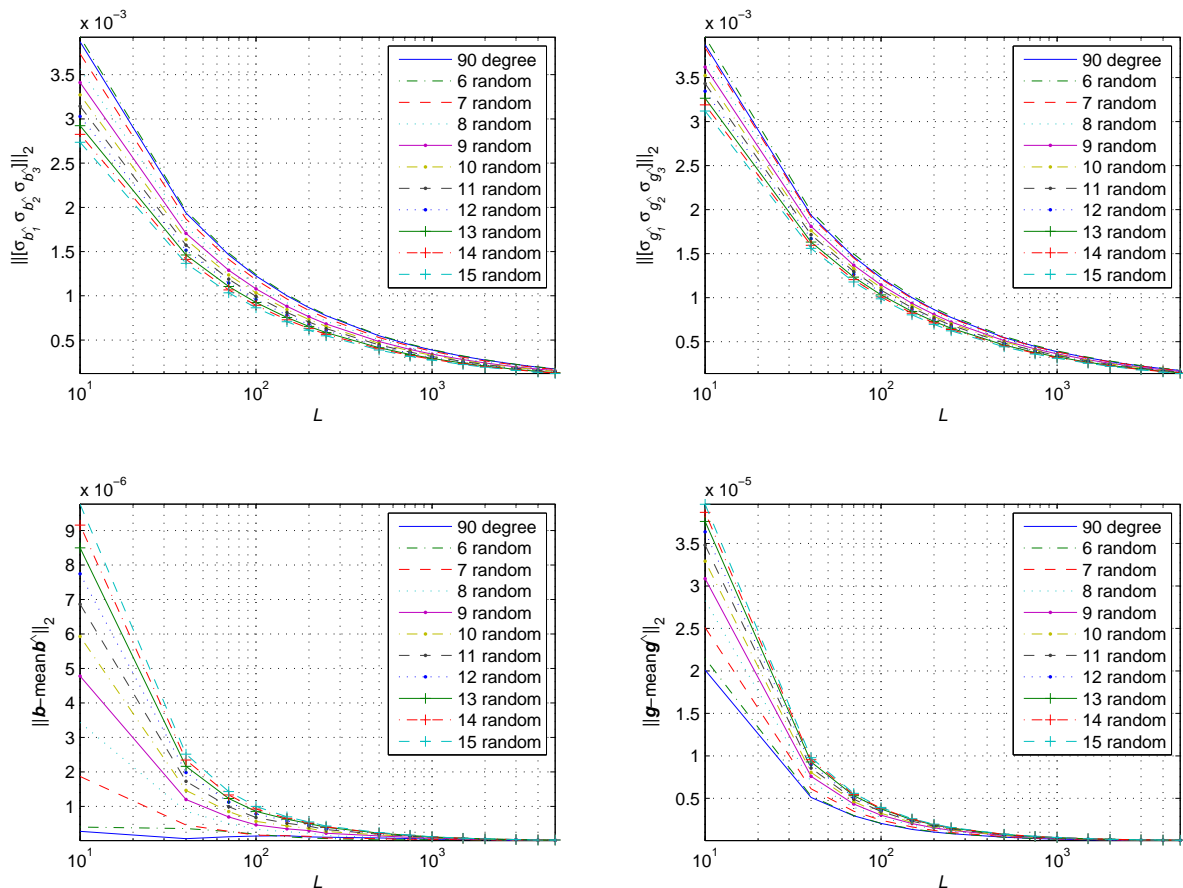
A.1 Monte Carlo-simuleringar för sexparameters kalibrering

För en accelerometer med parametervärden b_g, g_m samma som för en av våra accelerometrar, men perfekt vinkelräta mätriktningar och inget elektriskt läckage mellan dessa har vi gjort omfattande Monte Carlo-simuleringar. Vi simulerade med brusnivåer samma som Figur 18 visar medelvärde och spridning (standardavvikelse) för felet i de uträknade parametrarna. För varje position av accelerometern tas medelvärde av L sampelvärden (jämför Figur 17). Större L motsvarar alltså lägre brusnivå efter medelvärddestagning. De heldragna kurvorna ("90 degrees") i Figur 18 visar hur felet i parameterskattningen avtar med ökande L för ett idealt fall då accelerometern placeras exakt i de sex önskade positionerna med två av mätaxlarna i horisontalplanet. De punktstreckade kurvorna ("6 random") visar motsvarande resultat för en mer realistisk simulering, där varje mätning gjordes med en slumpartad avvikelse med upp till 10 grader från önskad position, vilket är ungefär vad man kan vänta sig vid snabba kalibreringsmätningar i fält, till exempel med utrustningen i Figur 14. Skattningsfelet blir då bara marginellt större. Övriga plottade kurvor visar att om man upp till 10 graders positioneringsfel D och offerar mer tid på att göra fler mätningar (totalt 7–15 stycken) med accelerometern ställd i ytterligare slumpvis valda positioner så kan felet reduceras ytterligare. (Kalibreringsräkningarna modifieras då till en minstakvadratlösning av ekvationen $V^+ \mathbf{u} = \mathbf{1}$, se [GS11].)

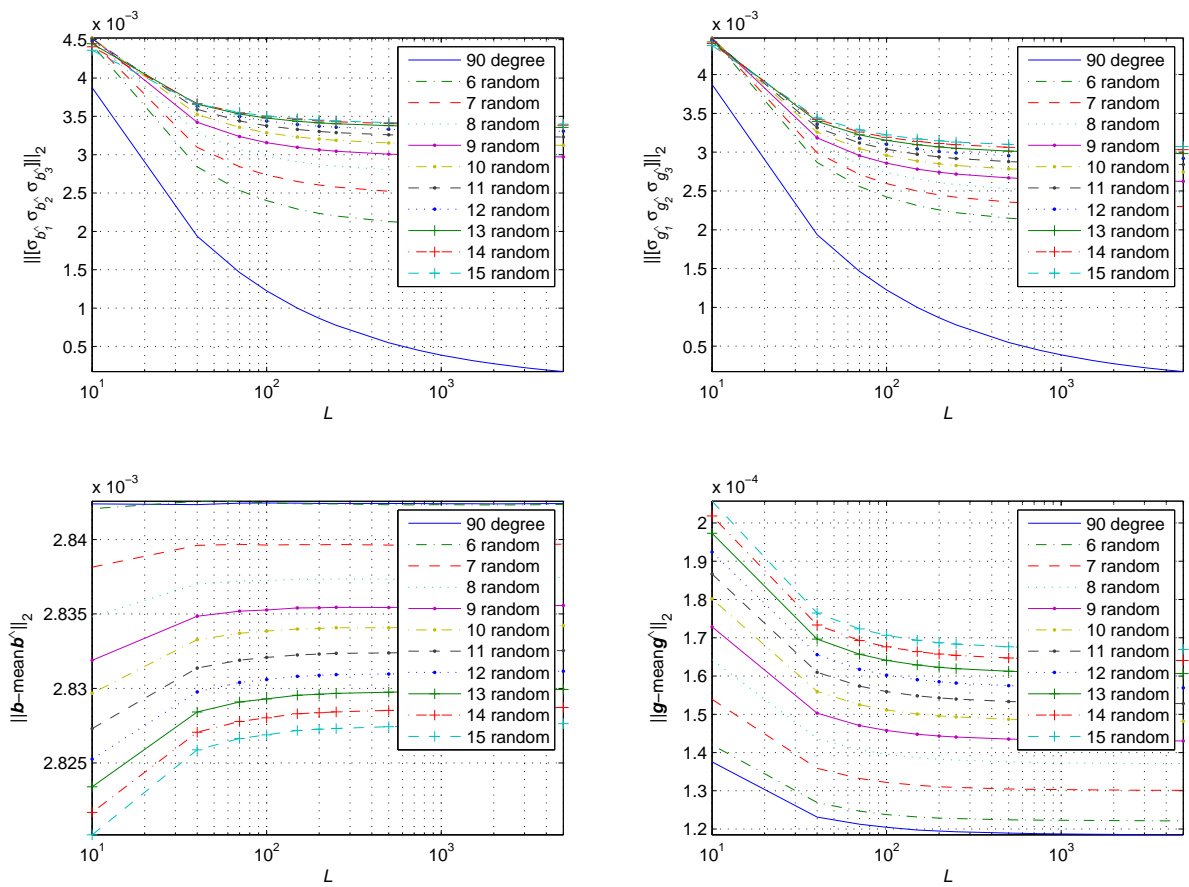
Verkliga accelerometrar har dock elektriskt läckage mellan de olika mätriktningarna. Detta anges till 0.5 % i databladen för de accelerometrar vi själva avnär. Läger man in samma läckage i simuleringarna så får kurvorna i Figur 19. Man ser där att medelvärden över större antal sampel L inte längre reducerar estimeringsfelet lika mycket. Istället behövs nioparameters kalibrering, där de tre extra parametrarna beskriver just den kombinerade effekten av elektriskt läckage och motsvarande läckage på grund av icke perfekt vinkelräta axlar.

A.2 Monte Carlo-simuleringar för nioparameters kalibrering

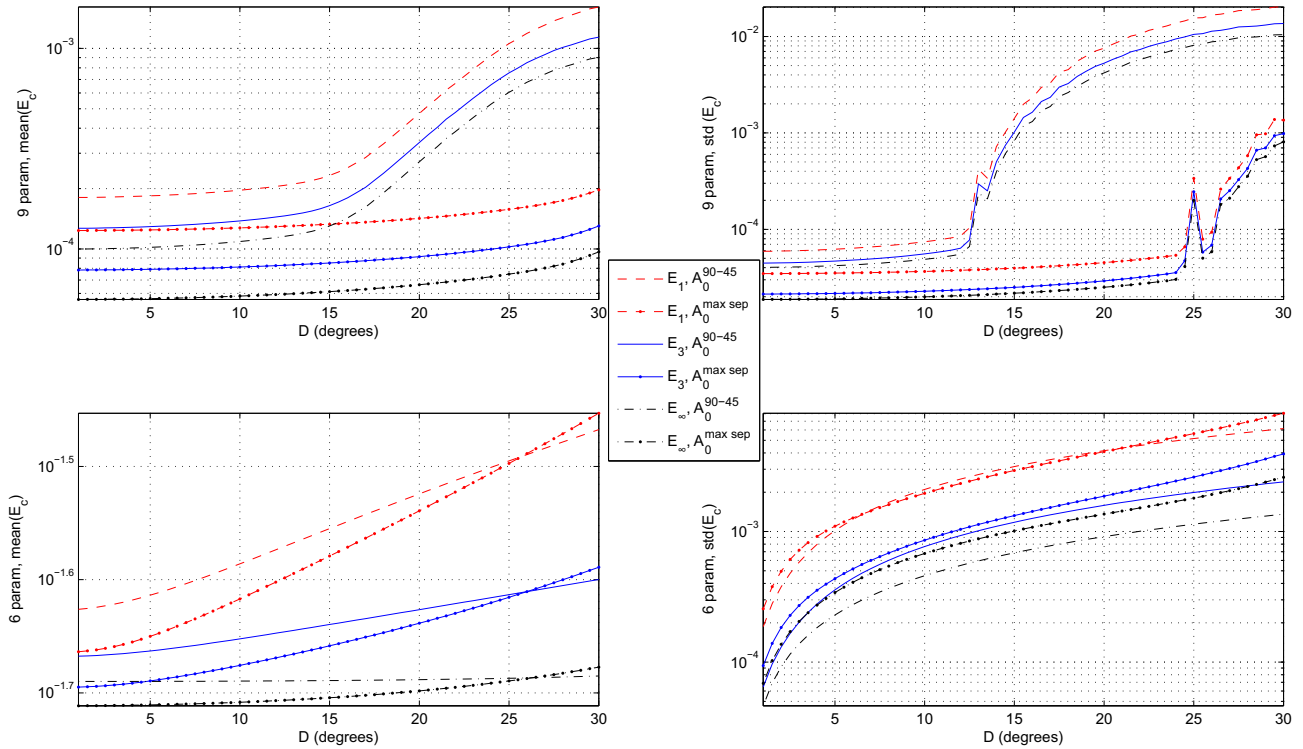
För nioparameters kalibreringar har vi gjort omfattande simuleringar som beskrivs mer i detalj i [FGS12]. Vi väljer där att plotta ett mått på hur stort relativa mätfelet blir efter accelerometerkalibrering. Vi kallar det mätfelet E_3 för mätning av acceleration nära 1 g (vanligt vid accelerationsmätningar på stillastående konstruktioner) och plottar även två motsvarande relativa fel, E_1 för mätning av mindre accelerationer och E_∞ för mätning av extremt stora accelerationer. Se [FGS12] för detaljer. Figur 20 visar att nioparameters kalibrering ger betydligt mindre mätfel efter kalibrering. För varianten med 90- och 45-gradersvridningar, som i Figur 14 (e), så ger slumpvisa avvikelser från dessa önskade positioner med upp till 13 grader marginell påverkan på mätfelet. Med motsvarande mätpositioner enligt Figur 15 så ökar den vingelmånen till ca 23 grader och mätfelet efter kalibrering blir aningen mindre.



Figur 18: Medelvärde och spridning (standardavvikelse σ) för estimeringsfelet i skattning av parametrarna b_m, g_m . Resultat av Monte Carlo simulering (127 300 000 iterationer) med samma brusnivå som i verkliga mätningar, men idealiserat fall med perfekt vinkelräta mätaxlar och inget elektriskt läckage mellan mätriktningarna. Genom att mäta längre i varje position ta medelvärde av ett större antal sampelvärden L , så reduceras brusnivån och estimeringsfelen.



Figur 19: Samma som Figur 18, men nu med elektriskt läckage mellan mätriktningarna. (44 750 000 Monte Carlo-iterationer.)



Figur 20: Relativa mätfelet för en accelerometer efter kalibrering, E_3 för accelerationer nära 1 g, E_1 för mindre och E_∞ för mätning av extremt stora accelerationer. Resultat från Monte Carlo-simulering (114 892 520 iterationer) med parametrar och läckage mellan mätriktningar typiska för våra egna Colibrys SF3000L accelerometrar, samt brusnivå typisk för verkliga mätningar i fält.

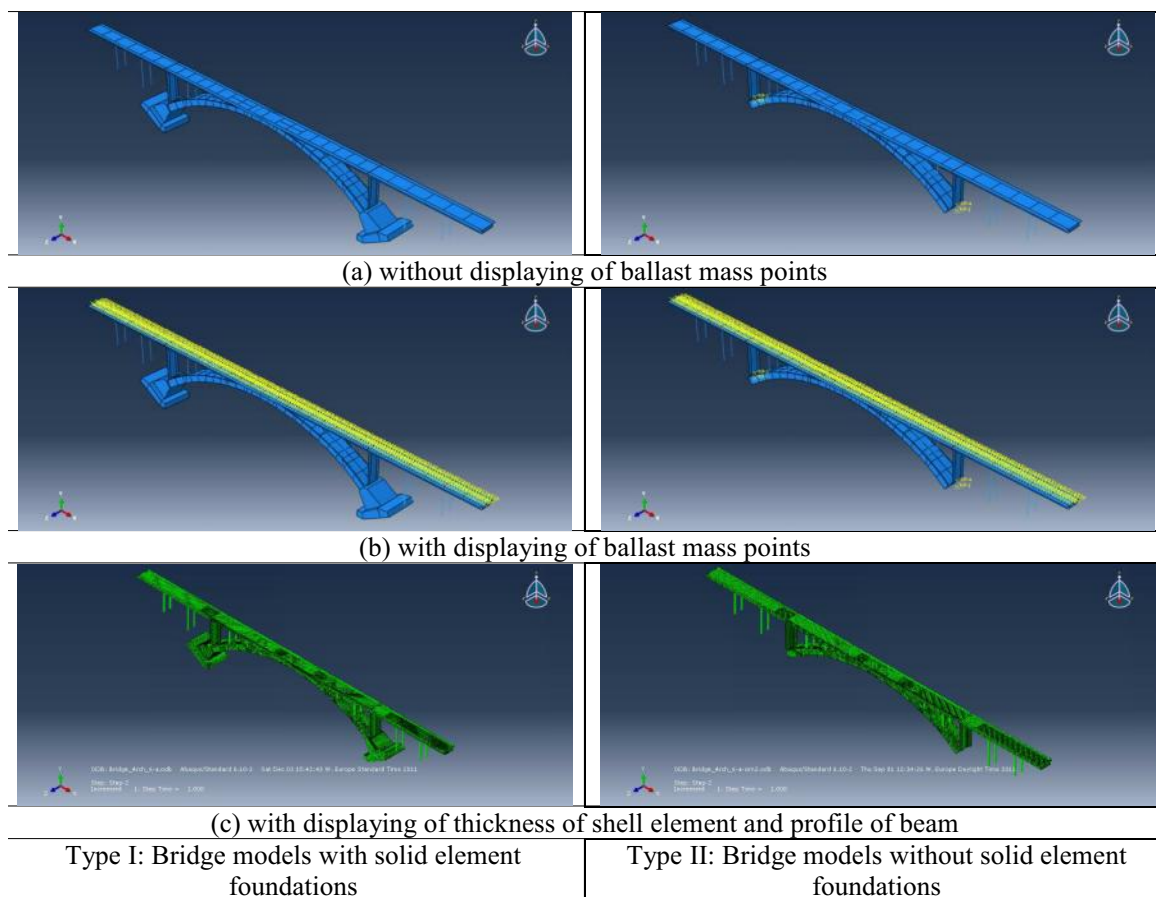
Övre plottarna visar medelvärde (vänster) och spridning eller standardavvikelse (höger) för mätfelet efter nioparameters kalibrering. Nedre plottarna visar motsvarande för sex parametrar. Mätfelet blir flera tiopotenser mindre för nioparameters kalibrering. Med mätutrustningen i Figur 14 (e) fås väldigt små ändringar av mätfelet vid slumpvisa avvikelser upp till ca 12 grader från de önskade positionerna. Motsvarande för mätpositioner $A_0^{\max \text{ sep}}$ som ges av mätverktyg format som i Figur 15 ökar den “vingelmånen” från 12 upp till cirka 23 grader och ger generellt mnågot mindre mätfel.

B Bromätningar

B.1 Bron över Långforsen

Järnvägsbron över Långforsen utanför Kalix är en 177 meter lång och 60 meter hög betongbro som byggdes 1960 (se Figur 13). Då brons ägare Trafikverket ville öka tillåten hastighet samt öka högsta tillåtna axellasten från 225 till 300 kN, så utfördes 2011–2012 vibrationsmätningar samt mätningar av nedböjning och töjning under tågpassage vid olika hastigheter. Det var oklart om det var tillräckligt med vind för att excitera fria vibrationer starka nog för modalanalys. Som helgardering så lät vi därför ett lok passera precis före varje mätning (se övre högra bilden i Figur 13, sidan 16). Själva lokpassagen kan ej ingå i de analyserade mätningarna, då till exempel slamrande hjul mot räls och broändar mot fundament kan ge olika icke-linjära effekter och ett annorlunda fysikaliskt system än de finita elementmodeller som mätningarna skall jämföras mot.

Vinden avtog drastiskt under mätdagarna, vilket ger gradvis sämre signal-brusförhållande, men fortfarande tillräckligt för att ge mycket bättre överensstämmelse mellan uppmätta och svängningsmoder än vi kunde få med mätningarna från 2009. Vi sammanfattar arbetet och några huvudresultat här. En mer övergripande beskrivning finns bland annat i konferensbidraget [SGP⁺12] (bifogat som Appendix C).



Figur 21: Översikt över de två bromodellerna. Fundamenten för bropelarna har en enklare modellering med fjädrar i den enklare modellen till höger.

Finita elementmodeller

Gästprofessor Yongming Tu gjorde två finita elementmodeller av bron i Abaqus/Brigade. En som inkluderar detaljerad modell av fundamenten för bropelarna, och en enklare modell där fjädrar används för att modellera randvillkoren vid de fundamenten. Se Figur 21.

Den förstnämnda modellen är mer lik den verkliga konstruktionen så de vibrationsmoder som förutsågs av den modellen kan förväntas ligga närmare uppmätta vibrationer, men kostnaden för detta är en större och mer tidskrävande modell, totalt 93 910 element och 438 800 variabler, vilket reduceras till 47 438 element och 282 808 variabler med den enklare modellen.

Analys och slutsatser

Från uppmätta vibrationer har brons svängningsmoder och frekveser räknats ut med metoderna *frequency domain decomposition* [BZA01, BVA01] och *stochastic subspace identification* [PDR01, OM96] i programmet ARTeMIS. Manuell uppdatering av finita elementmodellerna gjordes genom jämförelser av uppmätta och förutspådda svängningsmoder, töjning och nedböjningar.

Båda finita elementmodellerna ger efter detta egenfrekvenser och nedböjningar nära de som uppmättes vid verkliga tågpassager. En jämförelse gjordes av några av de uppmätta och förutspådda töjningarna i en sektion av de övre balkarna som bär upp plattan och rälsen nära bågens mittsektion. Den delen av bron hade varit den kritiska vid tidigare tillståndsbedömningar av bron. Största uppmätta och förutspådda töjningen under passage av ett lok med axellast 180 kN var nära varandra och av storleksordningen $\Delta\epsilon = 20 \cdot 10^{-6}$, motsvarande ett tryck av storleksordning $\Delta\sigma = 4$ MPa.

Metoder för att bedöma hur stora laster en bro kan bära har utvecklats i EU-projektet Sustainable Bridges [Sus08, HZE⁺08], och de metoderna har använts här. Tidigare undersökningar hade visat att bron klarade en axellast på 330 kN. De enda kritiska delarna var lokaliserade i plattan på bågens topp: (1) vid själva kontaktytan med bågen där det är stora spänningar i de översta armeringarna ; och (2) i transversell riktning (sidled) mellan de stödjande pelarna, där de undre armeringarna utsätts för starka spänningar. Vi har undersökt dessa delarna i finita elementmodellen för olika laster och preliminära resultat gav låga spänningar av storleksordningen 10 MPa de kritiska delarna och vertikala nedböjningar vid bågens topp av storleksordning ± 5 mm, vilket indikerar att bron klarar en axellast 330 kN utan problem.

B.2 Bron över Åby älv

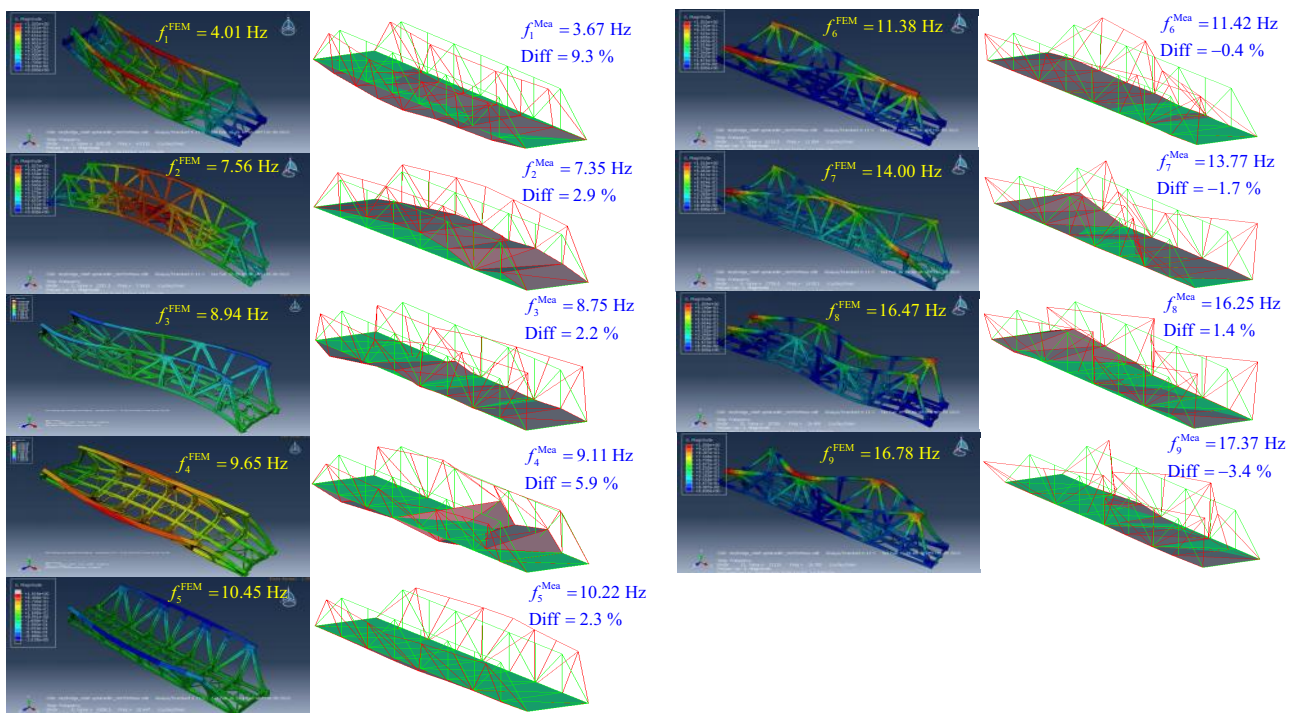
Då trafikverket under 2012 skulle byta ut en järnvägsbro över Åby älv så gjordes 2012–2013 en serie tester och mätningar som kommer att redovisas närmare bland annat i EU-projektet MAINLINE [Mai11]. Första serien vibrationsmätningar gjordes September 2012 medan bron fortfarande var i bruk (Figur 13, sidan 16). Accelerometrarna placerades då i totalt 10 mätpunkter på övre balkarna och 8 på undre längsgående balkar. På grund av närhet till högspänningsledningar så fick accelerometrarna ej placeras ovanpå de övre balkarna, utan fästes med tvingar på insidan av balkarna. Det var osäkert om enbart vind och älv kunde excitera tillräckligt med fria svängningar för modalanalys, så varje mätning påbörjades direkt efter en tågpassage för att även tillföra svängningar exciterade av tågpassage i början av varje mätning. Signalerna såg relativt brusiga ut vid plot av spektrum, men nio vibrationsmoder kunde identifieras och dessa jämfördes mot en noggrann finita element modell av bron som gästprofessor Yongming Tu utvecklat. Frekvenserna skilde som mest 9,3 % för första moden, 5,9 % för den fjärde och låg mellan 0,4 % och 2,9 % för de övriga. Se jämförelse av modformer och frekvenser i Figur 22 för

den första mätomgången då bron fortfarande var i bruk och fria vibrationer efter tågpassager mättes.

När den nya bron installerades placerades den gamla på land med samma typ av infästning av broändarna som tidigare. Nya mätningarna gjordes nu i samarbete med forskare från Avdelningen för bro- och stålbyggnad vid KTH under ledning av Dr. Andreas Andersson, samt en polsk forskargrupp ledd av professor Jarosaw Zwolski vid Wroclaw tekniska universitet i Polen. De hade med sig en shaker som användes för excitering av bron. Första testkörningen avslöjade lösa fästen som gjorde att rälsen slog mot resten av bron samtidigt som även gallerdurk och några mindre balkar längs sidorna slamrade. Detta ger okända insignaler där räls, balkar, gallerdurk och bro slår mot varandra, men för excitering med shaker är det viktigt att shakern är den enda insignalen av betydelse och att den insignalen mäts och kan användas i efterföljande modalanalys av bronns frekvenssvar (se [CJK06, Avsnitt 18.6.1]). Därför svetsades rälsen fast kring shakern och lös gallerdurk och småbalkar monterades bort, som visas i Figur 23.

Efter detta fungerade exciteringen som önskat, och vibrationsmätningar tog vid med treaxliga accelerometrar från Luleå, enaxliga från polen, samt en- och tvåaxliga från KTH, se Figur 23. Individuell kalibrering av de olika accelerometrarna (enligt avsnitt 2.4 och Appendix A för de treaxliga) säkerställer dock att få mätdata i samma enhet (antal g) från samtliga så att de olika mätningarna kan kombineras.

De nya vibrationsmätningar gjordes med accelerometrarna placerade i 41 stycken mätpunkter enligt Figur 25. För varje mätuppställning kördes en cyklisk belastning med exciteraren där frekvensen varierades kontinuerligt från 3-20 Hz under 25 min. Data samlades in med en samplingsfrekvens på 800 Hz. Fullständig modalanalys är ännu ej utförd, men Figur 24 visar frekvenssvaret (Frequency Response Function) för två mätpunkter i närheten av exciteraren. En

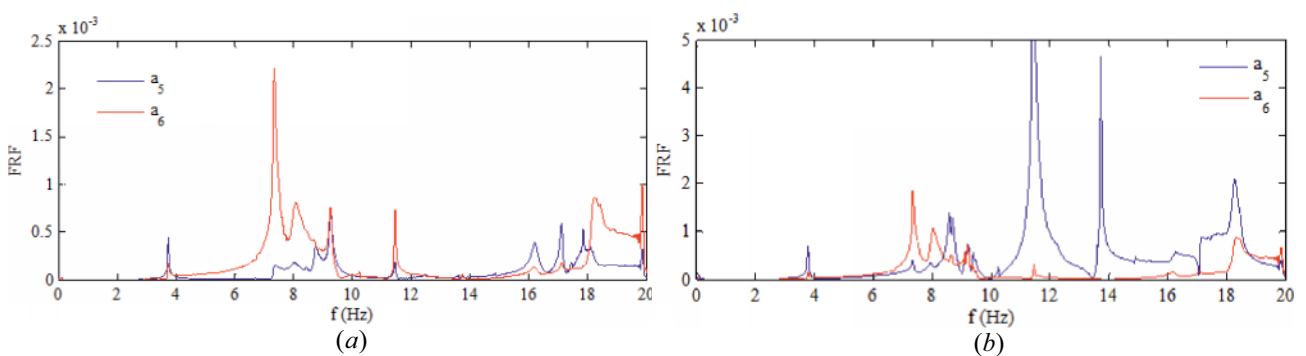


Figur 22: För bron över Åby älv har modformer och frekvenser förutspått av FEM-modell. Dessa jämförs här mot de som fås ur modalanalys i ARTeMIS av uppmätta fria vibrationer medan bron var i bruk. Differensen i mellan uppmätta och förutspådda modfrekvenser ligger under 3,4 % för alla modsvängningar utom två.



Figur 23: Bild 1–5: Vid mät punkt 35 i Figur 25 placerades den polska forskargruppens shaker. Lösa fästen för rälsen ersattes med svetsfogar. Skallrande gallerduk och småbalkar plockades bort.

Bild 6–7: Vibrationsmätningar gjordes med accelerometrar från både Luleå, KTH och Polen. De från Luleå är treaxliga och kalibrerades med den metod som beskrivs i avsnitt 2.4 och Appendix A.

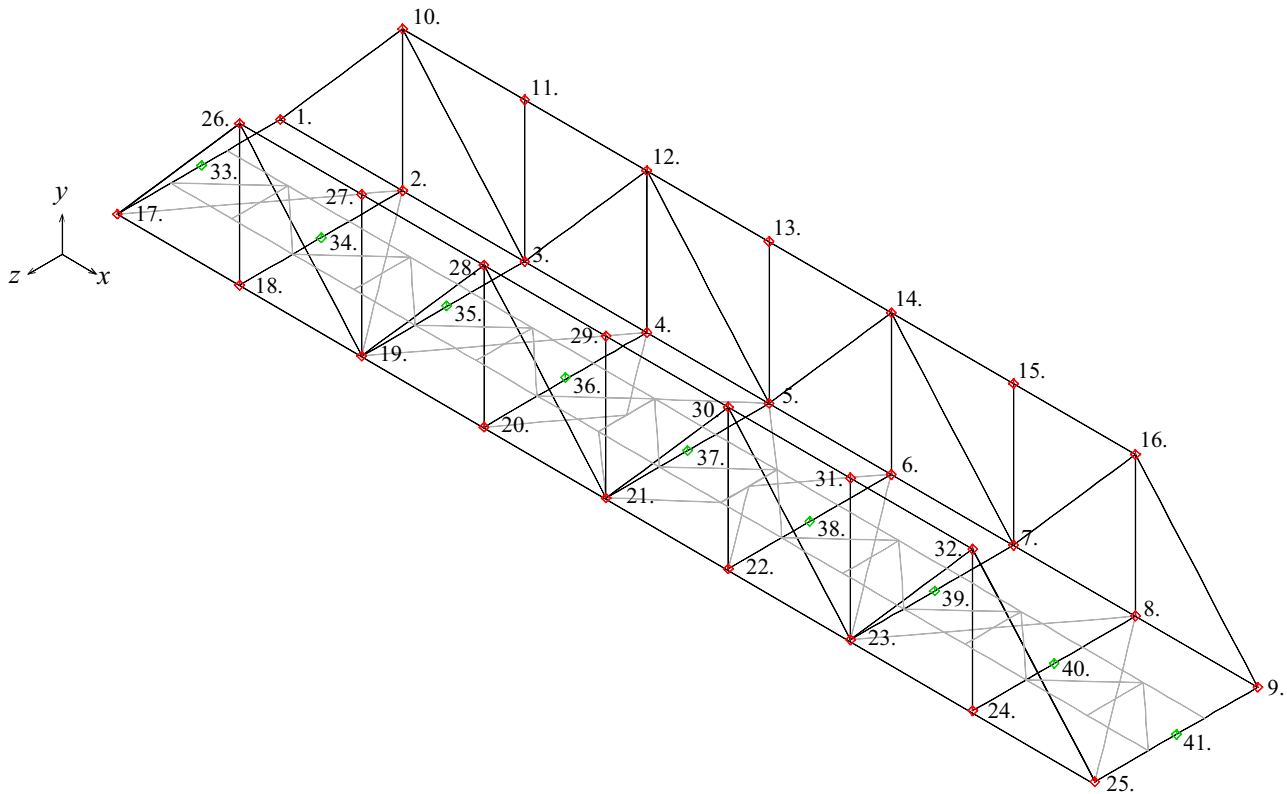


Figur 24: (a) FRF i horisontell (a5) och lodrät (a6) riktning för mät punkt 3 i Figur 25.

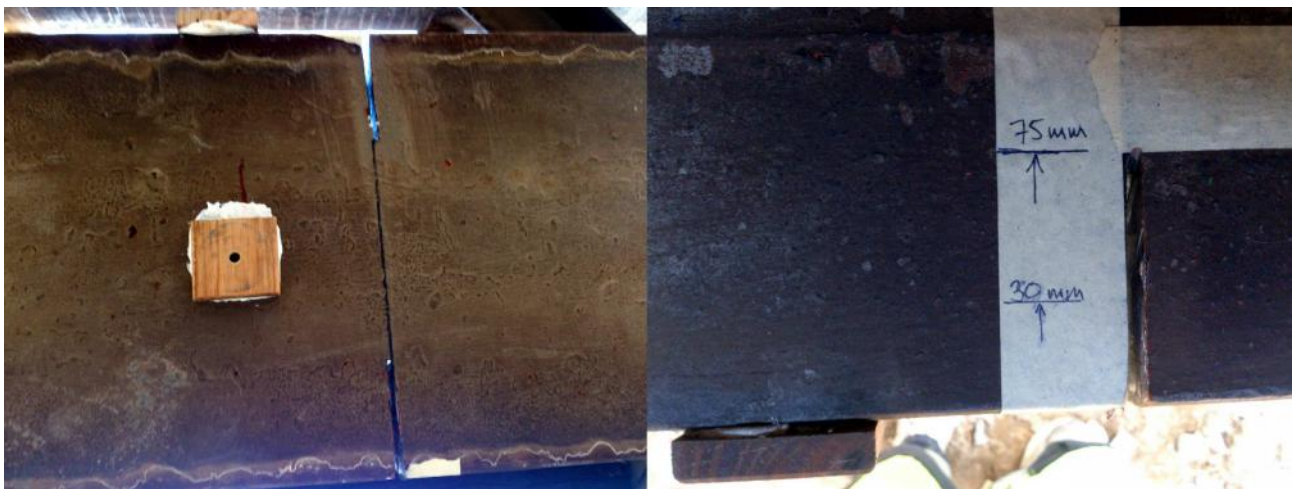
(b) FRF i horisontell (a5) och lodrät (a6) riktning för mät punkt 11 i Figur 25.

närmare studie i Figur 24 (a) visar moder ungefär vid 3,7 Hz, 7,4 Hz, 8,1 Hz, 8,7 Hz, 9,3 Hz, 11,4 Hz, 16,2 Hz och 17,3 Hz. Uppskattad dämpning för första och andra moden är 0,4 % och 0,6 % baserat på Half-Power Bandwidth metoden och kurvanpassning i frekvensdomän. Motsvarande studie i Figur 24 (b) visar moder vid ungefär samma frekvenser, till exempel vid 3,8 Hz för första moden.

Samma mätningar upprepades sedan två gånger efter att ha tillfört två nivåer av mindre konstgjord skada mitt på den undre tvärgående balken vid mätpunkt 35, se Figur 26. Bron be-



Figur 25: Mätpunkter för bron över Åby älv.



Figur 26: Två små skador med djup 30 respektive 75 mm tillfördes vid mätpunkt 35 i Figur 25.

lastades slutligen till brott, se Figur 27. Efter detta gjordes en sista omgång vibrationsmätningar på 20 av mätpunkterna i Figur 25. Vid dessa mätningar fanns ingen shaker kvar på plats, så nu mättes enbart fria vibrationer, exciterade av dels vind (hyfsat stark på morgonen men svag på kvällen) och förbipasserande tåg. Då tågen passerade på järnvägen intill bidrog de med vibrationer som var tillräckligt starka för att kännas i marken och excitera bron, men inte så starka att de bedömdes kunna störa mätningarna av de fria vibrationerna. Därmed kunde två till tre tågpassager per mätning ingå. Vid något måttillfälle så provades även manuell excitering med slumpvisa hammarslag runt om på bron sista 5-10 minuterna. Analysresultaten blev dock sämre om hammarslagen inkluderades, och det var bra signal-brusförhållande även utan dessa. Modalanalys med ARTeMIS gav modformer och frekvenser som visas i Figur 28 och 29. Inom parantes anges där nummer för motsvarande vibrationsmoder i motsvarande modform i Figur 22. Tabell 1 jämför modfrekvenserna i de tre figurerna. För att se huruvida ändringar



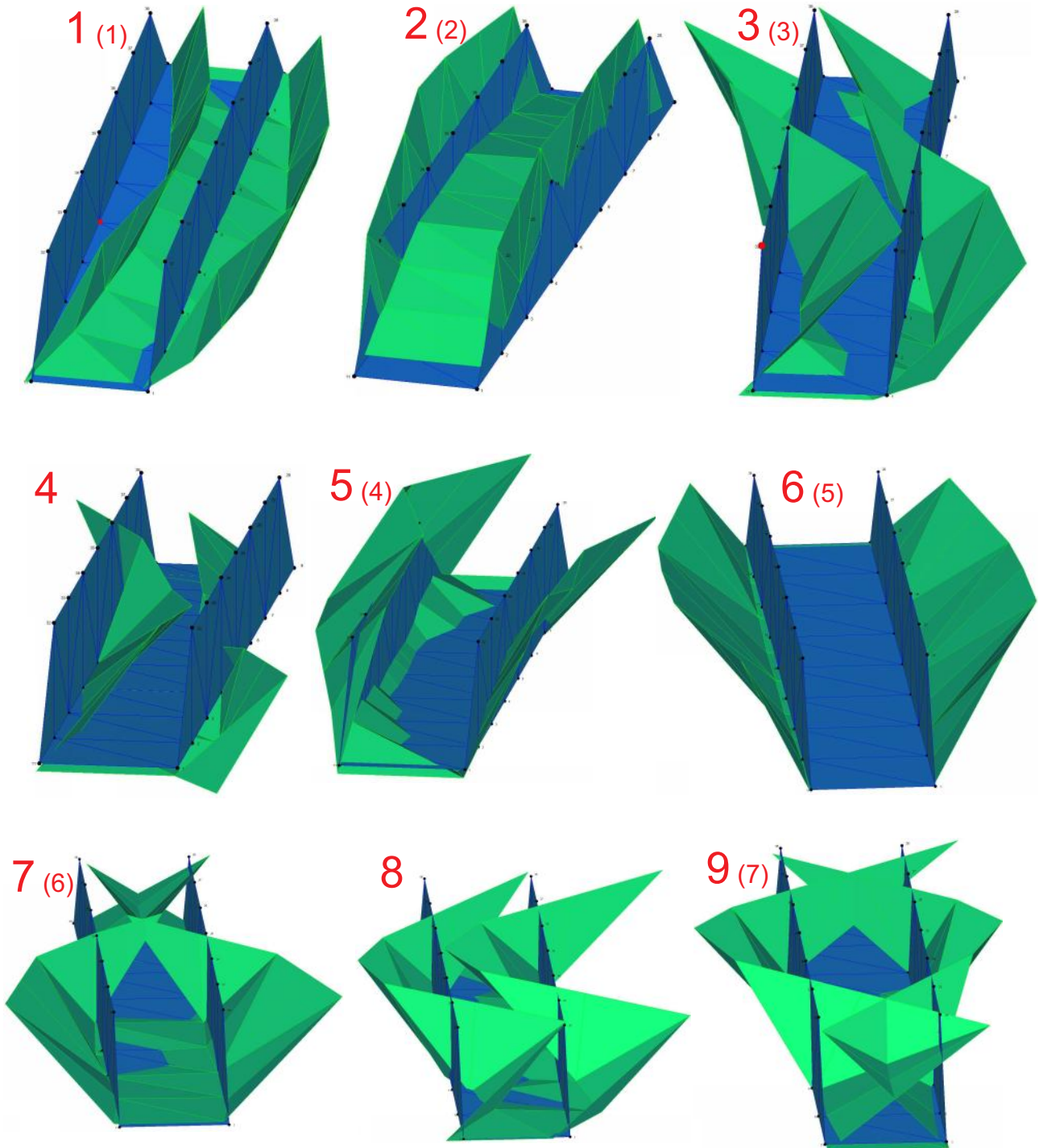
Figur 27: Bron utsattes avslutningsvis för gradvis ökad belastning upp till 1329 ton, då plastisk deformation inträdde. Övre balkarna vek sig inåt, flänsarna på de undre balkarna under domkrafterna vek sig och även betongfundamenten som bron vilade på hade fått sprickor.

Tabell 1: Jämförelse av modfrekvenser i Figur 22, 28 och 29.

Från FEM	Hel bro	Knäckt bro, CFDD	Knäckt bro, SSI-CVA
4,01	3,67	3,90	3,90
7,56	7,35	6,71	6,72
8,94	8,75	8,73	8,72
9,65	9,11	9,26	–
10,45	10,22	10,30	10,30
11,38	11,42	11,6	11,6
14,00	13,77	13,9	13,9
16,47	16,25	–	16,3
16,78	17,37	–	17,34

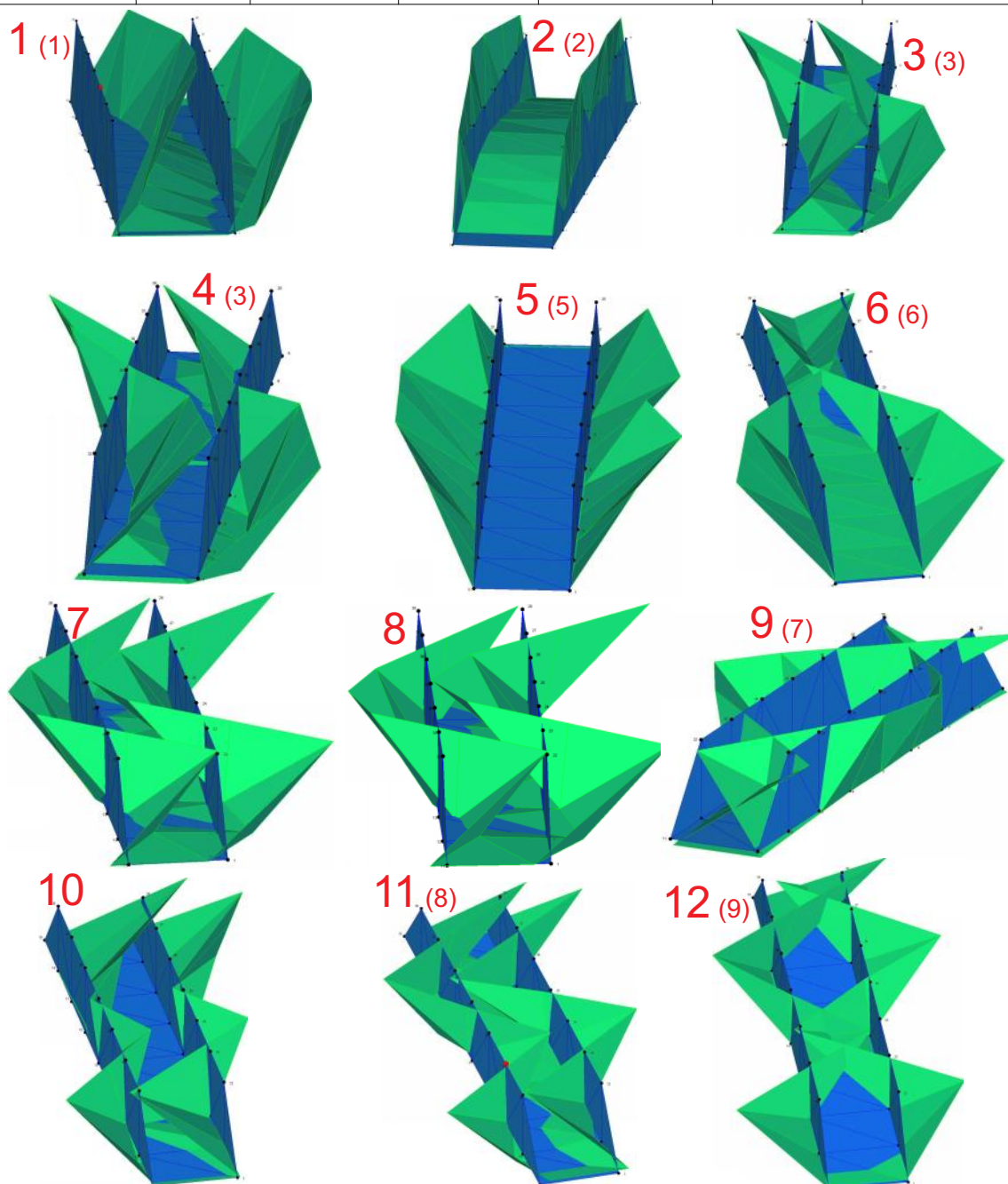
i modformer och de relativt små ändringarna i frekvenser räcker för att lokalisera skadorna, så kommer MATLAB-koden i Appendix D att modifieras för att kunna köras även på bron. Huvudalgoritmen för att lösa själva optimeringsproblemet är oberoende av konstruktionens geometri, men andra modifieringar som krävs beskrivs i Avsnitt 3 och 4.1.

Mode	Frequency [Hz]	Std. Frequency [Hz]	Damping Ratio [%]	Std. Damping Ratio [%]	Comment	Creation Date & Time
CFDD Mode 1	3.898	0.02556	0.36	0.06975	Found Automatically	10-11-2013 01:54:52
CFDD Mode 2	6.713	0.04558	0.5256	0.1588	Found Automatically	10-11-2013 01:54:52
CFDD Mode 3	8.732	0.06455	0.2305	0.06409	Found Automatically	10-11-2013 01:54:52
CFDD Mode 4	8.954	0.07091	0.09873	0.05554	Found Automatically	10-11-2013 01:54:52
CFDD Mode 5	9.258	0.01468	0.1168	0.09546	Found Automatically	10-11-2013 01:54:52
CFDD Mode 6	10.3	0.01827	0.1941	0.09297	Found Automatically	10-11-2013 01:54:52
CFDD Mode 7	11.6	0.01042	0.08672	0.04438	Found Automatically	10-11-2013 01:54:52
CFDD Mode 8	12.74	0.08638	0.7925	0.2073	Found Automatically	10-11-2013 01:54:52
CFDD Mode 9	13.88	0.02577	0.09504	0.01583	Found Automatically	10-11-2013 01:54:52



Figur 28: Modformer och frekvenser motsvarade de i Figur 22 men efter att ha belastat bron till brott. Analyserat i ARTeMIS med metoden "Curve-fit Frequency Domain Decomposition". Inom parentes anges nummer för motsvarande modform i Figur 22.

Mode	Frequency [Hz]	Std. Frequency [Hz]	Damping Ratio [%]	Std. Damping Ratio [%]	Comment	Creation Date & Time
SSI-CVA Mode 1	3.895	0.02767	0.5528	0.7182	Found automatically	10-11-2013 00:12:56
SSI-CVA Mode 2	6.724	0.03804	0.9463	0.8092	Found automatically	10-11-2013 00:12:56
SSI-CVA Mode 3	8.724	0.0516	0.7423	0.4062	Found automatically	10-11-2013 00:12:56
SSI-CVA Mode 4	8.729	0.05225	0.7224	0.4155	Found automatically	10-11-2013 00:12:56
SSI-CVA Mode 5	10.3	0.01647	0.3064	0.2695	Found automatically	10-11-2013 00:12:56
SSI-CVA Mode 6	11.6	0.02049	0.2569	0.3276	Found automatically	10-11-2013 00:12:56
SSI-CVA Mode 7	12.74	0.1516	1.555	0.8122	Found automatically	10-11-2013 00:12:56
SSI-CVA Mode 8	12.76	0.1138	1.457	0.7543	Found automatically	10-11-2013 00:12:56
SSI-CVA Mode 9	13.88	0.02652	0.1575	0.116	Found automatically	10-11-2013 00:12:56
SSI-CVA Mode 10	15.11	1.886	1.435	0.646	Found automatically	10-11-2013 00:12:56
SSI-CVA Mode 11	16.28	0.05783	0.7464	0.3045	Found automatically	10-11-2013 00:12:56
SSI-CVA Mode 12	17.34	0.03738	0.2811	0.2166	Found automatically	10-11-2013 00:12:56



Figur 29: Samma som Figur 28, men analyserat i ARTeMIS med metoden "SSI Canonical Variate Analysis". Inom parantes anges nummer för motsvarande modform i Figur 22.

C Preliminära resultat för bron över Långforsen

På följande sidor bifogas en kopia av konferensbidraget [SGP⁺12], som redovisar en del preliminära resultat från de olika mätningarna och testerna på bron över Långforsen

The Railway Concrete Arch Bridge over Kalix River - Dynamic Properties and Load Carrying Capacity

Tekn. Lic. Natalia Sabourova,
Dr. Nikas Grip,
Tekn. Lic. Arto Puurula,
Tekn. Lic. Ola Enochsson,
Guest Prof. Dr. Yongming Tu
Ass. Prof., Dr Ulf Ohlsson,
Ass. Prof., Dr. Martin Nilsson,
Emer. Prof., Dr. Lennart Elfgren
Div. of Structural Engineering,
Luleå University of Technology,
SE-971 87 Luleå, Sweden
E-mail: firstname.secondname@ltu.se

Tekn. Dr. Anders Carolin,
Trafikverket,
Box 809,
SE- 971 25 Luleå, Sweden
E-mail: Anders.Carolin@ltu.se

ABSTRACT

The concrete bridge over Kalix river at Långforsen was built in 1960 and has a span of 90 m and a height of 13,7 m. The bridge owner, Trafikverket, now wants to increase its allowable axle load from 225 to 300 kN. Field tests were carried out under service condition and with ambient vibrations. The test results were used to update and validate Finite Element Models. At last, the refined models are used to check the possibility to increase the axle load.

Key words: Codes application, life-cycle assessment, modelling, methods and behaviour, monitoring, assessment and maintenance, numerical methods, sustainable structures.

1. INTRODUCTION

1.1 General

The Swedish Railways have a history of about 150 years and several of the bridges along the lines have been in service for more than 50 years, some even more than 100 years. The owner, Trafikverket, now wants to increase the maximum allowed axle load from 225 kN to 250 kN or more along the main lines in northern Sweden and this calls for an appraisal of the bridges.

Before higher axle load can be allowed it is necessary to check the maximum deflection and the general dynamic behaviour of the bridges. The concrete was designed to have a compressive strength of 40 MPa. Test on drilled out cores now show that the strength has increased to a mean strength of 56 MPa. In this paper, several finite element models of the Långforsen Bridge are discussed. Field tests are carried out under service condition and with ambient vibrations. The test results were used to update and validate finite element models. At last, the refined models are used to check the possibility to increase the axle load, Sabourova et al (2012).

1.2 Design and Construction

The bridge at Långforsen has a total length of 177.3 m with a central arch of 89.5 m and two side spans of 42 m, see Figure 1. It was built in 1960 and consists of an arch which carries a reinforced concrete slab via underlying longitudinal and transversal concrete beams, connected through fixed columns. The arch is a reinforced concrete box girder with two hollow spaces. The cross section is lowest at the crown and highest at the connection to the arch abutment. The original train load corresponds to an axle load of 250 kN for the locomotive and a distributed load of 72 kN/m.

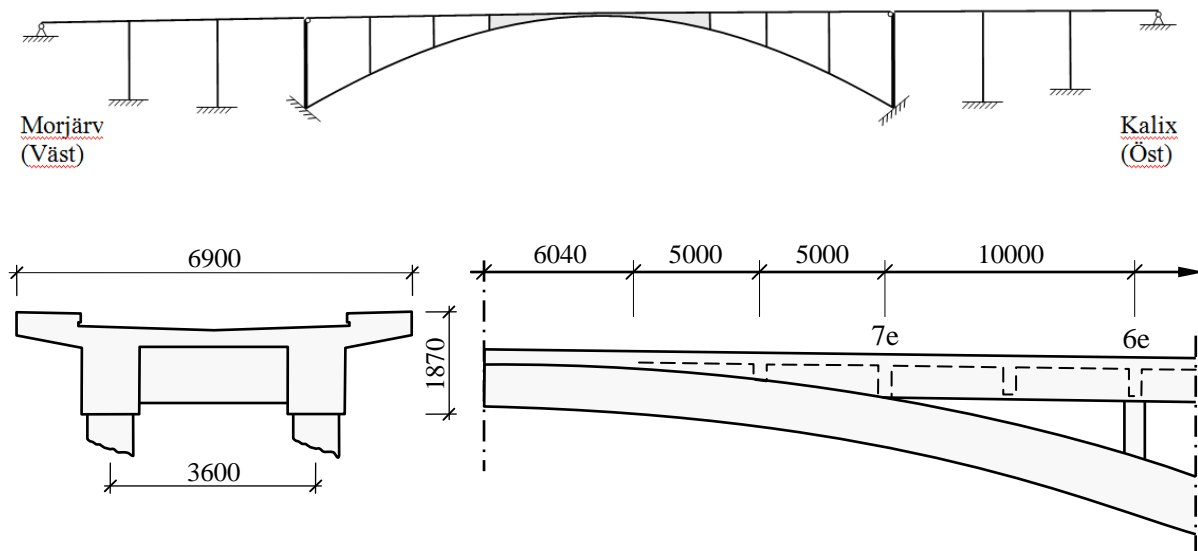


Figure 1. The Railway Concrete Arch Bridge over Kalix River at Långforsen.

2. GEOMETRY AND MATERIAL PROPERTIES

The bridge was built with concrete Btg K 400 with nominal characteristic compressive and tensile strengths of $f_{ck} = 30.775$ MPa and $f_{ctk} = 1.95$ MPa and with a modulus of elasticity of $E_c = 32$ GPa. The foundations were cast with a slightly lower concrete quality, Btg K 300. The reinforcement was ribbed bars Ks 40 and high strength steel Ss70 with yield strengths of $f_{yk} = 390$ and 720 MPa respectively.

In 2009 six cylinders with a diameter of 95 mm were drilled out of the lower part of the arch. Three were tested in compression giving compressive strengths of 76.7; 79.8 and 65.2 MPa with a mean value of 73.9 MPa; three were splitted with splitting strengths of 1.85; 4.17 and 3.77 MPa. This corresponds to concrete quality K80 according to the Swedish Code BBK 94 with a characteristic compressive strength of $f_{ck} = 56.5$ MPa and a modulus of elasticity $E_{ck} = 38.5$ GPa.

3. FINITE ELEMENT MODELS

A lot of work has been invested in different FEM models over the years, Sabourova et al (2012). During 2011 two types of bridge models have been developed by Yongming Tu with Abaqus/Brigade: A comprehensive model with foundations (Type I) and a simplified model where the foundations have been exchanged by springs (Type II). The advantage of the former model is that it is closer to the real bridge structure, and the predicted results from it should be more reliable and closer to the 'real results', but the disadvantage is that the problem size is rather high. The number of elements is 93 910 in type I and decreases to 47 438 in type II and the number of variables decreases from 438 800 to 282 808. Both models give very close predictions of eigenfrequencies and deflections.

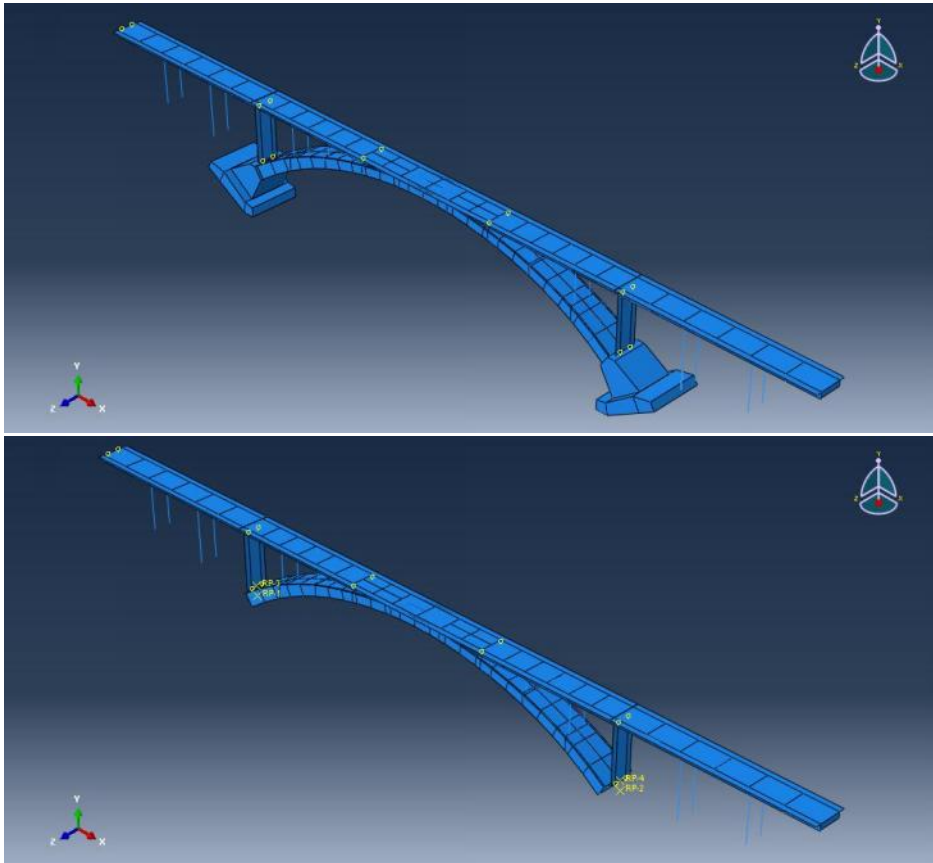


Figure 2. Two FEM models were used: A detailed model, where the foundations are included in the model (top); and a simplified model, where the foundations are simulated with springs (bottom).

4. MEASUREMENTS

Measurements of accelerations, strains and deflections have been carried out during 2009 and 2011. A simple non-iterative method to calibrate the accelerometers has been developed by Grip and Sabourova (2011) and further work is going on. A comparison between some measured and predicted eigenfrequencies with the Type II FEM Model are illustrated in Figure 3.

A comparison was made for some of the measured and predicted strains in a section in the top beams carrying the slab and the rail close to the centre of the arch. These sections had been critical in earlier assessments of the bridge. The maximum measured and predicted strains during the passing of a locomotive with an axle load of 180 kN were rather close and of the order of $\Delta\varepsilon = 20 \cdot 10^{-6}$ corresponding to a stress amplitude of only $\Delta\sigma = 4$ MPa.

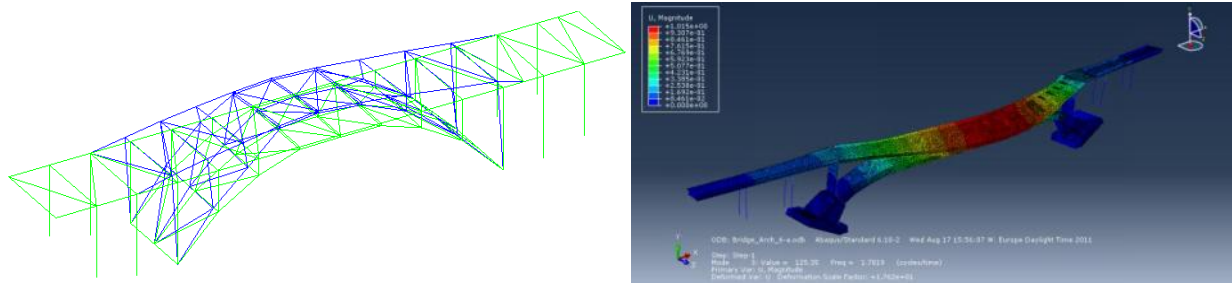


Figure 3. The first transverse bending eigenmode according to measurements gave a frequency 1.79 ± 0.002 Hz (left). According to the FEM model we got the corresponding value 1.78 Hz (right). The difference is less than 1%.

5. LOAD CARRYING CAPACITY AND CONCLUSIONS

Methods for assessing the load carrying capacity have been developed in the EC-project Sustainable Bridges (2008), He et al (2008). These methods have been used here.

According to earlier assessments most parts of the bridge is capable of carrying an axle load of 330 kN. The only critical sections are located in the slab on top of the arch: (1) in the section where it is united with the arch, where the longitudinal top reinforcement is highly stressed; and (2) in the transverse direction between the supporting beams, where the bottom reinforcement is highly stressed. We are now studying these sections in the FEM model for different loads and preliminary results show low maximum stress ranges of 10 MPa in the critical sections and vertical deflections of the crown of the arch of the order of only ± 5 mm indicating that the bridge may be able to carry an increased axle load of 330 kN without problems.

ACKNOWLEDGEMENTS

The work has been supported by Formas, the Development Fund of the Swedish Construction Industry (SBUF), Trafikverket, Luleå Centre for Risk Analysis and Risk Management (CRR), the European Regional Funds and Luleå University of Technology.

REFERENCES

- Grip, N., Sabourova, S., 2011
 “Simple non-iterative calibration for triaxial accelerometers”. Measurement Science and Technology, Vol 22, No 12, 12 pp.
- He, G., Zou, Z., Enochsson, O., Bennitz, A., Elfgrén, L., Kronborg, A., Töyrä, B., and Paulsson, B. (2008):
 “Assessment of railway concrete arch bridge by numerical modelling and measurements”. In “Bridge Maintenance, Safety, Management, Health Monitoring and Informatics” edited by H.-M. Koh and D. M. Frangopol. Leiden: CRC Press/Balkema, Taylor & Francis Group, ISBN 978-0-415-46844-2, Abstract p 722 + full version on CD pp 3733-3742.
- Sabourova, N., Tu, Y., Grip, N., Enochsson, O., Ohlsson, U., Nilsson, M. C., and Elfgrén, L. 2012.
 “Railway Concrete Arch Bridge over Kalix River at Långforsen. Dynamic Properties and Load-Carrying Capacity”. Research Report, Div. of Structural Engineering, Luleå University of Technology, Luleå. To be published.
- Sustainable Bridges, 2008
 “Sustainable Bridges – Assessment for Future Traffic Demands and Longer Lives”. A European Integrated Research Project during 2003-2008. Four guidelines and 35 background documents are available at www.sustainablebridges.net

D Tillståndsbedömning via FEM-uppdatering i Matlab

Vi redovisar här en förenklad version av MATLAB-koden för FEM-uppdatering som användes för att ta fram resultaten i Avsnitt 2.2. Vidare förenklingar av programstrukturen pågår när detta skrivs för senare publicering. Sedan kommer framför allt rutiner för indata, utdata, plottning av resultat samt `InterpolFunctions`-delen att generaliseras för andra konstruktioner, först bron över Åby älv.

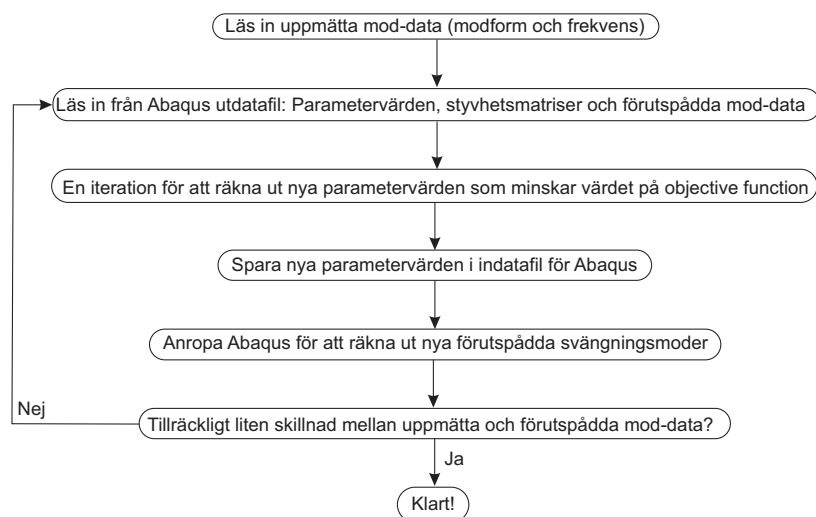
Själva huvudalgoritmen är dock oberoende av konstruktionens geometri och därmed samma även för andra konstruktioner. Den använder bland annat optimeringsmetoden “Newton trust region” för att justera nyckelparametrar i en FEM-modell av konstruktionen för att hitta ett lokalt minimum för “avståndet” mellan uppmätta och av FE-modellen förutspådda modformer och -frekvenser.

De implementerade analysteknikerna finns beskrivna i olika forskningsartiklar och böcker som [FM95], men det finns ingen fritt tillgänglig mjukvaruimplementering eller utförlig pseudokod som gör metoderna lättillgängliga för de som vill tillämpa FEM-uppdatering på egna mätdata och finita elementmodeller. Detta är ett första steg i den riktningen.

Slutversionen av koden som presenteras här är tänkt att dels göra FEM-uppdatering mer lättillgänglig och dels stödja reproducerbar forskning samt underlätta utveckling av nya analysmetoder.

Vi ger ingen närmare beskrivning här av de delar av koden som läser utdatafiler från AR-TeMIS och Abaqus samt skriver nya indatafiler för Abaqus. Fokus är istället på att visa hur vi implementerat ett iterationssteg i den del av koden (se Figur 30) som löser själva optimeringsproblemet. Källkod skriven i till exempel Fortran or C/C++ hade gett snabbare exekvering, men vi har valt att skriva i MATLAB för att det underlättar att snabbt sätta sig in i koden och modifiera efter egna behov. Även om MATLAB är komersiellt så finns gratis ”MATLAB kloner” som Octave and Scilab för de som vill återanvända kod utan att behöva betala för MATLAB. Koden kräver dock att man har FEM-programmet Abaqus om man vill köra den på den modell för betongplattan som används här.

Vi beskriver de analyssteg som utförs till viss del och hänvisar till exempel till boken [NW06, Kapitel 4] för en relativt lättbegriplig av den optimeringsmetod (“Newton trust region met-



Figur 30: (Kopia av Figur 3.) Optimering med metoden “Newton trust region”. Skillnaden mellan uppmätta och förutspådda mod-datat mäts av den målfunktion (objective function) som definieras i (7) nedan.

hod”) som vi använder och [FM95, Mar10] för en översikt över olika FEM-uppdateringstekniker.

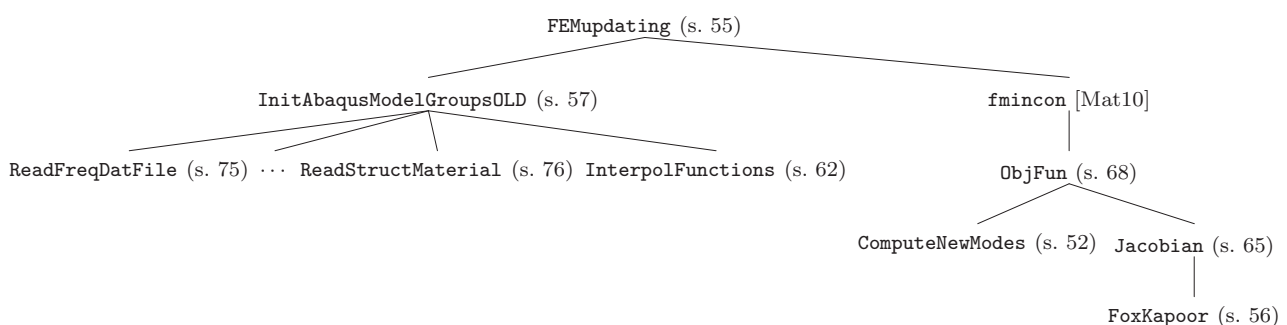
Slutmålet är att ha kod som enkelt kan modifieras och expanderas för olika konstruktioner och andra optimeringsproblem. I sin nuvarande form är den skriven för att fungera på finita elementmodeller under följande villkor:

- Uppdaterade parametrar (som elasticitetsmodul) är begränsade till att ligga i ett intervall som bestäms innan programmet startas.
- Det startar från ett givet eller slumpartat valt startvärde på uppdateringsparametrar och söker sig fram till ett lokalt minimum. (För global optimering så finns metoder som “Coupled Local Minimizers” som startar parallellt från flera olika startvärden på parametrarna.)
- Vi uppdaterar materialegenskaper, inte geometri (vilket är svårare).
- Varje nodpunkt i finita elementmodellen har samma antal frihetsgrader.
- En valbar möjlighet är regularisering av resultaten med så kallade “damage functions”, som dock är begränsade till rektangulärt utplacerade nodpunkter.

Grundidén är då att “släta ut” det resulterande valet av uppdateringsparametrar genom att först låta FEM-uppdateringsalgoritmen välja parametervärden fritt för en delmängd av de grupper av element som har uppdateringsbar parameter (inklusive hörnpunkter), och sedan låter parametervärden för övriga grupper bestämmas med någon form av interpolation. En enkel teknik för detta är FEM-uppdatering via så kallade “shape functions” föreslogs i [TMDR02] för till exempel balkar. Artikeln [SD⁺09] ger några förslag till hur dessa kan generaliseras till “shape functions” definierade på en yta. Vi har gjort det senare i funktionen `InterpolFunctions`, vilket fungerar bra för betongplattan i Avsnitt 2.2, men för mer komplicerade geometrier krävs generaliseringar.

D.1 Implementering i Matlab

Den huvudsakliga programstrukturen i MATLAB-implementationen visas i detta träd-diagram:



Huvudfunktionen anropas med indataparametrar som man enklast får lämpliga värden på från funktionen `InputParameters`, med följande kommandon i MATLAB:

```
>InputParameters
```

```
>FemUpdating(AbaqusInpFileName, MasterFemNodes, MasterFemDofs, MasterMeasDofs, ...
    nuMeas, phiMeas, GroupNames, Pmin, Pmax, P0, CoarseMeshInd, MeasX, ...
    MeasY, nX, nY, MeasDirection, NrOfDofsPerNode, RefNode, RefDof, ...
    SparseMtx, ShapeResType, WeightingStrategyModePairingMethod, ...
    ModeScalingMethod, W, PlotModeShapes)
```

De 16 första indatavärdena är nödvändiga. Återstående sätts automatiskt till olika defaultvärden om de ej anges. Funktionen `FEMUpdating` anropar först funktionen `InitAbaqusModelGroupsOLD` som returnerar något tiotal konstanta parametervärden i en struktur `OptConst` samt sätter startvärden på de parametrar som uppdateras i varje iteration och returnerar dessa i en struktur `StructUpdating` för somliga startvärden/konstanter. För den senare anropas bland annat `ReadStructMaterial`, `BuildGlobalElemNr2GrNrLokup_NEW2`, `InterpolFunctions`, `ReadElementStiffMtxFile` samt kommandot `UpdateAbaqusInpFile` för att de valda startvärden och konstanter som påverkar FEM-modellen sätts till aktuella värden även där.

Vi går ej närmare genom de funktionerna som anropas av `InitAbaqusModelGroupsOLD` i detta appendix, utan beskriver främst FEM-uppdateringsalgoritmen som följer sedan. För detta anropar `FEMUpdating` Matlab Optimization Toolbox-funktionen `fmincon`, som söker sig fram ett värde på parametrarna i `StructUpdating` som ger ett lokalt minimum för "avståndet" mellan uppmätta och förutspådda mod-data (modformer och -frekvenser). Avståndet mäts med en så kallad "objective function" som beskrivs och definieras i (7) nedan. En introduktion till hur "Newton trust region"-algoritmen fungerar finns i [NW06], men i korthet så söker den sig till ett lokalt minimum för målfunktionen genom att i varje iterationssteg approximerar denna med ett Taylorpolynom av grad 2 och använda detta för att räkna ut lämplig justering i rätt riktning av parametrar i `StructUpdating`. (Som nämnts i avsnitt 4.1.1 så finns alternativa optimeringsalgoritmer, som den i Appendix D.3.24, som ej untyttjar andraderivator, vilket kan vara ett alternativ om man har svårt få bra uppskattningar av andraerivator av målfunktionen).

För Taylorapproximation av grad två behöver `fmincon` aktuellt värde, derivator och andraderivator av målfunktionen som fås genom att anropa funktionen `ObjFun`. `ObjFun` anropar först `ComputeNewModes`, som i sin tur anropar Abaqus, som räknar ut nya förutspådda mod-data utifrån aktuella parametervärden i `StructUpdating`. Sedan fås uppskattningar av derivator och andraderivator genom att anropa funktionen `Jacobian`, som i sin tur beföver hjälpfunktionen `FoxKapoor` för uppskattning av förstaderivatorerna. Hur dessa uppskattningar görs beskrivs närmare i avsnitt D.2. Avslutningsvis anropar `ObjFun` funktionen `ComputeNewModes`, som i sin tur anropar Abaqus, som räknar ut nya förutspådda mod-data utifrån de justeringar som gjorts av parametrar i `StructUpdating`.

När detta är gjort får `fmincon` tillbaka kontrollen, kan justera parametrarna i `StructUpdating` som beskrivs i [NW06], och sedan gå vidare till nästa iteration i "Newton trust region"-optimeringen, alternativt avbryta om värdet på målfunktionen blivit tillräckligt litet (se Figur 30).

Vi ger närmare beskrivning av nödvändiga derivatauppskattningar i Appendix D.2. Sedan beskriver vi kortfattat de de funktiner som implementerar dessa uppskattningar i MATLAB.

D.2 Parametrar och derivataberäkning

Vi sammanfattar använd notation i Tabell 2. Konstruktionens finita elementmodell delas in i G grupper om (ett eller flera) finita element som alla har samma värde på den uppdaterade parametern (till exempel elasticitetsmodul). Vi vill uppdatera startvärden $X_{0,g}$ på på den uppdaterade fysikaliska parametern till nytt värde X_g . Vi uppdaterar med en multiplikativ faktor $1 - a_g$, så att

$$X_e = X_{0,g}(1 - a_g), \quad g = 1, \dots, G.$$

Metoden är begränsad till att uppdatera fysikaliska parametrar, som elasticitetsmodul, sådana att grupp-styvhetmatrisen K_g beror som en linjär funktion av X_e . Alltså uppdateras styvhetmatrisen på motsvarande sätt:

$$K_g = K_{0,g}(1 - a_g).$$

Den globala styvhetsmatrisen är då

$$K = K_u + \sum_{g=1}^G K_{0,g}(1 - a_g), \quad (4)$$

där K_u är summan av alla oförändrade grupp-styvhetsmatriser.

Vi kallar K den (globala) styvhetsmatrisen och K_g grupp-styvhetsmatrisen, eller den utvidgade grupp-styvhetsmatrisen om vi vill klargöra att den är utfullad med nollor till samma storlek som K .

För uppdateringsparametrarna, sparsde i en vektor \mathbf{a} , så är målet att välja \mathbf{a} som minimerar vissa frekvens- och modformsresidualer $\mathbf{r}_f(\mathbf{a})$ och $\mathbf{r}_s(\mathbf{a})$. Frekvensresidualen är en vektor med element

$$(\mathbf{r}_f(\mathbf{a}))_m \stackrel{\text{def}}{=} \frac{(2\pi\nu_m^{\text{FEM}}(\mathbf{a}))^2 - (2\pi\nu_m^{\text{mea}})^2}{(2\pi\nu_m^{\text{mea}})^2} = \frac{(\nu_m^{\text{FEM}}(\mathbf{a}))^2 - \nu_m^{\text{mea}2}}{\nu_m^{\text{mea}2}}, \quad m = 1, \dots, M. \quad (5)$$

Modformsresidualen jämför uppmätta och förutspådda modformer i samma nodpunkter i konstruktionen/modellen, men det är viktigt att jämföra *formerna*, oberoende av amplitud. Både uppmätta och förutspådda modformer normaliseras därför så att

$$(\mathbf{r}_s(\mathbf{a}))_{m,n} = \frac{\phi_m^{\text{FEM}}(\mathbf{a})}{\|\phi_m^{\text{FEM}}(\mathbf{a})\|_2} - \frac{\phi_{m,n}^{\text{mea}}}{\|\phi_m^{\text{mea}}\|_2}, \quad m = 1, \dots, M \quad n = 1, \dots, N. \quad (6)$$

Den normeringen avviker från varianter vi har sett tidigare och har fördelen att varje modform ger ett bidrag mindre än två till målfunktionen (7), och alltså viktas ungefär lika högt som varje modfrekvensfel i \mathbf{r}_f . Detta bör vara en bra grund för eventuella ytterligare justeringar med vikterna i matrisen W i (10) nedan. (Ett alternativ till denna modformsresidual $\frac{\phi_{d,m}^{\text{FEM}}(\mathbf{a})^T \phi_{d,m}^{\text{mea}}}{\|\phi_{d,m}^{\text{FEM}}(\mathbf{a})\|_2^2}$, som användes under namnet “*modal scale factor*” i [RTDR10]. Några andra vanliga mått för att jämföra modformer presenteras i [Jai05, Section 3.2].

För $R = M + MDN = M(DN + 1)$ och $\mathbf{r}(\mathbf{a}) = (r_1(\mathbf{a}) \ \dots \ r_R(\mathbf{a}))^T = \begin{pmatrix} \mathbf{r}_f(\mathbf{a}) \\ \mathbf{r}_s(\mathbf{a}) \end{pmatrix}$, är vårt mål att välja ett \mathbf{a} som minimerar *målfunktionen* (*objective function*)

$$f(\mathbf{a}) = \frac{1}{2} \mathbf{r}(\mathbf{a})^T W \mathbf{r}(\mathbf{a}) = \frac{1}{2} (w_1 r_1(\mathbf{a})^2 + \dots + w_R r_R(\mathbf{a})^2), \quad (7)$$

Tabell 2: Notation för vektorer och indexmängder som används i detta appendix och i MATLAB-implementeringen. Totala antalet frihetsgrader N är lika med antalet accelerometer-mätpunkter multiplicerade med antalet frihetsgrader för varje nodpunkt i finita elementmodellen. Nuvarande implementation är begränsad till finita elementmodeller där varje nodpunkt har samma antal frihetsgrader.

$\mathbf{a} = (a_1 \ \dots \ a_G)^T$	Decision parameter vector
$g = 1, \dots, G$	G är antalet g upper av element.
$m = 1, \dots, M$	M är antalet m oder som skall jämföras.
$n = 1, \dots, N$	N är totala antalet frihetsgrader i varje vibrationsmod.
$\phi_m^{\text{mea}} = (\phi_{m,1}^{\text{mea}} \ \dots \ \phi_{m,N}^{\text{mea}})$	Den <i>m</i> te uppmätta modformen.
$\phi_m^{\text{FEM}}(\mathbf{a}) = (\phi_{m,1}^{\text{FEM}}(\mathbf{a}) \ \dots \ \phi_{m,N}^{\text{FEM}}(\mathbf{a}))^T$	Den <i>m</i> te förutspådda modformen.
ν_m^{mea}	Den <i>m</i> te uppmätta modfrekvensen.
$\nu_m^{\text{FEM}}(\mathbf{a})$	Den <i>m</i> te förutspådda modfrekvensen.

där W är en diagonal matris med diagonalelement w_ρ

För minimering av f med metoden Newton trust region Trust region så behövs Taylor polynom-approximationen

$$f(\mathbf{a}_0 + \mathbf{h}) \approx f(\mathbf{a}_0) + (\nabla f)(\mathbf{a}_0)^T \mathbf{h} + \frac{1}{2} \mathbf{h}^T H_f(\mathbf{a}_0) \mathbf{h} \stackrel{\text{def}}{=} m(\mathbf{a}). \quad (8)$$

Från denna och (7) kan gradienten ∇f och Hessianen H_f beräknas som följer. Gradienten är $E \times 1$ -vektorn där element nummer e är

$$\begin{aligned} (\nabla f)_e &= \frac{\partial f}{\partial a_g} = w_1 r_1(\mathbf{a}) \frac{\partial r_1}{\partial a_g} + \cdots + w_R r_R(\mathbf{a}) \frac{\partial r_R}{\partial a_g} \\ \nabla f &= \sum_{\rho=1}^R w_\rho r_\rho(\mathbf{a}) (\nabla r_\rho)(\mathbf{a}) = J_r^T(\mathbf{a}) W \mathbf{r}(\mathbf{a}), \quad \text{for the Jacobian } (J_r(\mathbf{a}))_{\rho,g} \stackrel{\text{def}}{=} \frac{\partial r_\rho}{\partial a_g} \end{aligned} \quad (9)$$

På liknande sätt fås Hessianen

$$\begin{aligned} (H_f)_{k,l} &\stackrel{\text{def}}{=} \frac{\partial^2 f}{\partial a_k \partial a_l} = \frac{\partial^2}{\partial a_k \partial a_l} \frac{1}{2} (w_1 r_1(\mathbf{a})^2 + \cdots + w_R r_R(\mathbf{a})^2) = \frac{\partial}{\partial a_k} \sum_{\rho=1}^R w_\rho r_\rho(\mathbf{a}) \frac{\partial r_\rho(\mathbf{a})}{\partial a_l} \\ &= \sum_{\rho=1}^R \left(w_\rho \frac{\partial r_\rho(\mathbf{a})}{\partial a_k} \frac{\partial r_\rho(\mathbf{a})}{\partial a_l} + w_\rho r_\rho(\mathbf{a}) \frac{\partial^2 r_\rho(\mathbf{a})}{\partial a_k \partial a_l} \right) = \sum_{\rho=1}^R \left(w_\rho \frac{\partial r_\rho(\mathbf{a})}{\partial a_k} \frac{\partial r_\rho(\mathbf{a})}{\partial a_l} + w_\rho r_\rho(\mathbf{a}) (H_{r_\rho}(\mathbf{a}))_{k,l} \right) \\ H_f &= J_r(\mathbf{a})^T W J_r(\mathbf{a}) + \sum_{\rho=1}^R w_\rho r_\rho(\mathbf{a}) H_{r_\rho}(\mathbf{a}) \approx J_r(\mathbf{a})^T W J_r(\mathbf{a}) \end{aligned} \quad (10)$$

Vektorn \mathbf{r}_f har längd M , medan vektorn \mathbf{r}_s har längd DMN med någon omordning $\rho(m, n)$ av index (m, n) för att spara elementen i \mathbf{r}_s i en väldefinierad ordning i MATLAB-implementationen. Men exakt hur de ordnas har ingen betydelse i följande beräkningar. (Vilken inverterbar avbildning som helst av $\{1, 2, \dots, M\} \times \{1, 2, \dots, N\}$ på $\{1, 2, \dots, MN\}$ duger. För $M(N+1) \times E$ -Jakobianen $J_r = \begin{bmatrix} J_{r_f} \\ J_{r_s} \end{bmatrix}$, kommer vi att beteckna elementen $(J_{r_f})_{m,g} \stackrel{\text{def}}{=} (J_r)_{m,g}$ och $(J_{r_s})_{m,n,g} \stackrel{\text{def}}{=} (J_r)_{M+\rho(m,n),g}$. Från (5) får vi

$$(J_{r_f})_{m,g} \stackrel{\text{def}}{=} \frac{\partial (\mathbf{r}_f)_m}{\partial a_g} = \frac{1}{(2\pi\nu_m^{\text{mea}})^2} \frac{\partial (2\pi\nu_m^{\text{FEM}})^2}{\partial a_g}, \quad m = 1, \dots, M.$$

Det följer att $\frac{\partial \|\phi_{d,m}^{\text{FEM}}\|_2}{\partial a_e} = \frac{\partial (\phi_{d,m}^{\text{FEM}^T} \phi_{d,m}^{\text{FEM}})^{1/2}}{\partial a_e} = \frac{1}{2} \frac{2 \frac{\partial \phi_{d,m}^{\text{FEM}^T}}{\partial a_e} \phi_{d,m}^{\text{FEM}}}{\|\phi_{d,m}^{\text{FEM}}\|_2}$ och

$$\begin{aligned} (J_{r_s})_{d,m,n,e} &\stackrel{\text{def}}{=} \frac{\partial (\mathbf{r}_s)_{d,m,n}}{\partial a_e} = \frac{\frac{\partial \phi_{d,m,n}^{\text{FEM}}}{\partial a_e} \|\phi_{d,m}^{\text{FEM}}\|_2 - \phi_{d,m,n}^{\text{FEM}} \frac{\partial \|\phi_{d,m}^{\text{FEM}}\|_2}{\partial a_e}}{\|\phi_{d,m}^{\text{FEM}}\|_2^2} \\ &= \frac{\frac{\partial \phi_{d,m,n}^{\text{FEM}}}{\partial a_e} \|\phi_{d,m}^{\text{FEM}}\|_2 - \phi_{d,m,n}^{\text{FEM}} \frac{\frac{\partial \phi_{d,m}^{\text{FEM}^T}}{\partial a_e} \phi_{d,m}^{\text{FEM}}}{\|\phi_{d,m}^{\text{FEM}}\|_2}}{\|\phi_{d,m}^{\text{FEM}}\|_2^2} = \frac{\frac{\partial \phi_{d,m,n}^{\text{FEM}}}{\partial a_e}}{\|\phi_{d,m}^{\text{FEM}}\|_2} - \frac{\frac{\partial \phi_{d,m}^{\text{FEM}^T}}{\partial a_e} \phi_{d,m}^{\text{FEM}} \phi_{d,m,n}^{\text{FEM}}}{\|\phi_{d,m}^{\text{FEM}}\|_2^3}. \end{aligned}$$

De här uttrycken beror av derivatorna $\frac{\partial (2\pi\nu_m^{\text{FEM}})^2}{\partial a_g}$ och $\frac{\partial \phi_m^{\text{FEM}}}{\partial a_g}$ som vi kan räkna ut, som i [TMDR02], från (4) med formler först härledda av Fox-Kapoor [FK68, eqs. (12),(18),(20)], för vårt speci-

allfall där enbart styvhetsmatrisen påverkas av parametrarna a_g :

$$\frac{\partial(2\pi\nu_m^{\text{FEM}})^2}{\partial a_g} = \phi_m^{\text{FEM}\text{T}} \frac{\partial K}{\partial a_g} \phi_m^{\text{FEM}} = -\phi_m^{\text{FEM}\text{T}} K_{0,g} \phi_m^{\text{FEM}} \quad (11a)$$

$$\frac{\partial \phi_m^{\text{FEM}}}{\partial a_g} = \sum_{q \neq m} \frac{\phi_q^{\text{FEM}\text{T}} \frac{\partial K}{\partial a_g} \phi_m^{\text{FEM}}}{(2\pi\nu_m^{\text{FEM}})^2 - (2\pi\nu_q^{\text{FEM}})^2} \phi_q^{\text{FEM}} = \sum_{q \neq m} \frac{\phi_q^{\text{FEM}\text{T}} K_{0,g} \phi_m^{\text{FEM}}}{(2\pi\nu_q^{\text{FEM}})^2 - (2\pi\nu_m^{\text{FEM}})^2} \phi_q^{\text{FEM}} \quad (11b)$$

Remark 1. För stora E och för a_g långsamt varierande med g , så kan Jakobianen J_r vara illa konditionerad. För att undvika detta har det föreslagits i [RTDR10, TMDR02] att approximera a_g med summan $a_g \approx \sum_k c_k b_k(g)$ för ett mindre antal basfunktioner $b_k(g)$. Till exempel kan $b_k(g)$ vara så kallade tältfunktioner som ger styckvis linjära a_g .

D.3 Matlab-kod

Här redovisas funktionerna i Avsnitt D.1 i bokstavsordning med kortfattad beskrivning av vad de gör.

D.3.1 BuildGlobalElemNr2GrNrLokup_NEW2.m

Anropas av `InitAbaqusModelGroupsOLD.m` för att läsa in en del konstanter och parametervärden från utdatafil från Abaqus.

```

1 function [NoOfModes, NoOfNodes, GlobalElem2GrNrMap, GroupCenterPts] = ...
2             BuildGlobalElemNr2GrNrLokup_NEW2 (AbaqusDatFile, ...
3             AbaqusInputFile, ...
4             GrNr2GrNameMap)
5 % INPUT:
6 % AbaqusDatFile - Abaqus ".dat" output file with mapping between local
7 %                and global element numbers
8 % AbaqusInputFile - Abaqus ".inp" input file with geometry and material
9 %                properties definitions
10 % GrNr2GrNameMap - group number to group name mapping
11
12 % OUTPUT:
13 % NoOfNodes - total number of nodes in the Abaqus model
14 % NoOfGroups - number of groups
15 % GlobalElem2GrNrMap - table indexed by global element numbers and with
16 %                entries saying to which group each particular element
17 %                belongs
18 % GroupYoungModulus - Young modulus for the groups to be updated
19
20 % USAGE:
21 % Example:
22 % >>AbaqusDatFile = 'Bridge_Arch_6-a-sim2-Mea-FirstIterWithGlobalMassStiff.dat';
23 % >>AbaqusInputFile = 'Bridge_Arch_6-a-sim2-Mea-FirstIterWithGlobalMassStiff.inp';
24 % >>GrNr2GrNameMap = {'Concrete'};
25 % >>[NoOfNodes NoOfGroups GlobalElem2GrNrMap GroupYoungModulus] = ...
26 %             BuildGlobalElemNr2GrNrLokup(...,
27 %             AbaqusDatFile, ...
28 %             AbaqusInputFile, ...
29 %             GrNr2GrNameMap);
30
31
32 NoOfNodes = 0;
33 NameDelimiter = '*';
34
35
36 %% Read Abaqus ".dat" file and build a mapping between the local and
37 % the global element numbers
38 Local2GlobalPattern = '(LOCAL)\s+TO\s+GLOBAL\s+NODE\s+AND\s+ELEMENT\s+MAPS';
39 NodeNodePattern = '\s*(node)\s+node\s*';

```

```

40 ElemElemPattern = '\s*(element)\s+element\s*';
41 %InstanceNamePattern = '\s+(Instance name)';
42 InstNameNumNumPattern = '(?<name>[a-zA-Z0-9-_-+])\s+(?<num1>\d+)\s+(?<num2>\d+)\s*';

44 Tokens1 = cell(1);
45 Tokens1{1} = 'LOCAL';
46 Tokens1{2} = 'node';
47 Tokens1{3} = 'element';
48 %Tokens1{4} = 'Instance name';

50 InstLocal2GlobalNodeNrsMap = cell(1,2);
51 InstLocal2GlobalElemNrsMap = cell(1,2); % Instance name, global element numbers
52 % We use the fact that in each instance
53 % local element numbers start with 1 and
54 % are written in the ".dat" file in the
55 % sequential order.
56 % InstLocal2GlobalElemNrsMap is probably a
57 % better name

59 fid = fopen(AbaqusDatFile);
60 tline = fgetl(fid);
61 pattern = Local2GlobalPattern;
62 while ischar(tline) % if tline is array of characters

64 [mat tok] = regexp(tline,pattern,'match','tokens');
65 if ~isempty(tok)
66     index = strmatch(tok{1}{1},Tokens1,'exact');
67     switch index
68     case 1 % Reading local to global node and element maps line
69         pattern = NodeNodePattern;
70     case 2 % Reading node node line
71         fgetl(fid);fgetl(fid); % skip 2 lines
72         [InstLocal2GlobalNodeNrsMap NoOfNodes] = ...
73         ReadLocal2GlobalMap(fid,InstNameNumNumPattern);
74     case 3 % Reading element element line
75         fgetl(fid);fgetl(fid); % skip 2 lines
76         [InstLocal2GlobalElemNrsMap NoOfElems] = ...
77         ReadLocal2GlobalMap(fid,InstNameNumNumPattern);
78     end;
79     break;
80 end;
81 end;
82 tline = fgetl(fid);
83 end;
84 fclose(fid);

86 NoOfGroups = length(GrNr2GrNameMap);
87 %GroupYoungModulus = zeros(NoOfGroups,1);
88 GlobalElem2GrNrMap = zeros(NoOfElems,1);
89 GroupCenterPts = zeros(NoOfGroups,3);
90 GlobalNodeCoord = cell(1,2);
91 GlobalElem2GlobalNodeNbsMap = cell(1,2);
92 SetName2GlobalElemNrsMap = cell(1,2); % Global set name (instance name +
93 % delimiter + local set name), global element numbers

95 InstancePattern = '*(Instance),\s+name=([a-zA-Z0-9-_-#]+),\s+part=([a-zA-Z0-9-_-#]+)';
96 EndInstancePattern = '*(End Instance)';
97 NodePattern = '*(Node)';
98 ElemPattern = '*(Element)';
99 ElsetPattern = ['*(Elset),\s+elset=([a-zA-Z0-9-_-#]+),\s+internal[,\s+]' ...
100                '*(generate|instance)?[=]*([a-zA-Z0-9-_-#]+)?'];
101 Local2GlobalGrNamePattern = ['(Section),\s+elset=([a-zA-Z0-9-_-#]+),' ...
102                               '\s+material=([a-zA-Z0-9-_-#]+)'];
103 FreqPattern = '*(Frequency), eigensolver=';

105 Tokens = cell(1);
106 Tokens{1} = 'Instance';
107 Tokens{2} = 'Node';
108 Tokens{3} = 'Element';
109 Tokens{4} = 'Elset';
110 Tokens{5} = 'Section';
111 Tokens{6} = 'End Instance';
112 Tokens{7} = 'Frequency';

```

```

114 fid = fopen(AbaqusInputFile);
115 tline = fgetl(fid);
116 pattern = InstancePattern;
117 SetCount = 1;
118 TotNrOfElems = 0;
119 while ischar(tline) % if tline is array of characters
120     [mat tok] = regexp(tline,pattern,'match','tokens');
121     if ~isempty(tok)
122         index = strmatch(tok{1}{1},Tokens,'exact');
123         if ~isempty(index)
124             %disp(['Case: ',num2str(index)])
125             %disp(Tokens{index});
126             switch index
127                 case 1 % Reading instance name
128                     InstanceName = upper(tok{1}{2});
129                     pattern = NodePattern;
130                     tline = fgetl(fid);
131                     NrOfElemsInInst = 0;
132                 case 2 % Reading node numbers with coordinates
133                     tline = fgetl(fid);
134                     str = regexp(tline,',','split');
135                     strn = strtrim(str);
136                     num = str2num(strn{1});
137                     while ~isempty(num)
138                         InstInd = strmatch(InstanceName,InstLocal2GlobalNodeNrsMap(:,1),'exact');
139                         GlobalNodeInd = InstLocal2GlobalNodeNrsMap{InstInd,2}(num);
140                         GlobalNodeCoord{GlobalNodeInd,2} = ...
141                             [str2num(strn{2}) str2num(strn{3}) str2num(strn{4})];
142                         tline = fgetl(fid);
143                         str = regexp(tline,',','split');
144                         strn = strtrim(str);
145                         num = str2num(strn{1});
146                     end;
147                 pattern = [ElemPattern '|' EndInstancePattern];
148                 case 3 % Reading elements with node numbers
149                     tline = fgetl(fid);
150                     str = regexp(tline,',','split');
151                     strn = strtrim(str);
152                     num = str2num(strn{1});
153                     InstIndInElemMap = strmatch(InstanceName,InstLocal2GlobalElemNrsMap(:,1),'exact');
154                     InstIndInNodeMap = strmatch(InstanceName,InstLocal2GlobalNodeNrsMap(:,1),'exact');
155                     while ~isempty(num)
156                         NrOfElemsInInst = NrOfElemsInInst + 1;
157                         GlobalElemInd = InstLocal2GlobalElemNrsMap{InstIndInElemMap,2}(num);
158                         GlobalElem2GlobalNodeNbsMap{GlobalElemInd,2} = ...
159                             InstLocal2GlobalNodeNrsMap{InstIndInNodeMap,2}(cell2num(strn(2:end)));
160                         tline = fgetl(fid);
161                         str = regexp(tline,',','split');
162                         strn = strtrim(str);
163                         num = str2num(strn{1});
164                     end;

165                 pattern = [ElemPattern '|' ElsetPattern];
166                 case 4 % Reading elements in a set (both descriptive/generate)
167                     if size(tok{1},2)==4
168                         if strcmp(tok{1}{3},'') || strcmp(tok{1}{3},'instance')
169                             % Elset definition
170                             LocalSetName = tok{1}{2};
171                             if strcmp(tok{1}{3},'instance')
172                                 InstanceName = upper(tok{1}{4});
173                             end;
174                             FullLocalSetName = [LocalSetName ...
175                                 NameDelimiter InstanceName];
176                             tline = fgetl(fid);
177                             str = regexp(tline,',','split');
178                             strn = strtrim(str);
179                             % Match numbers in the string if the 1st token is
180                             % number
181                             Elems = [];
182                             while ~isempty(str2num(strn{1}))
183                                 Elems = [Elems cell2num(strn)];
184                             tline = fgetl(fid);

```

```

186         str = regexp(tline, ',', 'split');
187         strn = strtrim(str);
188     end;
189     ind=strmatch(InstanceName, InstLocal2GlobalElemNrsMap(:,1), 'exact');
190     SetName2GlobalElemNrsMap{SetCount,1}=FullLocalSetName;
191     SetName2GlobalElemNrsMap{SetCount,2}=InstLocal2GlobalElemNrsMap{ind,2}(Elems);
192     SetCount = SetCount + 1;
193     elseif strcmp(tok{1}{3}, 'generate') % Elset with generate
194         LocalSetName = tok{1}{2};
195         FullLocalSetName = [LocalSetName ...
196             NameDelimiter InstanceName];
197         tline = fgetl(fid);
198         str = regexp(tline, '\d+', 'match');
199         tmp = cell2num(str);
200         Elems = tmp(1):tmp(3):tmp(2);

202         SetName2GlobalElemNrsMap{SetCount,1} = FullLocalSetName;
203         ind=strmatch(InstanceName, InstLocal2GlobalElemNrsMap(:,1), 'exact');
204         SetName2GlobalElemNrsMap{SetCount,2}=InstLocal2GlobalElemNrsMap{ind,2}(Elems);
205         SetCount = SetCount + 1;
206         tline = fgetl(fid);
207     end;
208 end;
209 pattern = [ElsetPattern '|' Local2GlobalGrNamePattern];
210 case 5 % Reading section definition
211     LocalSetName = tok{1}{2};
212     FullLocalSetName = [LocalSetName ...
213         NameDelimiter InstanceName];
214     ind1=strmatch(FullLocalSetName, SetName2GlobalElemNrsMap(:,1), 'exact');

216     GlobalGroupName = tok{1}{3};
217     ind2 = strmatch(GlobalGroupName, GrNr2GrNameMap, 'exact');
218     %tline
219     if ~isempty(ind2)
220         GlobalElem2GrNrMap(SetName2GlobalElemNrsMap{ind1,2}) = ...
221             ind2*ones(size(SetName2GlobalElemNrsMap{ind1,2}));
222         GlobalNodesInGroup ...
223             = GlobalElem2GlobalNodeNbsMap(SetName2GlobalElemNrsMap{ind1,2},2);
224         NoOfElemsInGroup = length(GlobalNodesInGroup);
225         NoOfNodesInGroup = 0;
226         for j = 1:NoOfElemsInGroup
227             NodesInElem = GlobalNodesInGroup{j};
228             NoOfNodesInElem = length(NodesInElem);
229             for k=1:NoOfNodesInElem
230                 NoOfNodesInGroup = NoOfNodesInGroup + 1;
231                 GroupCenterPts(ind2,:) = GroupCenterPts(ind2,:) + ...
232                     GlobalNodeCoord{NodesInElem(k),2};
233             end;
234         end;
235         GroupCenterPts(ind2,:) = GroupCenterPts(ind2,:)/...
236             NoOfNodesInGroup;
237     end;
238     pattern = [Local2GlobalGrNamePattern '|' ElsetPattern ...
239         '|' InstancePattern ...
240         '|' EndInstancePattern];
241     tline = fgetl(fid);
242 case 6 % Reading end instance
243     pattern = [InstancePattern '|' ElsetPattern '|' FreqPattern];
244     TotNrOfElems = TotNrOfElems + NrOfElemsInInst;
245     tline = fgetl(fid);
246 case 7 % Reading total number of mode shapes in FEM model
247     tline = fgetl(fid);
248     str = regexp(tline, ',', 'split');
249     strn = strtrim(str);
250     num = str2num(strn{1});
251     if ~isempty(num)
252         NoOfModes = num;
253     end
254     break
255 end; % switch
256 end; % if ~isempty(index)
257 else % if ~isempty(tok)
258     tline = fgetl(fid);

```



```

259     end
260 end; % while
261 fclose(fid);

263 %%% =====
264 %%% == SUPPLEMENTARY FUNCTIONS ==
265 %%% =====

267 %%% == Convert a cell array of strings to a row vector of numbers ==
268 function arr = cell2num(cellArray)
269 % Avoid empty string caused by trailing commas:
270 if length(cellArray{end})==0
271     cellArray=cellArray(1:end-1);
272 end

274 len = length(cellArray);
275 arr = zeros(1,len);
276 for i=1:len
277     % NextStr=cellArray{i};
278     % if ischar(NextStr)
279     arr(i) = str2num(cellArray{i});
280     % end
281 end;

284 function [Map NoOfGlobals] = ReadLocal2GlobalMap(fid,InstNameNumNumPattern)
285 CurrentInstName = [];
286 GlobalNumsInInst = [];
287 MapInd = 0;
288 tline = fgetl(fid);
289 data = regexp(tline,InstNameNumNumPattern,'names');
290 while ~strcmp(tline,'')
291     if ~isempty(data)
292         if ~strcmp(CurrentInstName,data.name) % instance change
293             if isempty(CurrentInstName)
294                 CurrentInstName = data.name;
295                 GlobalNumsInInst = [GlobalNumsInInst ...
296                     str2num(data.num2)];
297             else
298                 MapInd = MapInd + 1;
299                 Map{MapInd,1} = CurrentInstName;
300                 Map{MapInd,2} = GlobalNumsInInst;
301                 CurrentInstName = data.name;
302                 GlobalNumsInInst = str2num(data.num2);
303             end;
304         else % filling the same instance with global element map
305             GlobalNumsInInst = [GlobalNumsInInst ...
306                 str2num(data.num2)];
307         end;
308     end;
309     tline = fgetl(fid);
310     data = regexp(tline,InstNameNumNumPattern,'names');
311 end;
312 %if MapInd~=0
313 % For the last found instance
314 MapInd = MapInd + 1;
315 Map{MapInd,1} = CurrentInstName;
316 Map{MapInd,2} = GlobalNumsInInst;
317 NoOfGlobals = max(Map{MapInd,2});
318 %end

```

D.3.2 ComputeNewModes.m

Anropas av `fmincon` efter varje iteration. Skriver uppdaterade parametervärden till indatafil för Abaqus och anropar Abaqus för att räkna ut nya förutspådda moddata (modformer och -frekvenser).

```

1 function [OptConst,phiFEMcomp,nuFEMcomp] = ComputeNewModes(a,...

```

```

2                                     OptimValues , state , ...
3                                     OptConst , StructUpdating)
4 % USAGE: OptConst = ComputeNewModes(a, OptimValues , state , setK0Mtx , OptConst)
5 %
6 % DESCRIPTION
7 % This function is called by fmincon after each iteration of the Newton
8 % trust region algorithm. It passes the updated decision parameters to
9 % Abaqus for computing new mode shapes, mode frequencies and stiffness
10 % matrices.
11 %
12 % INPUTS
13 % a                               = updated values of the decision parameters
14 % OptimValues                     = a structure containing data from the current
15 %                               iteration thst we do not need and therefore
16 %                               will ignore. (See p. 9–19 in the Optimization
17 %                               Toolbox User's Guide)
18 % state                           = the current state or the algorithm, which we
19 %                               also do not need and therefore will ignore.
20 %                               (see p. 9–19 in the Optimization Toolbox
21 %                               User's Guide)
22 % OptConst                         = structure containing all necessary constants
23 %                               for the optimization algorithm,
24 %                               see InitAbaqusModel.m file.
25 %
26 % OUTPUTS
27 % OptConst = structure containing all necessary constants for the
28 %           optimization algorithm, see InitAbaqusModel.m file.
29 %
30 % Update parameters before Abaqus job is started
31 for i=1:size(StructUpdating,2)
32     GroupIndex = OptConst.MaterialNr2GrNrMap(i);
33     if GroupIndex~=0
34         StructUpdating(i).Elastic = OptConst.P0(GroupIndex)*(1-a(GroupIndex));% OK?????
35     end;
36 end;
37 %
38 % Compare to
39 % NoOfMaterials = size(StructUpdating,2);
40 % OptConst.MaterialNr2GrNrMap = zeros(NoOfMaterials,1)
41 % for i=1:NoOfMaterials
42 %     GroupIndex=find(ismember(GrNr2GrNameMap,StructUpdating(i).Name));
43 %     if ~isempty(GroupIndex)
44 %         StructUpdating(i).Elastic = OptConst.P0(GroupIndex);
45 %         OptConst.MaterialNr2GrNrMap(i) = GroupIndex;
46 %     end;
47 % end;
48 %
49 % Update Abaqus input file
50 UpdateAbaqusInpFile(OptConst.AbaqusInpFileName , ...
51                   OptConst.AbaqusModelPartFileName , ...
52                   OptConst.AbaqusHistPartFileName , ...
53                   StructUpdating);
54 %
55 % Run job in Abaqus
56 command = ['abaqus job=' OptConst.AbaqusInpFileName ' interactive'];
57 %t = clock;
58 %istatus = dos(command);
59 %display(['Abaqus job is finished in ' num2str(etime(clock,t)/60) ...
60 %        ' minutes with status: ' num2str(istatus)]);
61 %
62 % Read Abaqus output
63 phiFEMcomp(1) = NaN;
64 nanEntries = isnan(phiFEMcomp);
65 while ~isempty(find(nanEntries==1))
66     t = clock;
67     istatus = dos(command);
68     display(['Abaqus job is finished in ' num2str(etime(clock,t)/60) ...
69            ' minutes with status: ' num2str(istatus)]);
70     [phiFEMcomp, nuFEMcomp] = ReadFreqDatFile(OptConst.AbaqusDatFileName , ...
71                                             OptConst.TotNrOfNodes , ...
72                                             OptConst.TotNrOfModes , ...
73                                             OptConst.NrOfDofsPerNode);
74     % Kgr = ReadElementStiffMtxFile(OptConst.TotNrOfNodes , ...

```

```

75 % OptConst.NrOfDofsPerNode ,...
76 % OptConst.GlobalElem2GrNrMap ,...
77 % OptConst.AbaqusElemStiffMtxFile ,OptConst.SparseMtx);
78 nanEntries = isnan(phiFEMcomp);
79 end;

81 % (We have no interest in the OptimValues and state input parameters in our
82 % work, so we simply ignore them and stop here.)

```

D.3.3 divisors.m

Anropas av SortRectMeshPts för att hitta alla faktoriseringar av ett heltal i två andra heltal .

```

1 function nVec = divisors(N)
2 % INPUT
3 % N = an integer
4 %
5 % OUTPUT
6 % nVec = a column vector containg all integers dividing N, stored in
7 % increasing order.
8 PrimeFactors=factor(N);
9 PrimeFactorsPowers=FindPowers(PrimeFactors); % Defined below
10 nVec = CombFactors(PrimeFactorsPowers);

17 function PrimeFactorsPowers=FindPowers(PrimeFactors)
18 % INPUTS
19 % PrimeFactors = a vector containing a sequence of prime factors in
20 % increasing order
21 %
22 % OUTPUTS
23 % PrimeFactors = a 2 column vector with the first column containing the
24 % unique prime factors in PrimeFactors and the second
25 % column containing the number of occurences of that prime
26 % factor in PrimeFactors.
27 ind=find(PrimeFactors==PrimeFactors(1));
28 pow=length(ind);
29 if pow==length(PrimeFactors)
30 PrimeFactorsPowers= [PrimeFactors(1) pow];
31 else
32 PrimeFactorsPowers=[PrimeFactors(1) pow
33 FindPowers(PrimeFactors(pow+1:end))];
34 end

41 function factors = CombFactors(PrimeFactorsPowers)

43 if length(PrimeFactorsPowers(:,1))==1
44 tmp=1;
45 else
46 tmp=CombFactors(PrimeFactorsPowers(2:end,:));
47 end

49 NextPower=PrimeFactorsPowers(1,2);
50 factors=zeros((NextPower+1)*length(tmp),1);
51 for pp = 0:NextPower % The different powers
52 factors(pp*length(tmp)+(1:length(tmp))) = ...
53 [PrimeFactorsPowers(1,1).^pp*tmp ];
54 end

56 factors=sort(factors);

```

D.3.4 FEMupdating.m

Huvudprogram som sätter konstanter och startvärden, anropar `fmincon` för optimering av uppdateringsparametrar och sedan skriver ut resultat.

```

1 function [P0,Pupdated,fval,OptConst]= FemUpdating (varargin)
3 % USAGE: Eupdated = FemUpdating ()
4 %
5 % OUTPUT
6 % P0      = column vector containing the initial Young's modulus of the
7 %          different (groups of) elements of the Abaqus FE model
8 % Pupdated = column vector containing the updated Young's modulus of the
9 %          different (groups of) elements of the Abaqus FE model
10 % fval    = final value of the objective function
12 %global aOld
14 %=====
15 %% Some parameters used for the communication with Abaqus =====
16 [OptConst,StructUpdating] = InitAbaqusModelGroupsOLD (varargin{:});
19 pLen = length (OptConst.CoarseMeshInd); % == length(p) ~= length(a)
20 p0 = zeros (pLen,1); % Initial guess: Young modulus E=E0
21 %a0 = OptConst.NDamageFcts*p0;
22 P0 = OptConst.P0;
23 pMax=1-OptConst.Pmin (OptConst.CoarseMeshInd)./P0 (OptConst.CoarseMeshInd).*ones (pLen,1);
24 pMin=1-OptConst.Pmax (OptConst.CoarseMeshInd)./P0 (OptConst.CoarseMeshInd).*ones (pLen,1);
26 % Preset decision parameters
27 %aOld = zeros (OptConst.NrOfGroups,1); % Initial guess: Young modulus E=E0
29 %===== Run Abaqus to compute mode shapes, frequencies =====
30 %OptConst = ComputeNewModes (a0,[],[],true,OptConst);
31 % OptConst will be updated with the value of global stiffness matrix
33 %===== Do the optimization =====
34 % Options for fmincon for
35 % * choosing the trust region algorithm
36 % * function name to call after each iteration
37 % * use gradient and Hessian output provided by ObjFun
38 options = optimset ('Algorithm','trust-region-reflective',...
39                   'GradObj','on',...
40                   'Hessian','user-supplied',...
41                   'Display','iter');
42 % If GradObj is on, then objective function should return gradient
43 % vector in the second output argument.
44 % If Hessian is user-defined, then Hessian should be the final output
45 % of the objective function.
47 %% Call fmincon for FEM updating under the restriction aMin <= a <= aMax ==
48 % (Similar to the example on p. 2-12 with input arguments described on
49 % p. 11-39 - 11-41 in the Optimization Toolbox User's Guide)
51 ObjectiveFunction = @(p) ObjFun (p,OptConst,StructUpdating);
53 [p,fval] = fmincon (ObjectiveFunction,p0,[],[],[],[],pMin,pMax,[],options);
55 a = OptConst.NDamageFcts*p;
56 Pupdated = P0.*(1-a); % Updated Young's modulus
57 display ('Start \ Found');
58 display ([P0 Pupdated]);
60 %=====

```

D.3.5 GreedyPickLarge.m

Anropas av PairModes för att automatiskt para ihop förutspådda och uppmätta modformer parvis.

```

1 function indRC=GreedyPickLarge(A)
2 % Greedy algorithm for finding large elements in the matrix A without
3 % two of them being on the same row or column
4 %
5 % INPUTS
6 % A = rxc matrix
7 %
8 % OUPUTS
9 % indRC = max(r,c)x2 matrix with each row containng the row- and column
10 %     index of one chosen element

12 [nofR,nofC]=size(A);
13 indR=1:nofR;
14 indC=1:nofC;
15 nofElements2pick=min(nofR,nofC);
16 indRC=zeros(nofElements2pick,2); % Reserve memory

18 ElementCtr=1; % Counter for next element to pick
19 while ( ElementCtr<=nofElements2pick )
20     [maxA,r,c]=rcMax(A);
21     indRC(ElementCtr,:)=[indR(r),indC(c)];

23     A = RemoveRowCol(A,r,c);
24     indR = RemoveElem(indR,r);
25     indC = RemoveElem(indC,c);

27     ElementCtr=ElementCtr+1;
28 end

31 %% Test code
32 % A=rand(7,7)
33 % indRC=GreedyPickLarge(A)

```

D.3.6 FoxKapoor.m

För vinkelfrekvenser $\omega_m \stackrel{\text{def}}{=} 2\pi\nu_m$, räknas $N \times 1$ -vektorer $\frac{\partial\omega_m^2}{\partial a_e}$ och $\frac{\partial\phi_m^d}{\partial a_e}$ ut från Fox-Kapoor-forlerna (11):

$$\frac{\partial(2\pi\nu_m^{\text{FEM}})^2}{\partial a_e} = -\phi_{d,m}^{\text{FEM}\text{T}} K_{0,e} \phi_{d,m}^{\text{FEM}} \quad (12a)$$

$$\frac{\partial\phi_{d,m}^{\text{FEM}}}{\partial a_e} = \sum_{q \neq m} \frac{\phi_{d,q}^{\text{FEM}\text{T}} K_{0,e} \phi_{d,m}^{\text{FEM}}}{(2\pi\nu_q^{\text{FEM}})^2 - (2\pi\nu_m^{\text{FEM}})^2} \phi_{d,q}^{\text{FEM}} \quad (12b)$$

För att undvika en for-loop implementeras ekvation (12b) som följer. För diagonalmatrisen

$$\Lambda_m \stackrel{\text{def}}{=} \begin{pmatrix} \lambda_{m,1} & 0 & \cdots & \cdots & 0 \\ 0 & \lambda_{m,2} & \ddots & & 0 \\ \vdots & \ddots & \ddots & \ddots & \vdots \\ 0 & \cdots & \ddots & \lambda_{m,M-1} & 0 \\ 0 & \cdots & 0 & 0 & \lambda_{m,M} \end{pmatrix} \quad \text{med} \quad \lambda_{m,q} \stackrel{\text{def}}{=} \begin{cases} \frac{\phi_q^{d\text{T}} K_{0,e} \phi_m^d}{(2\pi\nu_q)^2 - (2\pi\nu_m)^2} & \text{för } q \neq m, \\ 0 & \text{för } q = m, \end{cases}$$

så följer det från (11b) att $\frac{\partial\phi_m^d}{\partial a_e} = \sum_{q=1}^M \lambda_{m,q} \phi_q^d$ är summan av kolumnvektorerna i

$$\Phi^d \Lambda_m \quad \text{med} \quad \Phi^d \stackrel{\text{def}}{=} (\phi_1^d \quad \cdots \quad \phi_M^d) = \text{phiFEM}(:, :, d).$$


```

1 function [d_omegam2_d_ae, d_phim_d_ae] = FoxKapoor(phiFEMcomp, nuFEMcomp, K0gr, SparseMtx)
2 % USAGE: [d_omegam2_d_ae, d_phim_d_ae] = FoxKapoor(SparseMtx)
3 %
4 % DESCRIPTION
5 % Computes the formulas (12) and (13) of Fox and Kapoor in
6 % "Damage assessment..."
7 %
8 % INPUTS
9 % phiFEMcomp = NxMxD vector of mode shape column vectors.
10 % nuFEMcomp = Mx1 vector of mode frequencies
11 % K_0e = NxNxN array of NxN element stiffness matrices
12 %
13 % OUTPUTS
14 % d_omegam2_d_ae = MxE-matrix
15 % d_phim_d_ae = NxMxDxE-array

18 [N, M, D] = size(phiFEMcomp);
19 if SparseMtx
20     E = length(K0gr); % Number of (groups of) elements
21 else
22     E = length(K0gr(1,1,:)); % Number of (groups of) elements
23 end

25 if D > 1
26     warning(['The Fox-Kapoor formulas are probably not yet correctly ' ...
27             'implemented for vibration modes that are not pure ' ...
28             'x-, y- or z-direction bending modes.']);
29 end
30 d_omegam2_d_ae = zeros(M, E, D); % Temporary D-dependence.
31 % See the last rows below.
32 d_phim_d_ae = zeros(N, M, D, E);

34 for e = 1:E
35     for m = 1:M
36         for d = 1:D
37             % Compute (12) in "Damage assessment..."
38             if SparseMtx
39                 K0grMat = K0gr{e};
40             else
41                 K0grMat = K0gr(:, :, e);
42             end
43             d_omegam2_d_ae(m, e, d) = -phiFEMcomp(:, m, d)' * K0grMat * phiFEMcomp(:, m, d);
44             % Compute (13) in "Damage assessment..." without for loop:
45             Lambda_mDiagonal = phiFEMcomp(:, :, d)' * K0grMat * phiFEMcomp(:, m, d) ...
46                 ./ ( (2*pi*nuFEMcomp).^2 - (2*pi*nuFEMcomp(m)).^2 );
47             Lambda_mDiagonal(m) = 0;
48             Lambda_m = diag(Lambda_mDiagonal);
49             % sum of column vectors
50             d_phim_d_ae(:, m, d, e) = sum( (phiFEMcomp(:, :, d) * Lambda_m) .') .';
51         end
52         % Quick and dirty handling of potentially different Fox-Kapoor
53         % right-hand sides for different d:
54         ind = find( abs(d_omegam2_d_ae(m, e, :)) > 1000*eps );
55         v = abs(d_omegam2_d_ae(m, e, ind));
56         if ( (max(v) - min(v)) > 1000*eps )
57             error(['Mode frequencies not correctly computed ' ...
58                 'in the multivariate case']);
59         else
60             d_omegam2_d_ae(m, e, :) = mean(d_omegam2_d_ae(m, e, ind));
61         end
62     end
63 end

```

D.3.7 InitAbaqusModelGroupsOLD.m

Sätter konstanter samt startvärden på uppdateringsparametrar.

```

1 function [OptConst, StructUpdating] = InitAbaqusModelGroupsOLD(AbaqusInpFileName, ...

```

```

2      MasterFemNodes ,MasterFemDofs ,...
3      MasterMeasDofs ,...
4      nuMeas ,phiMeas ,...
5      GroupNames ,...
6      Pmin ,Pmax ,PO ,...
7      CoarseMeshInd ,...
8      MeasX ,MeasY ,nX ,nY ,MeasDirection ,...
9      NrOfDofsPerNode ,...
10     RefNode ,RefDof ,...
11     SparseMtx ,...
12     ShapeResType ,WeightingStrategy ,...
13     ModePairingMethod ,...
14     ModeScalingMethod ,...
15     W ,...
16     PlotModeShapes)

18 OptConst = struct('AbaqusInpFileName',0,      ... % Abaqus input file name
19                  'MasterInd',0,             ... % indicies of meas points in entire modal
20                  'MasterFemDofs',0,         ... % shape should correspond to meas
21                  'MasterMeasDofs',0,         ... % needed for extraction from FEM model
22                  'RefNodeIndex',0,          ... % node corresponding to excitation
23                  'NrOfGroups',0,            ... % number of groups to be updated
24                  'NrOfDofsPerNode',0,       ... % in the FEM model (for preallocation)
25                  'Pmin',0,                  ... % P min constrain
26                  'Pmax',0,                  ... % P max constrain
27                  'P0',0,                    ... % initial value (guess)
28                  'nuMeas',0,                ... % eigen freqs from meas
29                  'phiMeas',0,               ... % eigen vectors from meas
30                  'CoarseMeshInd',0,         ... % in FemUpdating.m
31                  'SparseMtx',0,             ...
32                  'ShapeResType',0,          ...
33                  'WeightingStrategy',0,     ...
34                  'ModePairingMethod',0,     ...
35                  'ModeScalingMethod',0,     ...
36                  'Weights',0,               ...
37                  'TotNrOfNodes',0,         ... % is read from Abaqus inp file (for
38                  'TotNrOfModes',0,         ... % preallocation of mode shape and
39                  'AbaqusDatFileName',0,     ... % frequencies vector)
40                  'AbaqusModelPartFileName',0, ... % is read from Abaqus dat file
41                  'AbaqusHistPartFileName',0, ... % (for preallocation)
42                  'AbaqusDatFileName',0,     ... % created based on inp file name
43                  'AbaqusModelPartFileName',0, ... % created from Abaqus inp file
44                  'AbaqusHistPartFileName',0, ... % created from Abaqus inp file
45                  'MaterialNr2GrNrMap',0,    ...
46                  'NDamageFcts',0,          ...
47                  'K0gr',0,                  ... % loaded after 1st run of FEM model TEST
48                  'gridX',0,                 ... % that from element we produce the same
49                  'gridY',0,                 ... % answer
50                  'MeasDirection',0,         ...
51                  'PlotModeShapes',0);

56 if nargin==16 % use default values
57     disp('Processing of 14 arguments for FemUpdating');
58     OptConst.NrOfDofsPerNode = 6;
59     OptConst.SparseMtx      = true;
60     OptConst.ShapeResType   = '1_2';
61     OptConst.WeightStrategy = 'none';
62     OptConst.ModePairingMethod = 'MAC';
63     OptConst.ModeScalingMethod = 'SameSign';
64     OptConst.PlotModeShapes = true;
65     OptConst.Weights = Weights(size(phiMeas,2),...
66                               size(phiMeas,2)*length(MasterFemNodes)*length(MasterFemDofs),...
67                               OptConst.WeightStrategy);
68     RefNode = 0; RefDof = 0;
69 %elseif nXrgin==18 % do not plot mode shapes
70 elseif nargin < 16 || (nargin > 15 && nargin < 26)
71     error('Not enough number of parameters!')
72 else
73     OptConst.NrOfDofsPerNode = NrOfDofsPerNode;
74     OptConst.SparseMtx      = SparseMtx;

```

```

75 OptConst.ShapeResType = ShapeResType;
76 OptConst.WeightingStrategy = WeightingStrategy;
77 OptConst.ModePairingMethod = ModePairingMethod;
78 OptConst.ModeScalingMethod = ModeScalingMethod;
79 OptConst.PlotModeShapes = PlotModeShapes;
80 OptConst.Weights = W;
81 end

83 OptConst.AbaqusInpFileName = AbaqusInpFileName;
84 % FEM mode numbers corresponding to measured modes. Can be defined
85 % automatically by MAC criteria against measurement modes.
86 %OptConst.MasterModes = [7 8 9 10 12 13 16 17 18 19 20 21 22]; % FRF, undamaged
87 OptConst.MasterFemDofs = MasterFemDofs;
88 % x(=1), y(=2), z(=3)
89 OptConst.MasterMeasDofs = MasterMeasDofs;
90 OptConst.nuMeas = nuMeas;
91 OptConst.phiMeas = phiMeas;

93 N = length(MasterFemNodes);
94 D = length(MasterFemDofs);
95 OptConst.MasterInd = zeros(N*D,1);
96 k = 1;
97 for i=MasterFemNodes '
98     OptConst.MasterInd(k:k+D-1) = (i-1)*OptConst.NrOfDofsPerNode+OptConst.MasterFemDofs;
99     k = k+D;
100 end;

102 if RefDof~=0
103     % Choose nPlateExcFrc as reference degree of freedom for normalizing
104     % phiFEM and phiMeas in the function ModeShapeResid
105     nPlateExcFrc = (find(MasterFemNodes==RefNode)-1)*length(OptConst.MasterFemDofs)+...
106                 find(OptConst.MasterFemDofs==RefDof); % index of the excitation
107     OptConst.RefNodeIndex=nPlateExcFrc;
108 else
109     % Will make ModeShapeResid call ChooseRefAcc for choosing nRef:
110     OptConst.RefNodeIndex=0;
111 end

113 OptConst.NrOfGroups = length(GroupNames);
114 % if length(MasterFemNodes)~=OptConst.NrOfGroups
115 %     error('%s\n%s%d%s','Number of nodes on which the predicted mode shapes', ...
116 %         'will be indentified should be ',OptConst.NrOfGroups, '!');
117 % end;

119 OptConst.Pmin = Pmin; %Pa (Young modulus lower bound)
120 OptConst.Pmax = Pmax; %Pa (Young modulus upper bound)
121 %%%%%%%%%%%%%%%%%%%%%%%%%%%%%%%%%%%%%%%%%%%%%%%%%%%%%%%%%%%%%%%%%%%%%%%%%
122 % Initialization of the updating parameters and settings their bounds %%%
123 % For the rectangular measurement grid P0 is initialized by strips with the
124 % same Young modulus. You should know how the groups are defined in the
125 % Abaqus model to make a good choice of initial parameters! For the plate
126 % the groups were defined from upper left to lower right corners in columns
127 % and therefore the way to initialize the updating parameters! But this
128 % should be redefined if the group definition is different from the
129 % described above. Of course, one can set all group initial parameter value
130 % to the same constant if it is appropriate.
131 OptConst.P0 = P0;

133 OptConst.CoarseMeshInd = CoarseMeshInd;

135 OptConst.gridX = linspace(0,MeasX,nX); % along rect area
136 OptConst.gridY = linspace(0,MeasY,nY); % across rect area
137 OptConst.MeasDirection = MeasDirection;

139 % NOTE! Here you define number and Name (see *.inp file) for each group
140 % Number of the group associated with a particular material will be the
141 % same as index of this material in the GroupNames cell array
142 GrNr2GrNameMap = cell(1,OptConst.NrOfGroups);
143 for i=1:OptConst.NrOfGroups
144     GrNr2GrNameMap{i} = GroupNames{i};
145 end;

147 % We assume that the Name of the .dat and .mtx files coincides with the

```


D.3.8 InputParameters.m

Sätter lämpliga värden på indataparametrar för FEMupdating.

```

1 AbaqusInpFileName = 'Model-e-3-updated.inp';
2 %%%%%%%%%%%%%%%%%%%%%%%%%%%%%%%%%%%%%%%%%%%%%%%%%%%%%%%%%%%%%%%%%%%%%%%%%% MasterNodes %%%%%%%%%%%%%%%%%%%%%%%%%%%%%%%%%%%%%%%%%%%%%%%%%%%%%%%%%%%%%%%%%%%%%%%%%%
3 % NOTE! Order in which nodes appear in MasterNodes vector should be
4 % exactly the same as the order for nodes in phiMeas vector in which
5 % measurements were done.
6 MasterFemNodes = [56 119 181 243 332 ...
7                   52 115 177 239 324 ...
8                   48 111 173 235 318 ...
9                   44 107 169 231 312 ...
10                  40 103 165 227 306 ...
11                  36 99 161 223 300 ...
12                  32 95 157 219 294 ...
13                  28 91 153 215 288 ...
14                  24 87 149 211 282 ...
15                  20 83 145 207 276 ...
16                  16 79 141 203 270 ...
17                  12 75 137 199 264 ...
18                  8 71 133 195 258]';
19 MasterFemDofs = 3;
20 MasterMeasDofs = 3;

22 ModeShapeFile = 'TEST\MODES_FRF\ModeShapes13ModesNoDamage.txt'; % undamaged
23 ModeFreqFile = 'TEST\MODES_FRF\Frequencies13ModesNoDamage.txt'; %undamaged
24 phiMeas = dlmread(ModeShapeFile);
25 nuMeas = dlmread(ModeFreqFile);
26 nuMeas = nuMeas(:,1);

28 NrOfDofsPerNode = 6;

30 RefNode = 8; % node number corresponding to measurement point closest to the
31             % excitation force (shaker)
32 RefDof = 3; % excitation dof (1=X, 2=Y, 3=Z direction)

34 NrOfGroups = 65;
35 GroupNames = cell(1,NrOfGroups);
36 ConcreteStr = 'concrete-';
37 for i=1:NrOfGroups
38     GroupNames{i} = strcat(ConcreteStr,num2str(i));
39 end;

41 SparseMtx = true;
42 ShapeResType = 'l_2';
43 WeightingStrategy = 'none';
44 ModePairingMethod = 'MAC';
45 ModeScalingMethod = 'SameSign';

47 W = Weights(size(phiMeas,2),...
48             size(phiMeas,2)*length(MasterFemNodes)*length(MasterFemDofs),...
49             WeightingStrategy);

51 CoarseMeshInd = [1 3 5 11 13 15 21 23 25 31 33 ...
52                 35 41 43 45 51 53 55 61 63 65];

54 Pmin = 10*10^9*ones(NrOfGroups,1); %Pa (Young modulus lower bound)
55 Pmax = 40*10^9*ones(NrOfGroups,1); %Pa (Young modulus upper bound)
56 % Make initial guess of parameters in order in which groups appear in
57 % GrNr2GrNameMap

59 MeasY = 26.6; % cm
60 MeasX = 79.98; % cm
61 nY = 5; % number of measurement points in each row
62 nX = 13; % number of measurement rows
63 MeasDirection = 'AlongY'; % 'AlongX' or 'AlongY'
64 % make guess with the same values in each measurement row (column in meas grid!)
65 P0 = repmat(35+ 10*(rand(1,nX)-0.5),nY,1)*10^9;
66 P0 = P0(:);

68 PlotModeShapes = true;

```


D.3.9 InterpolFunctions.m

Producerar “tältfunktioner” som kan användas för att med linjär interpolation räkna ut värden för uppdateringsparametrar i punkterna `FineMesh` från uppdaterade värden i punkterna `CoarseMesh`.

```

1 function L=InterpolFunctions(MeshPts , CoarseMeshInd)
2 % USAGE: L=InterpolFunctions (FineMesh , CoarseMeshRowColInd)
3 %
4 % INPUTS
5 % FineMesh           = a 3-dimensional array with FineMesh(r,c,:1) and
6 %                   FineMesh(r,c,:2) being the x- and the y-coordinates
7 %                   of one point in the mesh
8 % CoarseMeshRowColInd = length 2 cell array with RowsInCoarseMesh and
9 %                   ColsInCoarseMesh being vectors containing the
10 %                   index sets for the first and second coordinate of
11 %                   FineMesh, respectively. This gives the coarse mesh
12 %                   for each point in which a tent function is computed.

15 %% == If no input, then make a default choice for demonstration/testing ==
16 if nargin==0
17     DemoMode=true;
18     NofRows=11;
19     NofCols=31;
20     NofRows=3 % DEBUG-OPTION!!!
21     NofCols=7 % DEBUG-OPTION!!!
22     D=2;
23     SigmaMesh=0.1; % Standard deviation for random deviation of mesh points
24                   % from the integers.
25     SigmaMesh=0
26     FineMesh=zeros(NofRows , NofCols , D);
27     for rr=1:NofRows
28         for cc=1:NofCols
29             FineMesh(rr , cc , :)=[cc , rr ];
30         end
31     end

33     FineMesh=FineMesh+SigmaMesh*randn(size(FineMesh));
34     NofPtsFineMesh=NofRows*NofCols;
35     MeshPts=reshape(FineMesh , NofPtsFineMesh , D);
36     ind=randperm(NofPtsFineMesh);
37     MeshPts=MeshPts(ind , :);

39     RowsInCoarseInd=[1:5:11];
40     ColsInCoarseInd=[1:5:31];
41     RowsInCoarseInd=[1:NofRows] % DEBUG-OPTION!!!
42     ColsInCoarseInd=[1:NofCols] % DEBUG-OPTION!!!
43     PtInCoarseGrid= repmat(false , NofRows , NofCols);
44     PtInCoarseGrid(RowsInCoarseInd , ColsInCoarseInd)=true;
45     PtInCoarseGrid=PtInCoarseGrid(:); % Reshape to column vector.
46     PtInCoarseGrid=PtInCoarseGrid(ind); % The same reordering as for MeshPts.
47     CoarseMeshInd=find(PtInCoarseGrid);
48 else
49     DemoMode=false;
50 end

52 %% == Sort mesh points into a (small deviation from) a rectangular mesh ==
53 [RectMesh , RectMeshInd , RowsInCoarseMesh , ColsInCoarseMesh] ...
54                                     = SortRectMeshPts(MeshPts , CoarseMeshInd);
55 [NofRows , NofCols , D]=size(RectMesh);
56 NofPtsFineMesh=NofRows*NofCols;

58 %% == Plot the numbering of the centerpoints =====
59 if DemoMode
60     FigNr=0;
61     FigNr=FigNr+1;
62     figure(FigNr);

```

```

63  clf

65  FineGridColour=colour('green');
66  CoarseGridColour=colour('red');

68  xCoords=RectMesh(:, :, 1);
69  xMin=min(xCoords(:));
70  xMax=max(xCoords(:));
71  yCoords=RectMesh(:, :, 2);
72  yMin=min(yCoords(:));
73  yMax=max(yCoords(:));
74  delta=0.15;
75  axis([xMin-delta xMax+delta yMin-delta yMax+delta])

78  IsInCoarseGrid= repmat([false], NofRows, NofCols);
79  IsInCoarseGrid(RowsInCoarseMesh, ColsInCoarseMesh)=true;
80  for cc=1:NofCols
81      for rr=1:NofRows
82          xy=RectMesh(rr, cc, :);
83          x=xy(1);
84          y=xy(2);
85          if IsInCoarseGrid(rr, cc)
86              text(x, y, int2str(RectMeshInd(rr, cc)), 'BackgroundColor', CoarseGridColour)
87          else
88              text(x, y, int2str(RectMeshInd(rr, cc)), 'BackgroundColor', FineGridColour)
89          end
90          hold on
91      end
92  end
93  hold off
94  xlabel('x')
95  ylabel('y')
96  title(['Center point positions (red for coarse mesh, \sigma_{mesh}= ' ...
97          num2str(SigmaMesh) ') numbered in the order that they appear ' ...
98          'in the input parameter MeshPts.'])
99  grid on
100 end

102 %% ===== Create tent functions =====
103 NofCMrows=length(RowsInCoarseMesh);
104 NofCMcols=length(ColsInCoarseMesh);

106 L=zeros(NofPtsFineMesh, NofCMrows*NofCMcols);
107 %TentFctNr=0;
108 for cInd=1:NofCMcols
109     cc=ColsInCoarseMesh(cInd);
110     for rInd=1:NofCMrows
111         %TentFctNr=TentFctNr+1;
112         rr=RowsInCoarseMesh(rInd);
113         TentFct=zeros(NofRows, NofCols);
114         TentFct(rr, cc)=1;

116         ind = max(find(RowsInCoarseMesh<rr));
117         if length(ind)==0
118             PrevRow=rr;
119         else
120             PrevRow = RowsInCoarseMesh(ind);
121         end
122         ind = min(find(RowsInCoarseMesh>rr));
123         if length(ind)==0
124             NextRow=rr;
125         else
126             NextRow = RowsInCoarseMesh(ind);
127         end
128         ind = max(find(ColsInCoarseMesh<cc));
129         if length(ind)==0
130             PrevCol=cc;
131         else
132             PrevCol = ColsInCoarseMesh(ind);
133         end
134         ind = min(find(ColsInCoarseMesh>cc));
135         if length(ind)==0

```

```

136     NextCol=cc;
137     else
138         NextCol = ColsInCoarseMesh(ind);
139     end

142     %% ===== Create all 1-8 "tent walls" =====
143     % Lower left quadrant:
144     rInd=PrevRow:rr;
145     cInd=PrevCol:cc;
146     if ( (length(rInd)>1) && (length(cInd)>1) )
147         x = RectMesh(rInd,cInd,1);
148         y = RectMesh(rInd,cInd,2);
149         PointsInPlane=[x(end,end) x(1,1) x(1,end)
150                        y(end,end) y(1,1) y(1,end)
151                        1 0 0];
152         TentWall1=zCoordsForPlane(PointsInPlane,x,y);
153         PointsInPlane=[x(end,end) x(end,1) x(1,1)
154                        y(end,end) y(end,1) y(1,1)
155                        1 0 0];
156         TentWall2=zCoordsForPlane(PointsInPlane,x,y);
157         TentFct(rInd,cInd)=min(TentWall1,TentWall2);
158     end

160     % Upper left quadrant:
161     rInd=rr:NextRow;
162     cInd=PrevCol:cc;
163     if ( (length(rInd)>1) && (length(cInd)>1) )
164         x = RectMesh(rInd,cInd,1);
165         y = RectMesh(rInd,cInd,2);
166         PointsInPlane=[x(end,1) x(1,end) x(1,1)
167                        y(end,1) y(1,end) y(1,1)
168                        0 1 0 ];
169         TentWall1=zCoordsForPlane(PointsInPlane,x,y);
170         PointsInPlane=[x(end,1) x(1,end) x(end,end)
171                        y(end,1) y(1,end) y(end,end)
172                        0 1 0 ];
173         TentWall2=zCoordsForPlane(PointsInPlane,x,y);
174         TentFct(rInd,cInd)=min(TentWall1,TentWall2);
175     end

177     % Upper right
178     rInd=rr:NextRow;
179     cInd=cc:NextCol;
180     if ( (length(rInd)>1) && (length(cInd)>1) )
181         x = RectMesh(rInd,cInd,1);
182         y = RectMesh(rInd,cInd,2);
183         PointsInPlane=[x(1,1) x(end,1) x(end,end)
184                        y(1,1) y(end,1) y(end,end)
185                        1 0 0];
186         TentWall1=zCoordsForPlane(PointsInPlane,x,y);
187         PointsInPlane=[x(1,1) x(end,end) x(1,end)
188                        y(1,1) y(end,end) y(1,end)
189                        1 0 0];
190         TentWall2=zCoordsForPlane(PointsInPlane,x,y);
191         TentFct(rInd,cInd)=min(TentWall1,TentWall2);
192     end

193     % lower right
194     rInd=PrevRow:rr;
195     cInd=cc:NextCol;
196     if ( (length(rInd)>1) && (length(cInd)>1) )
197         x = RectMesh(rInd,cInd,1);
198         y = RectMesh(rInd,cInd,2);
199         PointsInPlane=[x(end,1) x(1,1) x(1,end)
200                        y(end,1) y(1,1) y(1,end)
201                        1 0 0 ];
202         TentWall1=zCoordsForPlane(PointsInPlane,x,y);
203         PointsInPlane=[x(end,1) x(1,end) x(end,end)
204                        y(end,1) y(1,end) y(end,end)
205                        1 0 0 ];
206         TentWall2=zCoordsForPlane(PointsInPlane,x,y);
207         TentFct(rInd,cInd)=min(TentWall1,TentWall2);
208     end

```

```

210     if DemoMode
211         FigNr=FigNr+1;
212         figure(FigNr);
213         x = RectMesh(:, :, 1);
214         y = RectMesh(:, :, 2);
215         %mesh(1:NofCols, 1:NofRows, L);
216         surf(x, y, TentFct);
217         xlabel('x');
218         ylabel('y');
219         title(['Tent function with center point (' ...
220             num2str(RectMesh(rr, cc, 1)) ' ', ' ...
221             num2str(RectMesh(rr, cc, 2)) ' ')']);
222     end
223     % Finally, reorder the tent function points in the original order given
224     % by the index set RectMeshInd and the relation
225     %
226     % RectMesh(r, c, d) = MeshPts(RectMeshInd(r, c), d)
227     for rrr=1:NofRows
228         for ccc=1:NofCols
229             % Fine mesh point number for the current tent function:
230             CurrentTentFctFineMeshPtNr=RectMeshInd(rr, cc);
231             TentFctNr=find(CoarseMeshInd==CurrentTentFctFineMeshPtNr);
232
233             L(RectMeshInd(rrr, ccc), TentFctNr)=TentFct(rrr, ccc);
234         end
235     end
236 end
237 end

```

D.3.10 Jacobian.m

Räknar ut Jacobianen $J_r(\mathbf{a})$ som definieras i (9).

$$(J_r(\mathbf{a}))_{k,l} \stackrel{\text{def}}{=} \frac{\partial r_k}{\partial a_l}$$

```

1 function Jr = Jacobian(phiFEM, phiMeas, nuMeas, phiFEMcomp, nuFEMcomp, OptConst, MasterModes)
2 % USAGE: Jr = Jacobian(phiFEM, phiMeas, nuMeas, OptConst)
3 %
4 % DESCRIPTION
5 % Computes Jacobian matrix J_r with (J_r)_{k,l} = (d r_k)/(d a_l)
6 %
7 % INPUTS
8
9 % phiFEM = NxMxD vector of mode shape column vectors (FEM output).
10 % nuFEM = Mx1 vector of mode frequencies (FEM output).
11 % ShapeResType = The type of shape residual used.
12 % nRef = index of reference column in phiFEM
13 % phiMeas = NxMxD vector of mode frequencies (OMA output).
14 % nuMeas = Mx1 vector of mode frequencies (OMA output).
15 % K0 = NxNxN array of NxN element stiffness matrices
16 %
17 % OUTPUTS
18 % J_r = RxN-matrix with R=M(DN+1)
19
20 %global Kgr
21
22 [N, M, D]=size(phiFEM);
23 % [N, M, D]=size(phiFEMcomp);
24 if OptConst.SparseMtx
25     E=length(OptConst.K0gr);
26 else
27     E=length(OptConst.K0gr(1, 1, :)); % Number of (groups of) elements
28 end
29
30 % Compute the Fox-Kapoor formulas (12) and (13) in "Damage assessment..."
31 [d_lambda_m_d_ae, d_phim_d_ae] = FoxKapoor(phiFEMcomp, nuFEMcomp, OptConst.K0gr, ...
32                                             OptConst.SparseMtx);
33 %%% Reducton the output from Fox-Kapoor to %%%%%%%%%%%

```

```

35 d_lambda_m_d_ae = d_lambda_m_d_ae(MasterModes ,: ,:); % MxExD
36 d_phim_d_ae     = d_phim_d_ae(OptConst.MasterInd,MasterModes ,: ,:); % (N,M,D,E)

38 JrUpper = diag( (2*pi*nuMeas).^(-2) ) * d_lambda_m_d_ae; % MxE-matrix

40 %% Compute mode shape residual derivatives =====
41 JrLower=zeros(N,M,D,E); % Will be reshaped to N*M*DxE-matrix after the loop
42 for dd=1:D
43     for ee=1:E
44         if strcmp(OptConst.ShapeResType , 'diff')
45             for mm=1:M
46                 JrLower (:,mm,dd,ee) ...
47                     = ( d_phim_d_ae (:,mm,dd,ee)*phiFEM(nRef,mm,dd) ...
48                       - phiFEM (:,mm,dd)*d_phim_d_ae (nRef,mm,dd,ee) ) ...
49                       ./ (phiFEM(nRef,mm,dd)^2);
50             end
51         elseif strcmp(OptConst.ShapeResType , 'l_inf')
52             for mm=1:M
53                 [InfNormPhi,nMaxFEM] = max(abs(phiFEM (:,mm,dd)));
54                 % Differentiate abs(phiFEM(nMaxFEM,mm,dd)) using the chain rule:
55                 DiffInfNormPhi = d_phim_d_ae ( nMaxFEM(1),mm,dd,ee) ...
56                                     *sign(phiFEM(nMaxFEM(1),mm,dd));
57                 JrLower (:,mm,dd,ee) ...
58                     = ( d_phim_d_ae (:,mm,dd,ee)*InfNormPhi ...
59                       - phiFEM (:,mm,dd)*DiffInfNormPhi ...
60                       ) ./ (InfNormPhi^2);
61             end
62         elseif strcmp(OptConst.ShapeResType , 'l_2')
63             for mm=1:M
64                 normPHIfem = norm(phiFEM (:,mm,dd));
65                 JrLower (:,mm,dd,ee) = d_phim_d_ae (:,mm,dd,ee)./normPHIfem ...
66                                     - (d_phim_d_ae (:,mm,dd,ee)' ...
67                                       *phiFEM (:,mm,dd))/(normPHIfem^3) ...
68                                       *phiFEM (:,mm,dd);
69             end
70         else
71             for mm=1:M
72                 A = phiFEM (:,mm,dd).'*phiMeas (:,mm,dd);
73                 B = d_phim_d_ae (:,mm,dd,ee).'*phiMeas (:,mm,dd);
74                 C = phiFEM (:,mm,dd).'*phiFEM (:,mm,dd);
75                 DD = phiMeas (:,mm,dd).'*phiMeas (:,mm,dd);
76                 F = d_phim_d_ae (:,mm,dd,ee).'*phiFEM (:,mm,dd);
77                 if strcmp(OptConst.ShapeResType , 'MSF')
78                     JrLower (:,mm,dd,ee) = ( (2*A*F-B*C)/C*phiFEM (:,mm,dd) ...
79                                               - A*d_phim_d_ae (:,mm,dd,ee) ) ...
80                                               ./ (C*phiMeas (:,mm,dd));
81                 elseif strcmp(OptConst.ShapeResType , 'MAC')
82                     for nn=1:N
83                         JrLower (nn,mm,dd,ee) = 2*A*DD*(A*F-B*DD)/(C^2*DD);
84                     end
85                 else
86                     error('Incorrect input 'ShapeResType')
87                 end
88             end
89         end
90     end
91 end

93 JrLower=reshape( JrLower , N*M*D,E );

95 %% Assemble the full Jacobian =====
96 Jr=[JrUpper
97     JrLower];

```

D.3.11 ModeShapeResid

Räknar ut residualen (6).

```

1 function [r_s,nRef,phiRelOMA,phiRelFEM] ...
2         = ModeShapeResid(phiFEM,phiOMA,method,nRef)

```



```

3 | % Computes different residuals describing the size of the difference
4 | % between the simulated and measured mode shapes phiFEM and phiOMA.
5 | %
6 | % USAGE: r_s = ModeShapeResid(phiFEM,phiOMA,method,nRef)
7 | %
8 | % INPUT
9 | % phiFEM = NxMxD array with length N FEM-simulated mode shapes.
10 | % phiOMA = NxMxD array with length N measured mode shapes.
11 | % method = a string telling which method to use for comparison
12 | %         'diff':      difference of mode shapes normalized to have element
13 | %                     number nRef equal to one.
14 | %         'l_2':      difference of mode shapes normalized to have element
15 | %                     number nRef equal to one.
16 | %         'MSF' :      difference of mode shapes normalized to have element
17 | %                     number nRef equal to one
18 | %         'MAC' :      The sine squared of the angles between the column
19 | %                     vectors in phiFEM and phiOMA, respectively.
20 | %                     (Scalar, contrary top the previous ones.)
21 | %
22 | % nRef = optional input specifying which node point that will be used
23 | %       for normalization before comparing phiFEM and phiOMA.
24 | %       If not specified or if nRef=0, ChooseRefAcc is called for
25 | %       an automatic choice of nRef.
26 | %
27 | % OUTPUT
28 | % r_s =
29 | % nRef = same as the input nRef, if present and nonzero, and otherwise
30 | %       chosen by calling the function ChooseRefAcc.
31 | % phiRelOMA = the resulting normalized phiOMA that is used if the input
32 | %             method is 'diff'
33 | % phiRelFEM = the resulting normalized phiOMA that is used if the input
34 | %             method is 'diff'

36 | [N,M,D]=size(phiFEM);
37 | r_s = zeros(N,M,D);

39 | %% ===== First check signs =====
40 | % phiFEM=SameSign(phiFEM,phiOMA);

42 | %% ===== First, do normalization =====
43 | if ( nargin < 3 || nRef == 0 )
44 |     % Choose the reference node point that will be used for normalization.
45 |     [phiRelOMA,phiRelFEM,nRef] = ChooseRefAcc(phiOMA,phiFEM);
46 | else
47 |     phiRelOMA = zeros(N,M,D);
48 |     phiRelFEM = zeros(N,M,D);
49 |     for mm=1:M
50 |         for dd=1:D
51 |             if ( strcmp(method,'diff') && (min(abs([phiFEM(nRef,mm,:);phiOMA(nRef,mm,:)]))<1e-8) )
52 |                 error('uh oh...')
53 |             end
54 |             phiRelFEM(:,mm,:) = phiFEM(:,mm,:)/phiFEM(nRef,mm,:);
55 |             phiRelOMA(:,mm,:) = phiOMA(:,mm,:)/phiOMA(nRef,mm,:);
56 |         end
57 |     end;
58 | end

60 | %% ===== Next, compute the residual =====
61 | if strcmp(method,'diff')
62 |     r_s = phiRelFEM - phiRelOMA;
63 | elseif strcmp(method,'l_inf')
64 |     for mm=1:M
65 |         for dd=1:D
66 |             r_s(:,mm,dd) = phiFEM(:,mm,dd)./max(abs(phiFEM(:,mm,dd))) ...
67 |                 - phiOMA(:,mm,dd)./max(abs(phiOMA(:,mm,dd)));
68 |         end
69 |     end
70 | elseif strcmp(method,'l_2')
71 |     for dd = 1:D
72 |         for mm = 1:M
73 |             normPHIfem = norm(phiFEM(:,mm,dd));
74 |             normPHIoma = norm(phiOMA(:,mm,dd));
75 |             r_s(:,mm,dd) = phiFEM(:,mm,dd)./normPHIfem ...

```

```

76         - phiOMA(:,mm,dd)./normPHIoma;
77     end
78 end
79 elseif strcmp(method,'MSF')
80     % The normalized phiRelOMA and phiRelFEM not needed
81     r_s=zeros(N,M,D);
82     for mm=1:M
83         for dd=1:D
84             r_s(:,mm,dd) = ( phiOMA(:,mm,dd) ...
85                 - phiFEM(:,mm,dd).*phiOMA(:,mm,dd)*phiFEM(:,mm,dd) ...
86                 ./norm(phiFEM(:,mm,dd))^2);
87         end
88     end
89 elseif strcmp(method,'MAC')
90     r_s=zeros(1,M,D);
91     for mm=1:M
92         for dd=1:D
93             r_s(1,mm,dd) = 1 - ( phiFEM(:,mm,dd).*phiOMA(:,mm,d) ) ^2 ...
94                 /( phiFEM(:,mm,dd).*phiFEM(:,mm,d) ...
95                 *phiOMA(:,mm,dd).*phiOMA(:,mm,d) );
96         end
97     end
98 else
99     error('Incorrect input 'method')
100 end

```

D.3.12 ObjFun.m

Anropas av `fmincon` för att räkna ut värden, derivator och andraderivator av målfunktionen med formlerna i Avsnitt D.2.

```

1 function [f, Gradf, HfApprox]=ObjFun(p, OptConst, StructUpdating)
2 % USAGE: [f, Gradf, HfApprox]=ObjFun(p, OptConst)
3 %
4 % DESCRIPTION
5 %
6 % INPUTS
7 % a      = Ex1-vector with decision parameters. For element/group nr e,
8 %         the updated physical property X(e) relates to its initial value
9 %         via the multiplication X(e)=X_0(e)(1-a(e))
10 % OptConst = structure containing all necessary constants for the
11 %           optimization algorithm, see InitAbaqusModel.m file.
12 %
13 % OUTPUTS
14 % f      = objective function
15 % Gradf  = gradient of f
16 % HfApprox = approximation of the Hessian of f
17
18 %global aOld
19 %global phiFEMcomp
20 %global nuFEMcomp
21
22 %first time is zero but should be of right size
23 a = OptConst.NDamageFcts*p;
24
25 disp(['a= [ ' num2str(a) ' ]']);
26 Prouded=round((OptConst.PO.*(1-a)'/10^8)/10;
27 disp(['P= [ ' num2str(Prouded) ' ]']);
28 % Call Abaqus for computing new phiFEM, nuFEM and K_0e:
29 if norm(a)~=0
30     [OptConst, phiFEMcomp, nuFEMcomp] = ComputeNewModes(a, [], [], OptConst, StructUpdating);
31 else
32     [phiFEMcomp, nuFEMcomp] = ReadFreqDatFile(OptConst.AbaqusDa ... tFileName, ...
33         OptConst.TotNrOfNodes, ...
34         OptConst.TotNrOfModes, ...
35         OptConst.NrOfDofsPerNode);
36 end;
37
38 phiFEM = phiFEMcomp(OptConst.MasterInd, :);

```

```

40 if ~strcmp(OptConst.ModePairingMethod, 'none')
41     [MasterModes, phiFEM, nuFEM, phiMeas, nuMeas] = PairModes(phiFEM, ...
42         nuFEMcomp, OptConst.phiMeas, OptConst.nuMeas, ...
43         OptConst.ModePairingMethod);
44 else
45     MasterModes = 1:length(OptConst.nuMeas);
46     phiFEM = phiFEM(:, MasterModes);
47     nuFEM = nuFEMcomp(MasterModes);
48 end;

50 if ~strcmp(OptConst.ModeScalingMethod, 'none')
51     phiMeas = ScaleModes(phiFEM, OptConst.phiMeas, OptConst.ModeScalingMethod);
52 end;

54 display(['nu = [ ' num2str(nuFEM) ' ]]);
55 %% Compute the residuals and the objective function =====
56 %% Make sure that phiFEM and phiMeas "have the right sign"
57 %% Probably should be changed to MSF ???

59 r_f = (nuFEM.^2 - OptConst.nuMeas.^2) ./ OptConst.nuMeas.^2;
60 r_s = ModeShapeResid(phiFEM, phiMeas, OptConst.ShapeResType, ...
61     OptConst.RefNodeIndex);
62 r_f = r_f(:); % Make column vector
63 r_s = r_s(:); % Make column vector
64 r=[r_f(:) ; r_s(:)]; % The residual

66 %Redefine Weights in order to satisfy r!!!!

68 %[r,w]=ResidAndWeights(r_f,r_s,WeightingStrategy);
69 W=diag(OptConst.Weights); % Diagonal weight matrix
70 f = sum( r.^2.*OptConst.Weights )/2; % The objective function

72 %% Compute the gradient and the Hessian of f =====
73 Jra = Jacobian(phiFEM, phiMeas, OptConst.nuMeas, ...
74     phiFEMcomp, nuFEMcomp, OptConst, MasterModes); % an RxE-matrix with R=M(DN+1)

76 Jrp=Jra*OptConst.NDamageFcts;
77 Gradf = Jrp.*W*r;
78 disp(['ObjFun : ' num2str(f)]);
79 disp(['Grad Fox: ' num2str(Gradf.)]);
80 HfApprox = Jrp.*W*Jrp;
81 if size(HfApprox,1)==1
82     disp(['Hess Fox: ' num2str(HfApprox.)]);
83 else
84     disp(['Hess Fox (1,1) (1,2): ' num2str(HfApprox(1,1)) ' , ' num2str(HfApprox(1,2))]);
85     disp(['Hess Fox (2,1) (2,2): ' num2str(HfApprox(2,1)) ' , ' num2str(HfApprox(2,2))]);
86 end;

88 figure(OptConst.NrOfGroups)
89 Pupdated = OptConst.PO.*(1-a);
90 len = length(r_f);
91 wF = OptConst.Weights(1:len);
92 lenS = length(phiFEM);
93 wS = OptConst.Weights(len+1:lenS:end);
94 PlotUpdatingParams(OptConst.PO, Pupdated, OptConst.gridX, OptConst.gridY, wF', wS', f);

96 %%%%%%%%%%%%%%%%%%%%%%%%%%%%%%%%%%%%%%%%%%%%%%%%%%%%%%%%%%%%%%%%%%%%%%%%%%
97 if OptConst.PlotModeShapes
98     PlotModeShapes(OptConst, MasterModes, phiFEM, nuFEM, phiMeas, nuMeas);
99 end

101 %% Import current mode shapes, mode frequencies and stiffness matrices =====
102 %% The function fmincon calls ComputeNewModes after each iteration of the
103 %% Newton trust region algorithm for running Abaqus and copy some chosen
104 %% to the global variable struct_abaqus, from which we now will need the
105 %% last computed mode shapes, their mode frequencies and the local
106 %% stiffness matrix for each (group of) elements.
107 %
108 % In the current version of this software, we only compare the bending mode
109 % shapes in z-direction

111 function phiMeas = ScaleModes(phiFEM, phiMeas, ModeScalingMethod)

```

```

112 if strcmp(ModeScalingMethod, 'SameSign')
113     phiMeas=SameSign(phiFEM,phiMeas);
114 elseif strcmp(ModeScalingMethod, 'MSF')
115     n = size(phiMeas,2);
116     MSF = zeros(n,1);
117     for i=1:n
118         MSF(i) = phiFEM(:,i).'*phiMeas(:,i)/(phiMeas(:,i).'*phiMeas(:,i));
119         phiMeas(:,i) = MSF(i)*phiMeas(:,i);
120     end;
121 end;

```

D.3.13 PairModes.m

Anropas av ObjFun för att para ihop förutspådda och uppmätta modformer.

```

1 function [BestMatchingFEMind, phiFEM, nuFEM, phiMeas, nuMeas] = ...
2     PairModes(phiFEM, nuFEM, phiMeas, nuMeas, ModePairingMethod)
3 % (Updated October 34 2013 by Niklas)
4
5 DEBUG = true
6
7 nofObsModes = size(phiMeas,2); % Number of observed modes in measurements
8 nofPredModes = size(phiFEM,2); % Number of predicted modes from FE model
9
10 if strcmp(ModePairingMethod, 'MAC')
11
12     %% ===== MAC criteria for pairing of mode shapes =====
13     MACt = zeros(nofPredModes, nofObsModes); % Table of MAC values
14     for pp=1:nofPredModes
15         for oo=1:nofObsModes
16             MACt(pp,oo) = MAC(phiFEM(:,pp), phiMeas(:,oo)); % Defined below
17         end;
18     end;
19
20     indRC=GreedyPickLarge(MACt);
21     %% Now sort the picked pairs so that the observed modes (columns)
22     %% keep their original order and the predicted modes (rows) are
23     %% reordered accordingly
24     [dummy, ind]=sort(indRC(:,2)); % Br motsvara OptConst.MasterModes
25     if DEBUG
26         MACt=MACt(indRC, :);
27         indRC=indRC(ind, :);
28         ind=ind(indRC, :);
29     end
30     BestMatchingFEMind=indRC(ind,1);
31     phiFEM = phiFEM(:, BestMatchingFEMind);
32     nuFEM = nuFEM( BestMatchingFEMind);
33
34     if DEBUG
35         disp(['Permutation indices for FEM modeshapes: [' num2str(BestMatchingFEMind(:).') ']);
36         disp('Should be similar to the following manual choice done by Natalia:');
37         disp(['OptConst.MasterModes = [7 8 9 10 12 13 16 17 18 19 20 21 22]; % FRF, undamaged'])
38     end
39
40     %% Mode pairing with respect to modeshapes done.
41     %% The observed mode shapes (phiMEAS) are now sorted after increasing
42     %% frequency (nuMeas), but the same might not hold for the predicted
43     %% mode shapes
44
45     % Code will follow here for warning messages when the predicted modes not
46     % comes in increasing frequency order.
47     for ii = 1:(length(ind)-1)
48         if ind(ii)>ind(ii+1)
49             warning('xxx')
50         end
51     end
52
53     %% OLD VERSION:
54     [maxx lookupTable] = max(MACt); % lookupTable contains the row numbers of
55     % the positions where the maximum

```

```

56 %                                     % elements of each column in MACt are
57 %                                     % placed
58 % %lookupTable(4) = 4;
59 % len = length(lookupTable);
60 % %rem = [];
61 % for k=1:len
62 %     ind = find(lookupTable==lookupTable(k));
63 %     if length(ind)>1
64 %         % If more than one observed mode share the same "closest" predicted
65 %         % mode shape
66 %         tmpMAC = MACt(:,ind(1));
67 %         tmpMAC(lookupTable(ind(1))) = 0;
68 %         [mm1 ii1] = maxx(tmpMAC); % Find SECOND best match
69 %         if mm1>0.5 && lookupTable(ind(1))>ii1 % Why second condition????
70 %             lookupTable(ind(1)) = ii1;
71 %             %             elseif mm1<=0.5 && lookupTable(ind(1))>ii1
72 %             %                 rem = [rem k];
73 %         end;
74 %         tmpMAC = MACt(:,ind(2));
75 %         tmpMAC(lookupTable(ind(2))) = 0;
76 %         [mm2 ii2] = maxx(tmpMAC);
77 %         % [mm2 ii2] = max(MACt(MACt(:,ind(2)))~=maxi(ind(2)),ind(2)));
78 %         if mm2>0.5 && lookupTable(ind(2))<ii2 % Why second condition?????????
79 %             lookupTable(ind(2)) = ii2;
80 %             %             elseif mm2<=0.5 && lookupTable(ind(2))<ii2
81 %             %                 rem = [rem k];
82 %         end
83 %     end;
84 % end;
85 % %warning('ComputeNewModeShapes.m: Remove change in lookup table!!!');
86 % phiFEM = phiFEM(:,lookupTable);
87 % nuFEM = nuFEM(lookupTable);
88 end;

91 %% == Modal assurance criterion for vectors u and v ==
92 function MACuv = MAC(u,v)
93 MACuv = abs(u'*v)^2 / ( u'*u * v'*v );

```

D.3.14 PlotModeShapes.m

Anropas av ObjFun för att plotta modformer om konstanten OptConst.PlotModeShapes är satt till true.

```

1 function PlotModeShapes(OptConst,MasterModes,phiFEM,nuFEM,phiMeas,nuMeas)
3 % Is anB scaling of mode shapes required here??
5 ModeFigNum = 1;
6 if ~isempty(find(findobj('type','figure')==ModeFigNum,1))
7     clf(ModeFigNum),
8 end;
9 [X,Y] = meshgrid(OptConst.gridX,OptConst.gridY);
10 % X,Y - matrices of length(OptConst.gridB) x length(OptConst.gridA) size
11 nX = length(OptConst.gridX);
12 nY = length(OptConst.gridY);
13 NrOfModes = length(MasterModes);
14 NrOfCols = 3;
15 NrOfRows = ceil(NrOfModes/NrOfCols);
16 NrOfDofs = length(OptConst.MasterFemDofs);
17 if strcmp(OptConst.MeasDirection,'AlongX')
18     n1 = nX; n2 = nY;
19 else %'AlongY'
20     n1 = nY; n2 = nX;
21 end;
22 figure(ModeFigNum);
23 for k=1:NrOfModes
24     subplot(NrOfRows,NrOfCols,k);
25     XYZfem=zeros(size(X,1),size(X,2),3);

```



```

26 XYZmea=zeros(size(X,1),size(X,2),3);
27 for kk=1:NrOfDofs
28     XYZfem(:,:,OptConst.MasterMeasDofs(kk)) = ...
29         reshape(phiFEM(kk:NrOfDofs:end,k),n1,n2);
30     XYZmea(:,:,OptConst.MasterMeasDofs(kk)) = ...
31         reshape(phiMeas(kk:NrOfDofs:end,k),n1,n2);
32 end;
33 %ZZfem = reshape(OptConst.phiFEM(:,k),nB,nA);
34 surf(X+XYZfem(:,:,1),Y+XYZfem(:,:,2),XYZfem(:,:,3)); hold on
35 %ZZmea = reshape(OptConst.phiMeas(:,k),nB,nA);
36 surf(X+XYZmea(:,:,1),Y+XYZmea(:,:,2),XYZmea(:,:,3)); hold on
37 title(['FEM mode ' num2str(MasterModes(k)) ': ' ...
38         num2str(nuFEM(k)) ' Hz (Meas ' ...
39         num2str(nuMeas(k)) ' Hz)']);
40 end;

```

D.3.15 PlotUpdatingParams.m

Anropas av ObjFun för att plotta aktuellt värde på uppdateringsparametrar.

```

1 function PlotUpdatingParams(P0,P,gridX,gridY,wF,wS,f)
2 % P = vector of length 21
3
4 P=P(:); % Make column vector
5 P=reshape(P,length(gridY),length(gridX));
6 % is it still ok if the number of groups less than the number of meas
7 % points???
8 X = gridX;
9 Y = gridY;
10 pcolor2(X,Y,P);
11 colorbar
12
13 nn=0;
14 for nX = 1:length(X)
15     for nY = 1:length(Y)
16         nn=nn+1;
17         text(X(nX),Y(nY)+2, ['P0=' num2str( round(P0(nn)/10^8)/10 )], ...
18             'HorizontalAlignment','center')
19         text(X(nX),Y(nY), ['P=' num2str( round(P(nn)/10^8)/10 )], ...
20             'HorizontalAlignment','center')
21     end
22 end
23
24 title(['P for {\it w_f}=[ ' num2str(wF) ...
25         ' ], {\it w_s}=[ ' num2str(wS) ...
26         ' ], obj fun=' num2str(f) ] )
27
28
29
30 function pcolor2(X,Y,P)
31 P= [P P(:,end)
32     P(end,:) P(end,end)];
33 X=X(:);
34 deltaX=X(2)-X(1);
35 X=[X-deltaX/2;X(end)+deltaX/2];
36 Y=Y(:);
37 deltaY=Y(2)-Y(1);
38 Y=[Y-deltaY/2;Y(end)+deltaY/2];
39 %Y=flipud(Y);
40 pcolor(X,Y,P);

```

D.3.16 rcMax.m

Anropas av GreedyPickLarge för att hitta maximalt element i en matris, samt rad- och kolumnindex för detta.

```

1 function [maxA,r,c]=rcMax(A);
2 % Find the largest element in the matrix A, as well as its row- and column
3 % index of
4
5 [rows,cols]=size(A);
6 if ( rows==1 )
7     r=1;
8     [maxA,c]=max(A);
9 elseif ( cols==1 )
10    c=1;
11    [maxA,r]=max(A);
12 else
13    [colMax,RowInds]=max(A); % Max of each column and the row index for each
14    [maxA,c]=max(colMax);
15    r=RowInds(c);
16 end
17
18 %% Test code
19 % A=rand(4,4)
20 % [maxA,r,c]=rcMax(A)
21 % A=rand(1,4)
22 % [maxA,r,c]=rcMax(A)
23 % A=rand(4,1)
24 % [maxA,r,c]=rcMax(A)

```

D.3.17 ReadElementStiffMtxFile.m

Anropas av InitAbaqusModelGroupsOLD för att läsa in styvhetsmatrisen K_0 från utdatafil från Abaqus.

```

1 function Ke = ReadElementStiffMtxFile(nofNodes,nofDofs,lookup,file,SparseMtx)
2
3 % Note we cannot compose the global stiffness matrix by using .mtx file ,
4 % since it could happen that the element set associated with this file is
5 % not complete, i.e. not cover the whole structure. Check for that the
6 % Abaqus .inp file for the definition of ELEMENT MATRIX OUTPUT.
7 % If we need the global stiffness and mass matrices it is a good idea to
8 % retrieve them in separate files by saying this in the .inp file.
9
10 % Example:
11 % Ke = ReadElementStiffMtxFile(1500,6,[ones(366,1);2], 'Matrix.txt',1);
12 % file = 'Matrix.txt';
13 % SparseMtx = 1;
14 % nofNodes = 1500; % number of global nodes
15 % nofDofs = 6; % Assume each node in the FE model has 6 dofs
16 % nofGroups = 2;
17 % lookup = ones(366,1);
18 % lookup(366) = 2;
19
20 ElementNumberPattern = '**\s*(ELEMENT NUMBER)\s+(\d+)';
21 UserElemNodesPattern = '*(USER ELEMENT, NODES)=\s+(\d+)';
22 ElementNodesPattern = '**\s*(ELEMENT NODES)';
23 StiffMatrixPattern = '*\s*(MATRIX,TYPE=STIFFNESS)';
24 IntNumberPattern = '\d+';
25 MatrixElementsPattern = '[+-]?(\d+\.|\d+|\d+\.|\.\.\d+|\d+)([eE][+-]?\d+)?';
26
27 Tokens = cell(1);
28 Tokens{1} = 'ELEMENT NUMBER';
29 Tokens{2} = 'USER ELEMENT, NODES';
30 Tokens{3} = 'ELEMENT NODES';
31 Tokens{4} = 'MATRIX,TYPE=STIFFNESS';
32
33 nofGroups = max(lookup); % no. of groups
34
35 KNofRows = nofNodes*nofDofs; % Nr of rows in the stiffness matrix
36 if SparseMtx
37     Ke = cell(nofGroups,1);
38     for gg=1:nofGroups

```

```

39     Ke{gg} = sparse(KNofRows ,KNofRows );
40     end
41 else
42     Ke = zeros(KNofRows ,KNofRows ,nofGroups );
43 end

46 fid = fopen(file);
47 tline = fgetl(fid); % Read next line from file

49 pattern = ElementNumberPattern;
50 while ischar(tline) % if tline is array of characters
51     [str tok] = regexp(tline ,pattern , 'match' , 'tokens' );
52     if ~isempty(str)
53         %disp(str)
54         index = strmatch(tok{1}{1} ,Tokens , 'exact' );
55         switch index
56             case 1 % Reading element number line
57                 ElemNumber = str2num(tok{1}{2});
58                 GrNr = lookup(ElemNumber);
59                 pattern = UserElemNodesPattern;
60             case 2 % Reading element nodes number line
61                 nofNodesInElem = str2num(tok{1}{2});
62                 pattern = ElementNodesPattern;
63             case 3 % Reading nodes in the current element
64                 NodesInElem = [];
65                 while ( length(NodesInElem) < nofNodesInElem )
66                     tline = fgetl(fid);
67                     %disp(tline)
68                     ElemNodesStr=regexp(tline ,IntNumberPattern , 'match' );
69                     NodesInElem = [ NodesInElem cell2num(ElemNodesStr) ];
70                 end
71                 tline = fgetl(fid);
72                 str=regexp(tline , ',' , 'split' );
73                 str = strtrim(str);
74                 dofNrs = cell2num(str);
75                 LocalNofDofs = length(dofNrs);
76                 pattern = StiffMatrixPattern;
77             case 4 % Reading element stiffness matrix
78                 KeNofRows = nofNodesInElem*LocalNofDofs;
79                 % Nr rows in the element stiffness matrix
80                 KeLoc = zeros(KeNofRows); % Element stiffnes matrix
81                 % == Read the elements in and below the diagonal of KeLoc
82                 for RowNr = 1:KeNofRows
83                     MatrixElements=[];
84                     while ( length(MatrixElements) < RowNr )
85                         tline = fgetl(fid);
86                         MatrElemStr=regexp(tline ,MatrixElementsPattern , 'match' );
87                         MatrixElements = [ MatrixElements cell2num(MatrElemStr) ];
88                     end
89                     KeLoc(RowNr ,1:RowNr)=MatrixElements;
90                 end
91                 KeLoc = Triang2SymmMtx(KeLoc);
92                 Dofs = LocalInd2GlobalInd(NodesInElem ,dofNrs);
93                 % Assemble the current element stiffnes matrix at the right
94                 % place in the current element group stiffness matrix
95                 if GrNr~=0
96                     if SparseMtx
97                         Ke{GrNr}(Dofs ,Dofs) = Ke{GrNr}(Dofs ,Dofs) + KeLoc;
98                     else
99                         Ke(Dofs ,Dofs ,GrNr) = Ke(Dofs ,Dofs ,GrNr) + KeLoc;
100                     end
101                 end;
102                 pattern = ElementNumberPattern;
103             end;

105     end;
106     tline = fgetl(fid); % Read next line from file
107 end;

109 fclose(fid);

111 %% =====

```

```

112 %% == SUPPLEMENTARY FUNCTIONS ==
113 %% =====
115 %% == Convert a cell array of strings to a row vector of numbers ==
116 function arr = cell2num(cellArray)
117 % Avoid empty string caused by trailing commas:
118 if length(cellArray{end})==0
119     cellArray=cellArray(1:end-1);
120 end
122 len = length(cellArray);
123 arr = zeros(1,len);
124 for i=1:len
125     arr(i) = str2num(cellArray{i});
126 end;
128 %% == Translate from local to global stiffnes matrix row/column index ==
129 function Dofs = LocalInd2GlobalInd(NodesInElem,dofNrs)
131 LocalNofDofs = length(dofNrs);
132 nofNodesInElem = length(NodesInElem);
134 offset = LocalNofDofs*(NodesInElem-1);
135 offsets = repmat(offset,LocalNofDofs,1);
136 tmp = offsets + repmat(dofNrs(:),1,nofNodesInElem);
137 Dofs = tmp(:);

```

D.3.18 ReadFreqDatFile.m

Anropas av ComputeNewModes.m och ObjFun.m för att läsa in modfrekvenser från utdatafil från Abaqus.

```

1 function [phiFEMcomp,nuFEMcomp] = ReadFreqDatFile(file,...
2             TotNrOfNodes,...
3             TotNrOfModes,...
4             NrOfDofsPerNode)
5 % INPUT:
6 % file = name for the Abaqus ".dat" file with eigenfrequencies and mode shapes
7 % TotNrOfNodes = number of nodes in the entire FE model
8 % TotNrOfModes = number of modes found for the FE model
9 % NrOfDofsPerNode = number of dofs for each node in the FE model
11 % OUTPUT:
12 % nuFEMcomp = TotNrOfModes number of eigenfrequencies for the entire FE model
13 % phiFEMcomp = TotNrOfModes number of mode shapes corresponding to nuFEMcomp and
14 %             defined for the predefined set in the Abaqus '*.dat' file
16 phiFEMcomp = zeros(TotNrOfNodes*NrOfDofsPerNode,TotNrOfModes);
17 nuFEMcomp = zeros(TotNrOfModes,1);
19 EigenvalueOutputPattern = '**\s*(E I G E N V A L U E   O U T P U T)\s+';
20 EigenvalueNumberPattern = '**\s*(E I G E N V A L U E   N U M B E R)\s+(\d+)';
22 Tokens = cell(1);
23 Tokens{1} = 'E I G E N V A L U E   O U T P U T';
24 Tokens{2} = 'E I G E N V A L U E   N U M B E R';
26 fid = fopen(file);
27 tline = fgetl(fid);
28 %ModeNumber = 0; % mode shape number counter
30 pattern = EigenvalueOutputPattern;
32 while ischar(tline) % if tline is array of characters
33     [str tok] = regexp(tline,pattern,'match','tokens');
34     if ~isempty(str)
35         %disp(str)
36         index = find(strcmp(Tokens,tok{1}{1}));
37         switch index

```

```

38     case 1 % Reading eigenvalue output
39         % skip 5 lines
40         fgetl(fid); fgetl(fid); fgetl(fid); fgetl(fid); fgetl(fid);
41         str = fgetl(fid);
42         while ~isempty(str)
43             data = textscan(str, '%s%f64%f64%f64%f64'); % read formatted data
44             nuFEMcomp(sscanf(cell2mat(data{1}), '%u')) = data{4}; % frequency in
45                                                         % cycles/time
46             str = fgetl(fid)
47         end;
48         pattern = EigenvalueNumberPattern;
49     case 2 % Reading eigenvalue number
50         ModeNumber = str2num(tok{1}{2});
51         % skip 14 lines
52         fgetl(fid); fgetl(fid); fgetl(fid); fgetl(fid); fgetl(fid);
53         fgetl(fid); fgetl(fid); fgetl(fid); fgetl(fid); fgetl(fid);
54         fgetl(fid); fgetl(fid); fgetl(fid); fgetl(fid);
55         data = strread(fgetl(fid));
56         ind = 1;
57         while ~isempty(data)
58             phiFEMcomp(ind:ind+NrofDofsPerNode-1, ModeNumber) = ...
59                 data(2:NrofDofsPerNode+1);
60             ind = ind + NrofDofsPerNode;
61             data = strread(fgetl(fid));
62         end;
63         %ModeNumber = ModeNumber + 1;
64     case 0
65         break;
66     end;
67 end;
68 tline = fgetl(fid);
69 end;
70 fclose(fid);

```

D.3.19 ReadStructMaterial.m

Anropas av InitAbaqusModelGroupsOLD.m för att läsa in uppdateringsparametrar från Abaqus.

```

1 function StructMaterial = ReadStructMaterial(AbaqusMaterialPartFileName)
2 % USAGE: StructMaterial = ReadStructMaterial('AbaqusMaterialSectionFile.inp')
3
4 StructMaterial = struct('Name',0,'Density',0,'Elastic',0,'Poisson',0);
5
6 MaterialPattern = '*(Material),\s+name=([a-zA-Z0-9_#]+)';
7 ElasticPattern = '*(Elastic)';
8 DensityPattern = '*(Density)';
9
10 Tokens{1} = 'Material';
11 Tokens{2} = 'Density';
12 Tokens{3} = 'Elastic';
13
14 fid = fopen(AbaqusMaterialPartFileName);
15 tline = fgetl(fid);
16 pattern = MaterialPattern;
17
18 MaterialIndex = 0;
19
20 while ischar(tline) % if tline is array of characters
21     %disp(tline)
22     %if strcmp(tline, '*Frequency, eigensolver=Lanczos, acoustic coupling=on, normalization=<=>
23     mass')
24     [mat tok] = regexp(tline, pattern, 'match', 'tokens');
25     if ~isempty(tok)
26         index = strmatch(tok{1}{1}, Tokens, 'exact');
27         if ~isempty(index)
28             switch index
29                 case 1 % Reading material properties
30                     MaterialName = tok{1}{2};
31                     MaterialIndex = MaterialIndex + 1;
32                     StructMaterial(MaterialIndex).Name = MaterialName;

```



```

32         pattern = DensityPattern;
33         case 2 % Reading density value
34             tline = fgetl(fid);
35             str = regexp(tline, ',', 'split');
36             strn = strtrim(str);
37             StructMaterial(MaterialIndex).Density = str2num(strn{1});
38             pattern = ElasticPattern;
39         case 3 % Reading elastic properties
40             tline = fgetl(fid);
41             str = regexp(tline, ',', 'split');
42             strn = strtrim(str);
43             StructMaterial(MaterialIndex).Elastic = str2num(strn{1});
44             StructMaterial(MaterialIndex).Poisson = str2num(strn{2});
45             pattern = MaterialPattern;
46         end;
47     end;
48 end;
49     tline = fgetl(fid);
50 end;

```

D.3.20 RemoveElem.m

Anropas av GreedyPickLarge för att plocka bort ett element från en vektor.

```

1 function vR = RemoveElem(v,n)
2 % Removes element number n from input vector/matrix v and returns the
3 % remaining elements in the column vector vR
4
5 v=v(:); % Make column vector
6 vLen=length(v);
7
8 if( (1<=n) && (n<=vLen) )
9     vR=v([1:n-1 n+1:vLen]);
10 else
11     error('Input arguments n not in the right range')
12 end
13
14
15
16 %% Test code
17 % v=[ 1 2 3 4 5]
18 % v1=RemoveElem(v,1)
19 % v2=RemoveElem(v,2)
20 % v3=RemoveElem(v,3)
21 % v4=RemoveElem(v,4)
22 % v5=RemoveElem(v,5)

```

D.3.21 RemoveRowCol.m

Anropas av GreedyPickLarge för att plocka bort en given rad och kolumn från en matris.

```

1 function Ar = RemoveRowCol(A,r,c)
2 % Removes row number r and column number c from the matrix A
3 [nofR,nofC]=size(A);
4 if( (1<=r) && (r<=nofR) && (1<=c) && (c<=nofC) )
5     Ar=A([1:r-1 r+1:nofR],[1:c-1 c+1:nofC]);
6 else
7     error('Input arguments r and c not in the right range')
8 end
9
10
11
12 %% Test code
13 % A=[ 11 12 13 14
14 %     21 22 23 24

```

```

15 %      31 32 33 34
16 %      41 42 43 44]
17 % A11=RemoveRowCol(A,1,1)
18 % A12=RemoveRowCol(A,1,2)
19 % A13=RemoveRowCol(A,1,3)
20 % A14=RemoveRowCol(A,1,4)
21 % A21=RemoveRowCol(A,2,1)
22 % A22=RemoveRowCol(A,2,2)
23 % A23=RemoveRowCol(A,2,3)
24 % A24=RemoveRowCol(A,2,4)
25 % A31=RemoveRowCol(A,3,1)
26 % A32=RemoveRowCol(A,3,2)
27 % A33=RemoveRowCol(A,3,3)
28 % A34=RemoveRowCol(A,3,4)
29 % A41=RemoveRowCol(A,4,1)
30 % A42=RemoveRowCol(A,4,2)
31 % A43=RemoveRowCol(A,4,3)
32 % A44=RemoveRowCol(A,4,4)

```

D.3.22 SameSign.m

Anropas av ObjFun.m för normera och välja samam tecken på förutspådda och uppmätta vibrationsmoder.

```

1 function [phiOMA SignFactor]=SameSign(phiFEM,phiOMA)
2 M = size(phiOMA,2);
3 MSF = zeros(M,1);
4 for i=1:M
5     MSF(i) = (phiFEM(:,i).'*phiOMA(:,i))/(phiOMA(:,i).'*phiOMA(:,i));
6 end;
7 phiOMA = phiOMA*diag(MSF);
8 SignFactor = MSF;

```

D.3.23 SortRectMeshPts.m

Anropas av InterpolFunctions.m för utifrån koordinater sortera en mängd mätpunkter till ett rektangulärt punktnät.

```

1 function [RectMesh,RectMeshInd,RowsInCoarseMesh,ColsInCoarseMesh] ...
2         = SortRectMeshPts(MeshPts,CoarseMeshInd)
3 % INPUT
4 % MeshPts      = Nx2-matrix with each row containing the x- and
5 %              y-coordinate of one point in the mesh
6 % CoarseMeshInd = vector containing the row indices of the points in the
7 %              mesh that belongs to the coarse mesh.
8 %
9 % OUTPUTS
10 % RectMesh      = the mesh points sorted into a rectangular array
11 %               RectMesh(m,n,d), with smaller m (or n)
12 %               corresponding to smaller y (or x) and with
13 %               d=1 and d=2 giving the x and the y-coordinate,
14 %               respectively.
15 % RectMeshInd   = index set such that
16 %               RectMesh(m,n,d) = MeshPts(RectMeshInd(m,n),d)
17 % RowsInCoarseMesh = vector telling what rows that are used for the
18 %               coarse mesh
19 % ColsInCoarseMesh = vector telling what columns that are used for the
20 %               coarse mesh
21 %
22 %% Reorder the mesh points in increasing x-coordinate order
23 [MeshPtsSortedX,indX]=sort(MeshPts(:,1));
24 MeshPtsSortedX=MeshPts(indX,:);
25 %
26 %% Find the number of rows such that the mesh point positions is a small

```

```

27 % deviation from a rectangular mesh of size NofRows x NofCols:
28 NofPts=length(MeshPts(:,1));
29 PossibleNofRows=divisors(NofPts); % All possible column lengths
30 PossibleNofRows=PossibleNofRows(2:end-1).'; % Look for rectangular mesh

32 % Default if no rectangular mesh is found:
33   RectMeshFound=false;

35 for NofRows = PossibleNofRows;
36   NofCols = NofPts/NofRows;

38   % Reshape before sorting:
39   MeshPtsSortedXY=reshape(MeshPtsSortedX,NofRows,NofCols,2);
40   % Sort each column in increasing y-coordinate order
41   [MeshPtsSortedXY(:, :, 2), indY]=sort(MeshPtsSortedXY(:, :, 2));
42   for cc=1:NofCols
43     MeshPtsSortedXY(:, cc, 1)=MeshPtsSortedXY(indY(:, cc), cc, 1);
44   end
45   % Check if the current value of NofRows gives a separation of rows & cols
46   NotRectMesh = false;
47   for rr=1:NofRows-1
48     % Check if each row is located below next row:
49     if max(MeshPtsSortedXY(rr, :, 2))>=min(MeshPtsSortedXY(rr+1, :, 2))
50       NotRectMesh = true;
51     end
52   end
53   for cc=1:NofCols-1
54     % Check if each column is located to the left of next column:
55     if max(MeshPtsSortedXY(:, cc))>=min(MeshPtsSortedXY(:, cc+1))
56       NotRectMesh = true;
57     end
58   end

60   if ~NotRectMesh
61     RectMeshFound=true;
62     RectMesh=MeshPtsSortedXY;
63     RectMeshInd=reshape(indX,NofRows,NofCols);
64     for cc = 1:NofCols
65       RectMeshInd(:, cc) = RectMeshInd(indY(:, cc), cc);
66     end
67   end
68 end

70 if ~RectMeshFound
71   figure(666)
72   clf
73   for nn=1:length(MeshPts)
74     plot(MeshPts(nn,1),MeshPts(nn,2),'r*')
75     hold on
76   end
77   hold off
78   error(['The input mesh points are not positioned with small ' ...
79         'deviations from a rectangular mesh'])
80 end

82 %% ===== Find rows and columns used for the coarse mesh =====
83 [NofRows,NofCols]=size(RectMeshInd);
84 blah=zeros(NofRows,NofCols);
85 for nn=1:length(CoarseMeshInd(:))
86   ind=find(RectMeshInd==CoarseMeshInd(nn));
87   blah(ind)=1;
88 end
89 % If there are two different nonzero rows or columns then the rank >1:
90 if rank(blah)>1
91   error('not possible to build tent functions for this mesh')
92 end
93 RowsInCoarseMesh = find( sum(blah,2)~=0 );
94 ColsInCoarseMesh = find( sum(blah).'~=0 );

```

D.3.24 SensFEMupdating

Detta är en implementering av "Sensitivity method finite element updating", som beskriven i [MLF11]. Den används ej för närvarande (och har ej testkörts med senaste versionen av övrig källkod i detta appendix), men kan, som beskrivs i Avsnitt 4.1.1 användas som ett alternativ till optimeringsmetoden "Newton trust region" om denna för någon konstruktion ger konvergensproblem på grund av problem att räkna ut bra uppskattningar av andraderivator av målfunktionen. Ungefär som i Avsnitt D.2 sätter vi

$$\mathbf{z}^{\text{FEM}}(\mathbf{a}) \stackrel{\text{def}}{=} \begin{bmatrix} (2\pi\nu_1^{\text{FEM}}(\mathbf{a}))^2 \\ \vdots \\ (2\pi\nu_M^{\text{FEM}}(\mathbf{a}))^2 \\ \frac{\phi_{1,1,1}^{\text{FEM}}(\mathbf{a})}{\phi_{1,1,n_{\text{ref}}}^{\text{FEM}}(\mathbf{a})} \\ \vdots \\ \frac{\phi_{D,M,N}^{\text{FEM}}(\mathbf{a})}{\phi_{D,M,n_{\text{ref}}}^{\text{FEM}}(\mathbf{a})} \end{bmatrix} \quad \text{and} \quad \mathbf{z}^{\text{mea}} \stackrel{\text{def}}{=} \begin{bmatrix} (2\pi\nu_1^{\text{mea}})^2 \\ \vdots \\ (2\pi\nu_M^{\text{mea}})^2 \\ \frac{\phi_{1,1,1}^{\text{mea}}}{\phi_{1,1,n_{\text{ref}}}^{\text{mea}}} \\ \vdots \\ \frac{\phi_{D,M,N}^{\text{mea}}}{\phi_{D,M,n_{\text{ref}}}^{\text{mea}}} \end{bmatrix}$$

med någon omordning $\rho(d, m, n)$ av index (d, m, n) till heltalen $1, 2, \dots, DMN$. Algoritmen är iterativ, och i iteration nummer i betraktar vi felet

$$\begin{aligned} \varepsilon_{\mathbf{z}^{\text{FEM}}(\mathbf{a})} &\stackrel{\text{def}}{=} \mathbf{z}^{\text{mea}} - \mathbf{z}^{\text{FEM}}(\mathbf{a}) = \mathbf{z}^{\text{mea}} - \mathbf{z}^{\text{FEM}}(\mathbf{a}_i) + \mathbf{z}^{\text{FEM}}(\mathbf{a}_i) - \mathbf{z}^{\text{FEM}}(\mathbf{a}) \\ &\stackrel{\text{def}}{=} \mathbf{r}_i + \mathbf{z}^{\text{FEM}}(\mathbf{a}_i) - \mathbf{z}^{\text{FEM}}(\mathbf{a}) \approx \mathbf{r}_i - G_i(\mathbf{a} - \mathbf{a}_i) \\ &\stackrel{\text{def}}{=} \mathbf{r}_i - G_i \Delta \mathbf{a}_i, \quad (G_i)_{\rho,e} \stackrel{\text{def}}{=} \frac{\partial(\mathbf{z}^{\text{FEM}}(\mathbf{a}))_{\rho}}{\partial a_e}. \end{aligned}$$

Vi vill minimera $J(\mathbf{a}) \stackrel{\text{def}}{=} \varepsilon_{\mathbf{z}^{\text{FEM}}(\mathbf{a})}^{\text{T}} W_{\varepsilon} \varepsilon_{\mathbf{z}^{\text{FEM}}(\mathbf{a})}$, där det föreslås i [MLF11] att välja vikter

$$W_{\varepsilon} = [\text{diag}(\mathbf{z}^{\text{mea}})]^{-2},$$

där `diag` konstruerar en diagonalmatrix av ev vektor, precis som MATLAB-kommandot med samma namn. Huvudalgoritmen i [MLF11] för att minimera $J(\mathbf{a})$ gör först en en minstakvadratlösning av $\mathbf{r}_i - G_i \Delta \mathbf{a}_i = \mathbf{0}$ och sätter sedan $\mathbf{a}_{i+1} = \mathbf{a}_i + \Delta \mathbf{a}_i$. Närmare bestämt blir detta som följer:

$$\begin{aligned} G_i \Delta \mathbf{a}_i &= \mathbf{r}_i \\ G_i^{\text{T}} W_{\varepsilon} G_i \Delta \mathbf{a}_i &= G_i^{\text{T}} W_{\varepsilon} \mathbf{r}_i \quad (\text{antag att } G_i^{\text{T}} W_{\varepsilon} G_i \text{ är inverterbar}) \\ \Delta \mathbf{a}_i &= (G_i^{\text{T}} W_{\varepsilon} G_i)^{-1} G_i^{\text{T}} W_{\varepsilon} \mathbf{r}_i \quad (= (W_{\varepsilon}^{1/2} G_i) \setminus W_{\varepsilon}^{1/2} \mathbf{r}_i \text{ i MATLAB-notation}). \end{aligned}$$

För att räkna ut derivatorna i G_i , så räknas derivatorna $\frac{\partial \phi_{d,m,n}^{\text{FEM}}}{\partial a_e}$ och $\frac{\partial (2\pi\nu_m^{\text{mea}})^2}{\partial a_e}$ ut med kommandot `FoxKapoor`, och kombineras (som i [TMDR02, TDR03, RTDR10]) med sambandet

$$\frac{\partial \frac{\phi_{d,m,n}^{\text{FEM}}(\mathbf{a})}{\phi_{d,m,n_{\text{ref}}}^{\text{FEM}}(\mathbf{a})}}{\partial a_e} = \frac{\frac{\partial \phi_{d,m,n}^{\text{FEM}}}{\partial a_e} \phi_{d,m,n_{\text{ref}}}^{\text{FEM}} - \phi_{d,m,n}^{\text{FEM}} \frac{\partial \phi_{d,m,n_{\text{ref}}}^{\text{FEM}}}{\partial a_e}}{\phi_{d,m,n_{\text{ref}}}^{\text{FEM}}{}^2}, \quad m = 1, \dots, M, \quad n = 1, \dots, N.$$

För illa konditionerade system utvidgades i [MLF11] algoritmen ovan genom att undersöka det regulariserade problemet att söka ett minimum för

$$J(\mathbf{a}) \stackrel{\text{def}}{=} \varepsilon_{\mathbf{z}^{\text{FEM}}(\mathbf{a})}^{\text{T}} W_{\varepsilon} \varepsilon_{\mathbf{z}^{\text{FEM}}(\mathbf{a})} + \lambda^2 \Delta \mathbf{a}_i^{\text{T}} W_{\mathbf{a}} \Delta \mathbf{a}_i,$$

with the suggestion to choose

$$W_{\mathbf{a}} \stackrel{\text{def}}{=} \frac{\text{mean}(\text{diag}(\Gamma))}{\text{mean}(\text{diag}(\Gamma^{-1}))} \Gamma^{-1}, \quad \Gamma \stackrel{\text{def}}{=} G_i^T W_{\varepsilon} G_i.$$

I varje iterativt steg av algoritmen ges då $\Delta \mathbf{a}_i$ av formeln

$$\Delta \mathbf{a}_i = (G_i^T W_{\varepsilon} G_i + \lambda^2 W_{\mathbf{a}})^{-1} G_i^T W_{\varepsilon} \mathbf{r}_i.$$

I [MLF11] så föreslås att välja regulariseringsparametern λ^2 mellan 0 (ingen regularisering) och 0.3 (för många okänsliga parametrar och mycket illa konditionerad matris $G_i^T W_{\varepsilon} G_i$, eller $\lambda^2 = 0.05$ för ett mindre illa konditionerat fall.

```

1 function a = SensFEMupdating(lambda,a0,nRef,nuOMA,phiOMA, ...
2     NN,structAbaqusOriginalInput,abaqus_input_file,...
3     structBeam,masterNodes,masterModeNumbers,...
4     masterDOFs,RunWithAbaqus,RunWithModeReduction)
5 % Sensitivity method finite element updating as described in [1]
6 %
7 % USAGE:
8 %
9 % INPUT
10 % lambda = regularisation parameter. Suggested in [1] to choose lambda^2
11 %     between 0 (no regularisation) and 0.3 (for many insensitive
12 %     parameters and strongly ill-conditioned matrix
13 %     Gi'*Wepsilon*Gi, or lambda^2=0.05 if the ill-conditioning
14 %     is not too strong.
15 % a0     = a column vector containing the initial guess of the values
16 %     of the parameters a.
17 % nRef   = used by the function ModeShapeResid for mode shape
18 %     normalization in the function ModeShapeResid if nRef is
19 %     nonzero. Otherwise ModeShapeResid chooses a suitable nRef.
20 % nuOMA  = length m vector containing the measured mode frequencies
21 % phiOMA = NxMxD array containing the measured mode shapes as column
22 %     vectors
23 % NN     = Input parameter for ComputeNewModes.
24 %     Described there.
25 % structAbaqusOriginalInput = Input parameter for ComputeNewModes.
26 %     Described there.
27 % abaqus_input_file         = Input parameter for ComputeNewModes.
28 %     Described there.
29 % masterNodes               = Input parameter for ComputeNewModes.
30 %     Described there.
31 % masterModeNumbers         = Input parameter for ComputeNewModes.
32 %     Described there.
33 % masterDOFs                = Input parameter for ComputeNewModes.
34 %     Described there.
35 %
36 % OUTPUT
37 %
38 % [1] John E. Mottershead, Michael Link and Michael I. Friswell,
39 %     The sensitivity method in finite element model updating: A tutorial.
40 %     Mechanical Systems and Signal Processing 25, 2011, 2275–2296.
41 %
42 %
43 global phiFEM % NxMxD array with node points of the mth mode in the columns
44 global nuFEM  % Length M column vector with the frequency of each mode
45 global K_0e   % NxNxE array of NxN element stiffness matrices
46 %
47 % Pick one:
48 %ShapeResType='diff';
49 %ShapeResType='l_2'; % Shouldn't this be chosen globally in FemUpdating.m?????????
50 MaxNOFiter = 100;
51 DeltaaiThres = 100*eps; % Threshold for ending iterations
52 [N,M,D] = size(phiFEM);
53 R = M*(D*N+1); % Number of rows in Gi, z and r
54 E=length(K_0e(1,1,:));
55 Gi=zeros(R,E);

```



```

56 Deltaai=Inf;
57 IterNr=1;
58 a=a0;
59 while ( (Deltaai >= DeltaaiThres) && ( IterNr<= MaxNOFiter ) )

61   r_f = (nuFEM.^2 - nuOMA.^2); % ./nuOMA.^2; <— Now in W
62   [r_s,nRef,phiRelOMA,phiRelFEM] ...
63       = ModeShapeResid(phiFEM,phiOMA,ShapeResType,nRef);
64   % [r,w]=ResidAndWeights(r_f,r_s,WeightingStrategy);

66   r=[r_f(:) ; r_s(:)]; % Tre residual

70   zFEM = [ (2*pi*nuFEM(:)).^2
71           phiRelFEM(:) ];
72   zOMA = [ (2*pi*nuOMA(:)).^2
73           phiRelOMA(:) ];
74   WepsilonDiag=zOMA;
75   ind = find(abs(zOMA)<100*eps);
76   WepsilonDiag(ind)=1; % No normalization in node points (to avoid div with 0)
77   if strcmp(ShapeResType,'l_2')
78       WepsilonDiag(M+1:end)=1;
79   end
80   Wepsilon = diag(WepsilonDiag.^(-2)); % Weighting matrix suggested in [1, p. 2279]
81   sqrtWepsilon=Wepsilon.^(1/2);

83   %% ===== Compute Gi matrix elements =====
84   % Compute the Fox-Kapoor formulas (12) and (13) in "Damage assessment..."
85   [d_omegam2_d_ae,d_phim_d_ae] = FoxKapoor(phiFEM,nuFEM,K_0e);

87   % Since the each mode shapes in z is normalized so that element nr nRef
88   % equals 1, we need to compute the derivative of a quotient:
89   dz_rho_da_e = zeros(N,M,D,E); % Derivative of the quotient
90   for dd=1:D
91       phi_mnRefDiag=diag(phiFEM(nRef,:,dd)); % The same factor for all e
92       phi_mnRefDiagPowMin2=diag(phiFEM(nRef,:,dd).^(-2)); % and the same denominator
93       for ee=1:E
94           if strcmp(ShapeResType,'diff')
95               dz_rho_da_e(:,:,dd,ee) = ( d_phim_d_ae(:,:,dd,ee)*phi_mnRefDiag ...
96               - phiFEM(:,:,dd)*diag(d_phim_d_ae(nRef,:,dd,ee)) ...
97               ) ...
98               *phi_mnRefDiagPowMin2;
99           elseif strcmp(ShapeResType,'l_2')
100               for mm=1:M
101                   normPHIfem = sqrt( phiFEM(:,mm,dd).'*phiFEM(:,mm,dd) );
102                   dz_rho_da_e(:,mm,dd,ee) = d_phim_d_ae(:,mm,dd,ee)./normPHIfem ...
103                   - d_phim_d_ae(:,mm,dd,ee).'*phiFEM(:,mm,dd) ...
104                   *phiFEM(:,mm,dd)./(normPHIfem^3);
105               end
106           else
107               error('Not yet implemented. ');
108           end
109       end
110   end
111   Gi = [ d_omegam2_d_ae % with omegam2 = (2*pi*nu_m).^2. MxE-matrix
112         reshape(dz_rho_da_e,N*M*D,E) ];
113   % Ji=Jacobian(phiFEM,nuFEM,'diff',nRef,phiOMA,nuOMA,K_0e)

115   if ( lambda == 0 )
116       %% ===== Least square solution =====
117       Deltaai = (sqrtWepsilon*Gi)\(sqrtWepsilon*r)
118   else
119       % Gammas = diag(Gi.*Wepsilon*Gi); % Longer name since Gamma is occupied
120       Gammas = (Gi.*Wepsilon*Gi); % Longer name since Gamma is occupied
121       invGammas=inv(Gammas);
122       Wa = mean(diag(Gammas)) ...
123           / mean(diag(invGammas)) ...
124           *invGammas; % Guessing how to interpret the typo in [1]...???
125       Deltaai = inv(Gi.*Wepsilon*Gi +lambda^2*Wa)*Gi.*Wepsilon*r;
126   end
127   a=a+Deltaai;
128   ComputeNewModes(a,[],[],NN,structAbaqusOriginalInput,abaqus_input_file,...

```

```

129         structBeam , masterNodes , masterModeNumbers , masterDOFs , ...
130         RunWithAbaqus , RunWithModeReduction);
131     IterNr=IterNr+1
132 end

134 if (IterNr == MaxNOFiter )
135     error(['The maximum number of iterations (' num2str(MaxNOFiter) ...
136           ') was not enough for convergence'])
137 end

```

D.3.25 UpdateAbaqusInpFile.m

Anropas av ComputeNewModes.m och InitAbaqusModelGroupsOLD.m för att spara nya värden på uppdateringsparametrar till en av Abaqus indatfiler.

```

1 function UpdateAbaqusInpFile(AbaqusInpFileName , AbaqusModelPartFileName , ...
2                             AbaqusHistPartFileName , StructMaterial)

4 copyfile(AbaqusModelPartFileName , AbaqusInpFileName);
5 MaterialSection = BuildAbaqusMaterialSection(StructMaterial);
6 fid = fopen(AbaqusInpFileName , 'at+'); % open for reading and writing
7 fprintf(fid , '%s ' , MaterialSection);
8 fclose(fid);

10 fid = fopen(AbaqusInpFileName , 'a'); % open for reading and writing
11 fida = fopen(AbaqusHistPartFileName , 'r');

13 tline = fgets(fida);

15 while ischar(tline)
16     fprintf(fid , '%s ' , tline);
17     tline = fgets(fida);
18 end;

20 % CHANGE to system('type f1 f2 > f3')
21 fclose(fid);
22 fclose(fida);

24 function str = BuildAbaqusMaterialSection(StructMaterial)

26 materials = '** MATERIALS';
27 stars = '** ';
28 material_name = '*Material , name=';
29 density = '*Density';
30 elastic = '*Elastic';

32 n = length(StructMaterial);

34 str = sprintf('%s\n%s\n%s\n' , stars , materials , stars);

36 for index=1:n
37     str = sprintf('%s\n' , [str material_name StructMaterial(index).Name]);
38     str = sprintf('%s\n' , [str density]);
39     str = sprintf('%s%f\n' , str , StructMaterial(index).Density);
40     str = sprintf('%s\n' , [str elastic]);
41     str = sprintf('%s %g , %f\n' , str , StructMaterial(index).Elastic , ...
42                 StructMaterial(index).Poisson);
43 end

45 str = sprintf('%s\n' , [str stars]);

```

D.3.26 Weights.m

Anropas av InitAbaqusModelGroupsOLD.m för att sätta värde på OptConst.Weights.

```

1 function w=Weights(r_fLen,r_sLen,WeightingStrategy)
2 % USAGE: [r,w]=ResidAndWeights(r_f,r_s,WeightingStrategy)
3 %
4 % Combines the frequency residuals r_f and the shape residuals r_s to a
5 % column vector r and computes corresponding weights for weighted least
6 % squares measures of the size of r.
7 %
8 % INPUT
9 % r_f
10 % r_s
11 % WeightingStrategy
12 %
13 % OUTPUT
14 % r = column vector r=[r_f(:) ; r_s(:)]
15 % w = weights (column vector of the same length as r)
16 if ( nargin<3 )
17     WeightingStrategy = 'none'
18 end
19
20 %r_f = r_f(:); % Make column vector
21 %r_s = r_s(:); % Make column vector
22 %r_fLen = length(r_f);
23 %r_sLen = length(r_s);
24
25 if strcmp(WeightingStrategy,'none')
26     w = [ ones(r_fLen,1)
27           ones(r_sLen,1) ];
28 elseif strcmp(WeightingStrategy,'test')
29     %w = [ ones(r_fLen,1)
30           ones(r_sLen,1) ];
31
32     w = [ zeros(r_fLen,1)
33           zeros(r_sLen,1) ];
34
35     w(1:7) = 1;
36     dofsPerMode=r_sLen/r_fLen;
37     % mode no.3 : subtract [2,3]
38     w(end-(r_fLen)*dofsPerMode+1:end-(r_fLen-1)*dofsPerMode)=1; % 1
39     w(end-(r_fLen-1)*dofsPerMode+1:end-(r_fLen-2)*dofsPerMode)=1; % 2
40     w(end-(r_fLen-2)*dofsPerMode+1:end-(r_fLen-3)*dofsPerMode)=1; % 3
41     w(end-(r_fLen-3)*dofsPerMode+1:end-(r_fLen-4)*dofsPerMode)=1; % 4
42     w(end-(r_fLen-4)*dofsPerMode+1:end-(r_fLen-5)*dofsPerMode)=1; % 5
43     w(end-(r_fLen-5)*dofsPerMode+1:end-(r_fLen-6)*dofsPerMode)=1; % 6
44     w(end-(r_fLen-6)*dofsPerMode+1:end-(r_fLen-7)*dofsPerMode)=1; % 7
45 elseif strcmp(WeightingStrategy,'averaging')
46     w = [ ones(r_fLen,1)./r_fLen
47           ones(r_sLen,1)./r_sLen ];
48 elseif strcmp(WeightingStrategy,'mod averaging')
49     % Modified averaging, with the weight for mode shapes mad 1000 times
50     % smaller which for one testing setup for the plate was roughly what's
51     % needed for putting almost the same average weight in the mode shapes as
52     % the weighting of each frequency in the objective function.
53     % (If you always want the same weight on every frequency and every mode
54     % shape for any experimental setup, consider no weighting and l2
55     % norlalizatio instead).
56     w = [ ones(r_fLen,1)./r_fLen
57           ones(r_sLen,1)./r_sLen./100];
58     warning('Temporary change to dividing')
59 elseif strcmp(WeightingStrategy,'FreqOnly')
60 % elseif strcmp(WeightingStrategy,'norm1')
61 % w = [ ones(r_fLen,1)./norm(r_f)^2
62 %       ones(r_sLen,1)./norm(r_s)^2 ];
63 w = [ ones(r_fLen,1)
64       zeros(r_sLen,1) ];
65 else
66     error('Incorrect input WeightingStrategy')
67 end

```

D.3.27 zCoordsForPlane.m

Anropas av InterpolFunctions.m.

```
1 function z = zForPlane(PointsInPlane,x,y)
2 % For a specified plane P, this function computes the z-coordinates for
3 % points with x- and y-coordinates
4 %
5 % INPUTS
6 % PointsInPlane = 3x3 matrix with column vectors giving the location for
7 %                 three points in the plane P.
8 % x,y            = numbers or arrays of the same size.
9 %
10 % OUTPUTS
11 % z = number or array the same size as x and y, with z(m,n,...) being the
12 %     z-coordinate for the point on the plane with x- and y-coordinates
13 %     x(m,n,...) and y(m,n,...), respectively.

15 %% === Compute normal vector for the plane =====
16 a=PointsInPlane(:,1);
17 b=PointsInPlane(:,2);
18 c=PointsInPlane(:,3);
19 n = cross(b-a,c-a);
20 if n(3)==0
21     error('Plane parallel with z-axis. No uniquely determined z-coordinate.')
22 end

24 %% === Standard formula for points in the plane =====
25 z=-((x-a(1))*n(1) + (y-a(2))*n(2) )./n(3) + a(3);
```

Referenser

- [Bri13] Rune Brincker. *Book manuscript, in preparation*. 2013.
- [BVA01] Rune Brincker, Carlos E. Ventura, and Palle Andersen. Damping estimation by frequency domain decomposition. In *Proceedings of the 21st International Modal Analysis Conference on Structural Dynamics (IMAC)*, pages 698–703, Kissimmee, Fla, USA, February 2001. WWW: http://www.svibs.com/solutions/literature/2001_4.pdf.
- [BVA03] Rune Brincker, Carlos E. Ventura, and Palle Andersen. Why output-only modal testing is a desirable tool for a wide range of practical applications. In *Proceedings of the 21st International Modal Analysis Conference on Structural Dynamics (IMAC)*, pages 1–8, Kissimmee, Fla, USA, February 2003. WWW: ftp://ftp.svibs.com/Download/Literature/Papers/2003/2003_3.pdf.
- [BZA01] Rune Brincker, Lingmi Zhang, and Palle Andersen. Modal identification of output-only systems using frequency domain decomposition. *Smart Mater. Struct.*, 10(3):441–445, June 2001. DOI: 10.1088/0964-1726/10/3/303.
- [CJK06] Roy R. Craig Jr. and Andrew J. Kurdila. *Fundamentals of structural dynamics*. Wiley, Hoboken, NJ, second edition, 2006.
- [CLL09] Shyh-Leh Chen, Jia-Jung Liua, and Hsiu-Chi Laia. Wavelet analysis for identification of damping ratios and natural frequencies. *J. Sound Vib.*, 323(1–2):130–147, June 2009. DOI: <http://10.1016/j.jsv.2009.01.029>.
- [EGOS09] Lennart Elfgren, Niklas Grip, Ulf Ohlsson, and Natalia Sabourova. Signal processing in modal analysis of bridges. Slides and notes from a talk given at the workshop “Assessment of Bridges in China and Sweden”, Luleå University of Technology, December 21st 2009, December 2009. WWW: http://pure.ltu.se/portal/files/5135812/Signal_processing_in_modal_analysis_of_bridges_Slides_and_notes.
- [FGS12] Thomas Forsberg, Niklas Grip, and Natalia Sabourova. Non-iterative calibration for accelerometers with three non-orthogonal axes, reliable measurement setups and simple supplementary equipment. *Meas. Sci. Technol.*, submitted:20 pages, 2012. DOI: 10.1088/0957-0233/24/3/035002, WWW: <http://pure.ltu.se/portal/files/41270184/FGS12Preprint.pdf>.
- [FK68] R. L. Fox and R. M. Kapoor. Rate of change of eigenvalues and eigenvectors. *AIAA J.*, 6(12):2426–2429, December 1968.
- [FM95] M.I. Friswell and J.E. Mottershead. *Finite Element Model Updating in Structural Dynamics*. Kluwer Academic, Dordrecht, 1995.
- [GGN13] Niklas Grip, Carl-Erik Grip, and Leif Nilsson. Wavelet study of dynamic variations in steel and ironmaking rest gases. Potential effect on external use. *Applied Energy*, 112:1032–1040, December 2013. DOI: 10.1016/j.apenergy.2013.05.034, WWW: <http://pure.ltu.se/portal/files/42043630/RevisedPreprint.pdf>.
- [GS11] Niklas Grip and Natalia Sabourova. Simple non-iterative calibration for tri-axial accelerometers. *Meas. Sci. Technol.*, 22(12):13 pages, December 2011.

WWW: <http://pure.ltu.se/portal/files/32843182/GrSa11a.pdf>, DOI: 10.1088/0957-0233/22/12/125103.

- [HZE⁺08] G. He, Z. Zou, O. Enochsson, A. Bennitz, L. Elfgren, A. Kronborg, B. Töyrä, and B. Paulsson. Assessment of railway concrete arch bridge by numerical modelling and measurements. In H.-M. Koh and D. M. Frangopol, editors, *Bridge Maintenance, Safety, Management, Health Monitoring and Informatics*, pages Abstract p 722 + full version on CD pp 3733–3742, Leiden, 2008. CRC Press/Balkema, Taylor & Francis.
- [Jai05] Bijaya Jaishi. *FINITE ELEMENT MODEL UPDATING OF CIVIL ENGINEERING STRUCTURES UNDER OPERATIONAL CONDITIONS*. Doctoral thesis, College of Civil Engineering and Architecture, Fuzhou University, Fujian, China, May 2005. WWW: <http://bridge.csu.edu.cn/english/FileAccup/200505151713.pdf>.
- [Mai11] Maintenance, renewal and improvement of rail transport infrastructure to reduce economic and environmental impacts (mainline), 2011. A European Community 7th Framework Program research project 2011–2014 with 19 partners. Grant agreement 285121, SST.2011.5.2-6. Dr. Björn Paulsson, UIC/Trafikverket acts as Project Coordinator, see <http://www.mainline-project.eu>.
- [Mar10] Tshilidzi Marwala. *Finite Element Model Updating Using Computational Intelligence Techniques: Applications to Structural Dynamics*. Kluwer Academic, 2010.
- [Mat10] The MathWorks Inc., Natick, MA, USA. *Optimization Toolbox™ 5 User's Guide*, September 2010. WWW: <http://???>
- [MLF11] John E. Mottershead, Michael Link, and Michael I. Friswell. The sensitivity method in finite element model updating: A tutorial. *Mech. Sys. Sig. Proc.*, 25(7):2275–2296, October 2011. DOI: 10.1016/j.ymsp.2010.10.012.
- [NW06] Jorge Nocedal and Stephen J. Wright. *Numerical Optimization*. Springer Series in Operations Research. Second edition, 2006. WWW: <http://faculty.bracu.ac.bd/~faruqe/books/numericalanalysis/Numerical%20Optimization%202ed.pdf>.
- [OM96] Peter van Overschee and Bart de Moor. *Subspace Identification for Linear Systems: Theory—Implementation—Applications*. Kluwer, 1996. WWW: http://www.shadmehrlab.org/Courses/learningtheory_files/subspace_book_96.pdf.
- [PDR99] Bart Peeters and Guido De Roeck. Reference-based stochastic subspace identification for output-only modal analysis. *Mech. Sys. Sig. Proc.*, 13(6):855–878, November 1999. DOI: 10.1006/mssp.1999.1249.
- [PDR01] Bart Peeters and Guido De Roeck. Stochastic system identification for operational modal analysis: A review. *J. Dyn. Sys., Meas., Control*, 123(4):659–667, December 2001. DOI: 10.1115/1.1410370.
- [RDR08] Edwin Reynders and Guido De Roeck. Reference-based combined deterministic–stochastic subspace identification for experimental and operational modal analysis. *Mech. Sys. Sig. Proc.*, 22(3):617–637, April 2008. DOI: 10.1016/j.ymsp.2007.09.004.

- [Ric97] Mark H. Richardson. Is it a mode shape, or an operating deflection shape? *Sound & Vibration Magazine 30th Anniversary Issue*, March 1997. WWW: <http://www.systemplus.co.jp/support/data/techpaper/mescope/tech/10.pdf>.
- [RPDR08] Edwin Reynders, Rik Pintelon, and Guido De Roeck. Uncertainty bounds on modal parameters obtained from stochastic subspace identification. *Mech. Sys. Sig. Proc.*, 22(4):948–969, May 2008. DOI: 10.1016/j.ymsp.2007.10.009.
- [RTDR10] Edwin Reynders, Anne Teughels, and Guido De Roeck. Finite element model updating and structural damage identification using OMAX data. *Mech. Sys. Sig. Proc.*, 24(5):1306–1323, July 2010. DOI: 10.1016/j.ymsp.2010.03.014.
- [Sab11] Natalia Sabourova. Dynamic response of the Kirunaviadukten bridge. 24 page appendix of the research report *Gruvvägsbron i Kiruna - Översyn av deformationskapacitet* by Ola Enochsson, Natalia Sabourova, Lennart Elfgren and Mats Emborg, Department of Civil and Environmental Engineering, Division of Structural Engineering, Luleå University of Technology, to appear 2011.
- [SD⁺09] Wei Song, , Shirley Dyke, GunJin Yun, and Thomas Harmon. Improved damage localization and quantification using subset selection. *J Eng Mech-ASCE*, 135(6):548–560, June 2009. DOI: 10.1061/(ASCE)EM.1943-7889.0000005.
- [SGP⁺12] Natalia Sabourova, Niklas Grip, Arto Puurula, Ola Enochsson, Yongming Tu, Ulf Ohlsson, Martin Nilsson, Lennart Elfgren, Anders Carolin, and Håkan Thun. The railway concrete arch bridge over Kalix River — Dynamic properties and load carrying capacity. In Dirch H Bager and Johan Silfwerbrand, editors, *Proceedings of fib Symposium: Concrete Structures for Sustainable Community*, pages 609–612, Royal Institute of Technology (KTH), Stockholm, Sweden, June 2012. WWW: <http://www.fibstockholm2012.se>.
- [SPG09] Hendrik Schlune, Mario Plos, and Kent Gylltoft. Improved bridge evaluation through finite element model updating using static and dynamic measurements. *Eng. Struct.*, 31(7):14771485, July 2009. DOI: 10.1016/j.engstruct.2009.02.011.
- [Sus08] Sustainable bridges – assessment for future traffic demands and longer lives, 2008. A European Integrated Research Project during 2003–2008. Four guidelines and 35 background documents are available at <http://www.sustainablebridges.net>.
- [Sva10] P-O Svahn. Kv. klassföreståndaren, stockholm störande bjälklagsvibrationer — sammanfattande rapport av undersökningar, analyser och åtgärder. Teknisk rapport, Skanska Sverige AB, Teknik och Projekteringsledning — Bro och Anläggning, Göteborg, June 2010. Collection of articles that were originally published in *Experimental Techniques*. WWW: <http://sdasl.uml.edu/umlspace/mspace.html>.
- [TDR03] Anne Teughels and Guido De Roeck. Damage assessment of the Z24 bridge by FE model updating. *Key Eng. Mat.*, 245–246:19–26, July 2003. DOI: 10.4028/www.scientific.net/KEM.245-246.19.
- [TMDR02] Anne Teughels, Johan Maeck, and Guido De Roeck. Damage assessment by FE model updating using damage functions. *Comput Struct*, 80(25):1869–1879, September 2002. DOI: 10.1016/S0045-7949(02)00217-1.